

---

## INVESTIGAȚIILE ARHEOLOGICE LA SITUL SAHARNA MARE / „DEALUL MĂNĂȘTIRII”, RAIONUL REZINA (2017-2019)\*

---

**Ion Niculiță, Aurel Zanoci,  
Mihail Băț, Victor Dulgher**

*Cuvinte-cheie:* regiunea Nistrului Mijlociu, epoca fierului, cultura Holercani-Hansca, cultura Cozia-Saharna, traco-geți, construcții, gropi, înmormântare în așezare.

Situl Saharna Mare / „Dealul Mănăștirii” se află la vest de localitatea Saharna, raionul Rezina, Republica Moldova și este amplasat pe un promontoriu de formă quasi-trapezoidală cu suprafața de cca 15 ha și altitudinea de cca 130 m față de nivelul fluviului Nistru (fig. 1). Laturile de nord, est și sud ale promontoriului sunt marcate de două defileuri cu pantele abrupte, ce se unesc în partea de est într-o singură vale, numită de localnici „Valea Crac” (Niculiță, Zanoci, Băț 2016, 19).

Primele cercetări arheologice pe sit au fost realizate de către G. Smirnov în anii 1946-1947 (Смирнов 1949, 93-96; Смирнов 1953, 19-30), însumând o suprafață de 734 m<sup>2</sup>. În anii 2001-2014 investigațiile arheologice<sup>1</sup> au fost efectuate de către echipa Laboratorului de Cercetări Științifice „Tracologie” de la Universitatea de Stat din Moldova, fiind cercetată o suprafață de 2530 m<sup>2</sup> (fig. 2). Ca urmare s-a stabilit că pe promontoriul Saharna Mare s-au perindat mai multe așezări deschise și fortificații, ce se încadrează în intervalul de timp cuprins între a doua jumătate a sec. XII a. Chr. și sfârșitul sec. III a. Chr. Astfel, în a doua jumătate a sec. XII - sec. XI a. Chr. aici a existat o așezare deschisă, care, conform artefactelor recuperate,



Fig. 1. Amplasarea sitului Saharna Mare / „Dealul Mănăștirii” (foto de M. Chumash).

a fost atribuită culturii Holercani-Hansca. În secolele următoare (X-IX a. Chr.) pe promontoriu a funcționat o fortificație și o întinsă așezare deschisă în imediata apropiere, ce au aparținut purtătorilor culturii Cozia-Saharna. Pentru sec. VIII-VII a. Chr. au fost descoperite dovezi în favoarea existenței aici a unei așezări caracteristice culturii Basarabi-Șoldănești. Iar în sec. VI-III a. Chr. pe promontoriul Saharna Mare a funcționat o fortificație, atribuită comunităților traco-gețice (Niculiță, Zanoci, Băț 2016, 242-248).

Începând cu anul 2017, având la dispoziție harta magnetometrică a sitului (fig. 2), cercetările au avut drept obiectiv investigarea porțiunilor promontoriului, unde au fost identificate anomalii pozitive ce denotă prezența unor structuri arse.

\* Cercetarea a fost realizată în cadrul Proiectului instituțional 15.817.06.20F „Centre rezidențiale și așezări rurale din silvostepa pruto-nistreană în mileniul I a. Chr. - prima jumătate a mileniului I p. Chr.”.

<sup>1</sup> Rezultatele acestor investigații și-au găsit reflectare în mai multe articole științifice (Niculiță, Zanoci, Arnăuț 2007, 27-62; Niculiță, Zanoci, Băț 2011, 226-236; Niculiță, Zanoci, Băț 2013, 351-372; Niculiță et al. 2012, 111-167; Niculiță et al. 2013, 219-292; etc.), precum și în două studii monografice (Niculiță, Zanoci, Arnăuț 2008, 51-150, fig. 40-159; Niculiță, Zanoci, Băț 2016, 19-248).

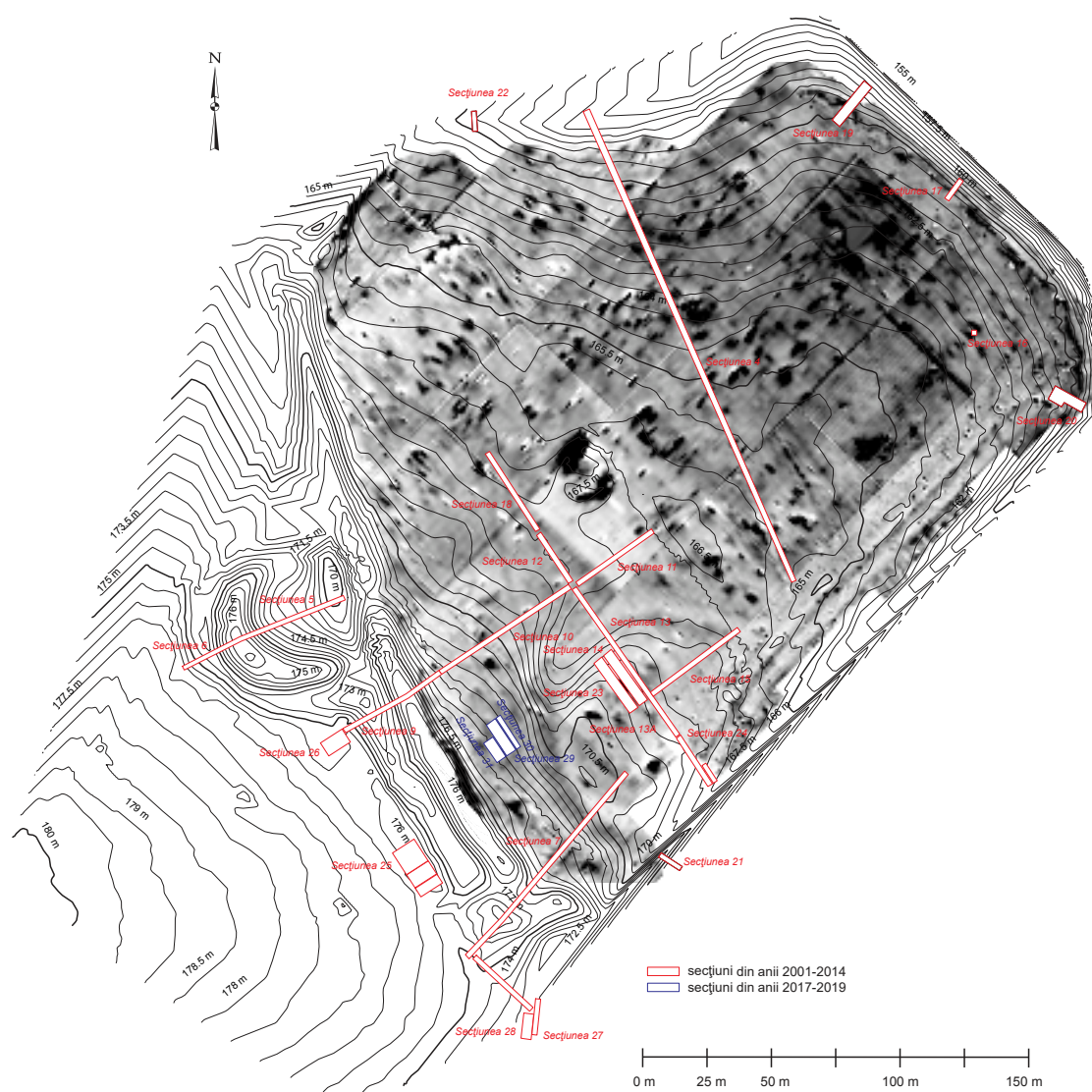


Fig. 2. Planul topografic și harta magnetometrică a sitului Saharna Mare / „Dealul Mănăstirii” cu localizarea secțiunilor din anii 2017-2019.

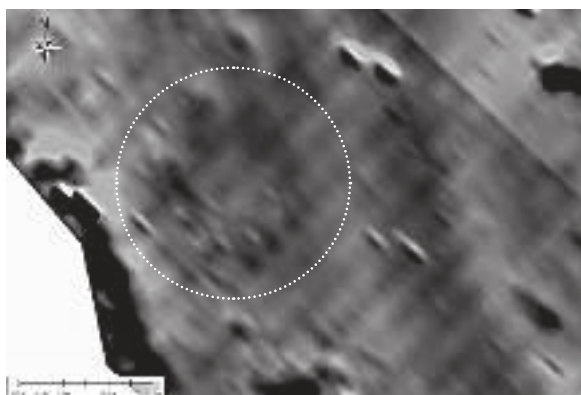


Fig. 3. Extras din harta magnetometrică cu marcarea anomaliei investigate.

Una dintre aceste anomalii a fost atestată în partea de sud-vest a sitului, ea având formă ovală, cu dimensiunile de cca 20×16 m (fig. 3). Cu scopul de a cerceta depunerile arheologice și a verifica datele magnetometrice, în anii 2017-2019 în spațiul anomaliei au fost trasate trei secțiuni (fig. 4) cu o suprafață totală de 256 m<sup>2</sup> (Secțiunea 29/2017, cu dimensiunile 32×4 m; Secțiunea 30/2018 – 32×2 m; Secțiunea 31/2019 – 16×4 m).

Ca urmare a investigațiilor au fost descoperite mai multe structuri arheologice (construcții, gropi menajere etc.), precum și un divers și bogat inventar. Din punct de vedere cultural-cronologic acestea aparțin la trei nivele de locuire: Holer-cani-Hansca, Cozia-Saharna și traco-getic.

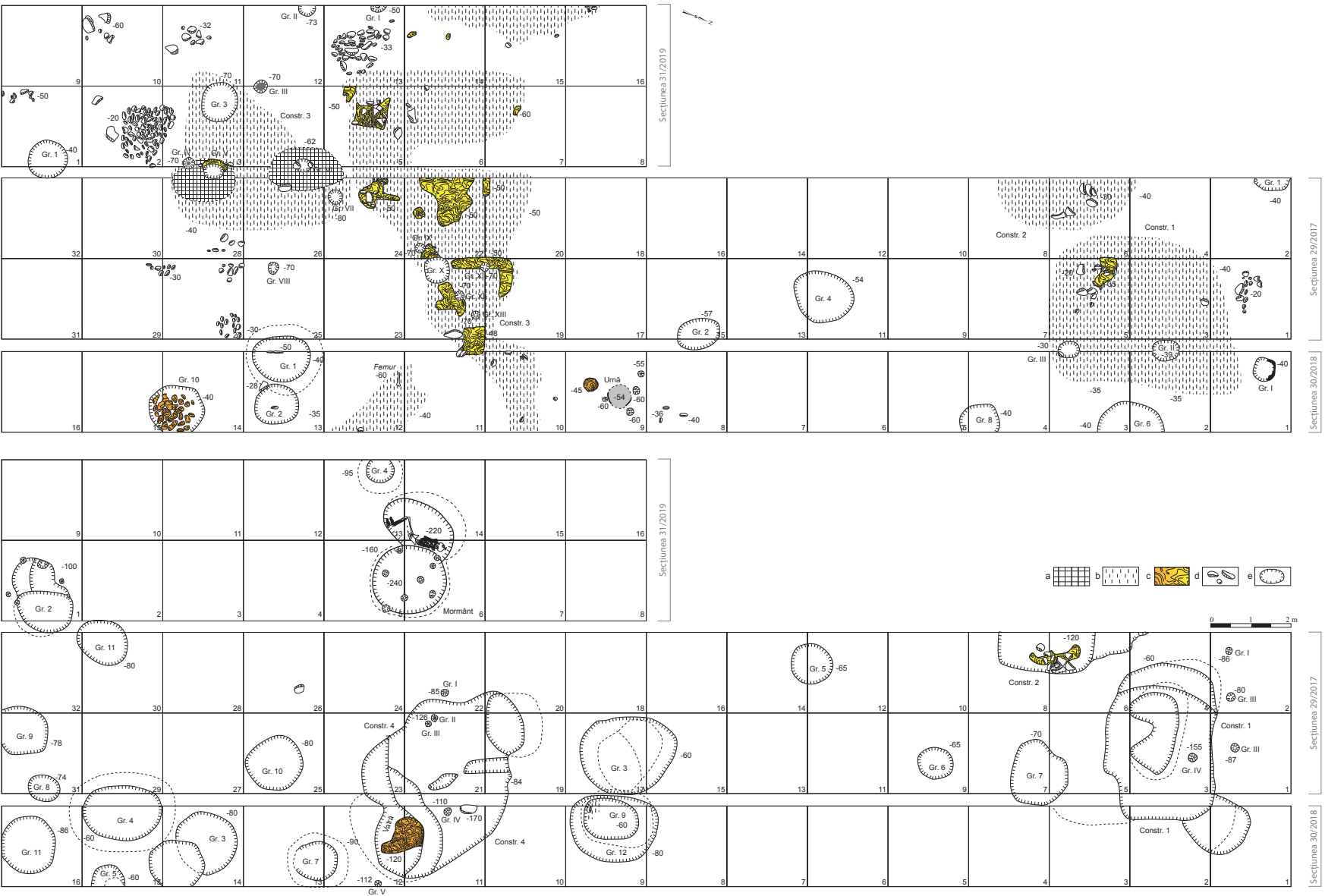


Fig. 4. Planul suprafeței investigate în 2017–2019 (Legenda: a. sol ars; b. sol argilos în amestec cu cenușă și fragmente de lut ars; c. lîpătură de pereți și vetre; d. pietre; e. conturul structurilor arheologice).

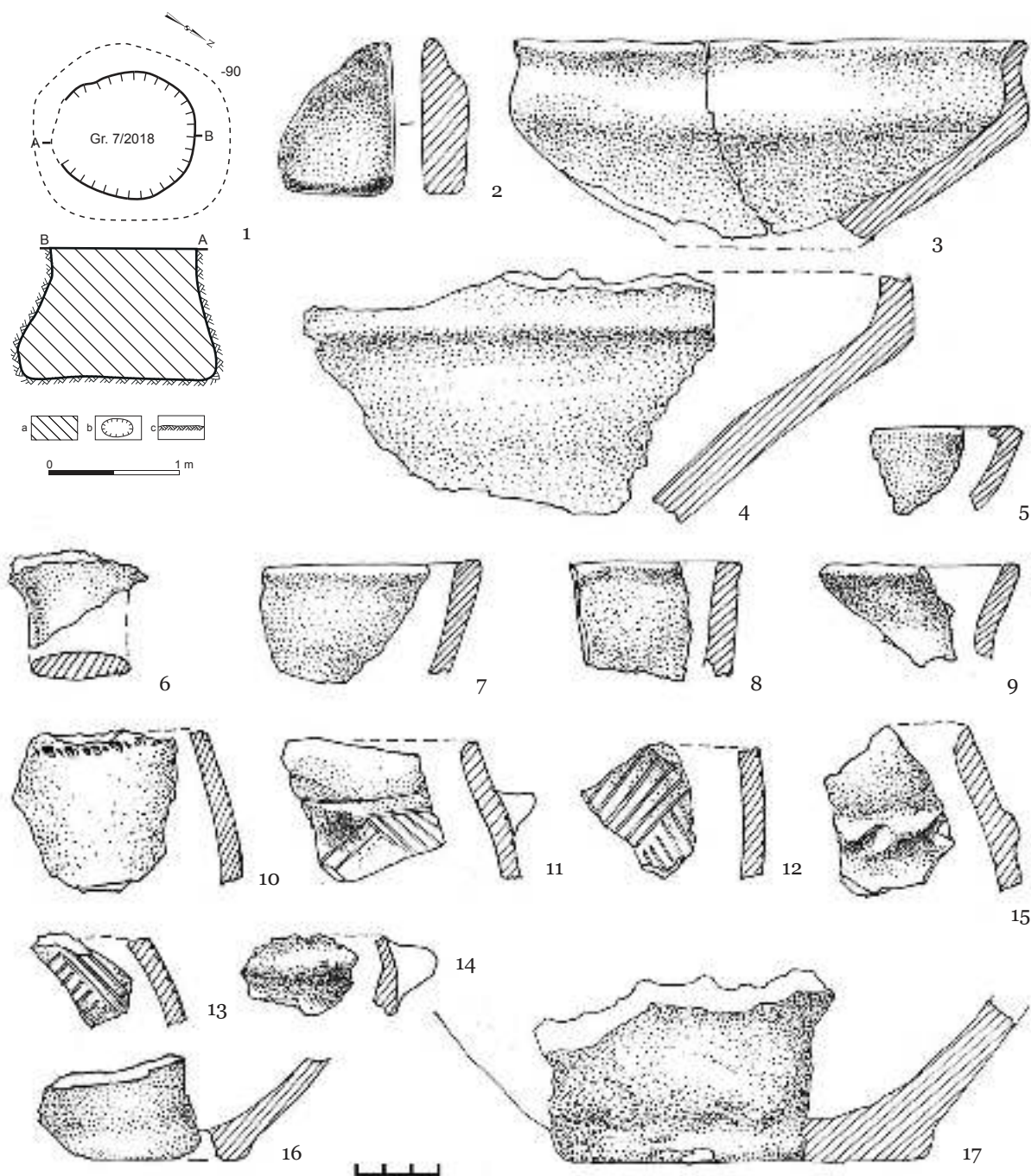


Fig. 5. Groapa 7/2018 (Legenda: a. sol cenușiu; b. conturul gropii; c. strat steril).

Nivelului de locuire **Holercani-Hansca** i-a fost atribuită o groapă (7/2018), atestată în secțiunea 30, la adâncimea de 0,90 m<sup>2</sup> (fig. 4; 5/1). Ea a avut formă de clopot cu diametrul gurii de 1m, cel al fundului de 1,20 m și adâncimea de 0,94 m. Emplectonul gropii consta din sol de culoare cenușie.

<sup>2</sup> Aici și în continuare adâncimile sunt date de la nivelul actual de călcare.

*Inventar:* o cutie (cat. nr. III.6; fig. 5/2), 40 fragmente de ceramică modelată cu mâna (fig. 5/3-17) și 31 fragmente de oase de animale.

Ceramică similară celei din groapă a fost descoperită în siturile hallstattiene timpurii de la Saharna Mică (Niculiță, Zanoci, Arnăuț 2008, fig. 6, 8; Niculiță, Zanoci, Băț 2016, fig. 181, 183), Holercani (Levițki 1994, pl. 3/4) etc., precum și în campaniile anterioare la Saharna Mare / „Dealul Mă-

năstirii” (Niculiță, Zanoci, Băț 2016, fig. 25/10). Plecând de la prezența acestui tip de ceramică, groapa poate fi atribuită nivelului de locuire de tip Holercani-Hansca, atestat anterior la Saharna Mare / „Dealul Mănăstirii” (Niculiță, Zanoci, Băț 2016, 40-45).

\*\*\*

Orizontului **Cozia-Saharna** îi aparțin: o construcție adâncită, 12 gropi, un mormânt, precum și numeroase artefacte, atestate atât în complexele arheologice, cât și în stratul cultural.

*Construcția 4/2017-2019*<sup>3</sup> (fig. 4; 6) a fost atestată la adâncimea de 0,84 m de la nivelul actual de călcare<sup>4</sup>. Ea reprezintă o structură adâncită în sol, ale cărei vestigii se prezintă sub forma unei gropi quasi-ovale în plan cu lungimea de cca 5 m pe direcția est-vest și cca 3,2 m – pe direcția nord-sud. După degajarea umpluturii gropii bordeiului, ce consta din sol cenușiu în amestec cu cenușă, lemn ars și pietre, s-a stabilit că ea se adâncea în solul steril cu 0,8 m.

Pe laturile de est și de vest, dar și în centrul construcției au fost descoperite patru gropi de par cu diametrul de cca 0,2 m și adâncimea de 0,2-0,25 m, în care, probabil, au fost fixați stâlpii de la structura de lemn destinată susținerii acoperișului. Pereții au fost construiți în sistemul paiantă, fapt confirmat de numeroasele fragmente de lipitură de pereți cu amprente de nuiete descoperite în groapa bordeiului (fig. 7/27-29). Podeaua bordeiului a fost amenajată din pământ și lut bătătorit. În colțul estic, sub podeaua construcției, se afla o groapă de provizii (fig. 4/1, 2, 5). Ea avea formă de clopot cu diametrul gurii de 0,9×1,5 m, al fundului – de 1,35 m, iar adâncimea față de nivelul podelei bordeiului – de 0,65 m.

Instalația de foc a fost amenajată în colțul de vest al construcției și prezenta o vatră, realizată din lut ars bătătorit (fig. 4/1, 4). Dimensiunile vetrei erau

de 0,6×1,2 m, având grosimea de 0,15 m. Lângă vatră, în peretele vestic al gropii bordeiului, a fost scobită o nișă (fig. 4/1, 3), în care, probabil, erau păstrate proviziile sau materialul de combustie. Intrarea în bordei se făcea, după toate probabilitățile, prin cele două trepte săpate pe latura de sud-est a construcției (fig. 4/1, 2, 5).

Ca urmare a investigațiilor arheologice în construcție au fost descoperite 106 fragmente ceramice, 115 fragmente de oase de animale, precum și 60 bucăți de lut ars.

Ceramica a fost modelată cu mâna și este reprezentată de fragmente de la cești/cupe, străchini și oale.

Ceștile/cupele (fig. 7/1-16), ornamentate, în special, cu decor incizat, sunt similare recipientelor caracteristice culturii Cozia-Saharna, descoperite anterior în situl Saharna Mare / „Dealul Mănăstirii” (Niculiță, Zanoci, Arnăuț 2008, fig. 61, 79, 80; Niculiță, Zanoci, Băț 2016, fig. 74), precum și la Saharna „Țiglău” (Niculiță, Niciu 2014, fig. 67-73), Glinjeni „La Șanț” (Гольцева, Кашуба 1995, таб. LX), Țahnăuți (Băț 2017, fig. 10, 11) etc.

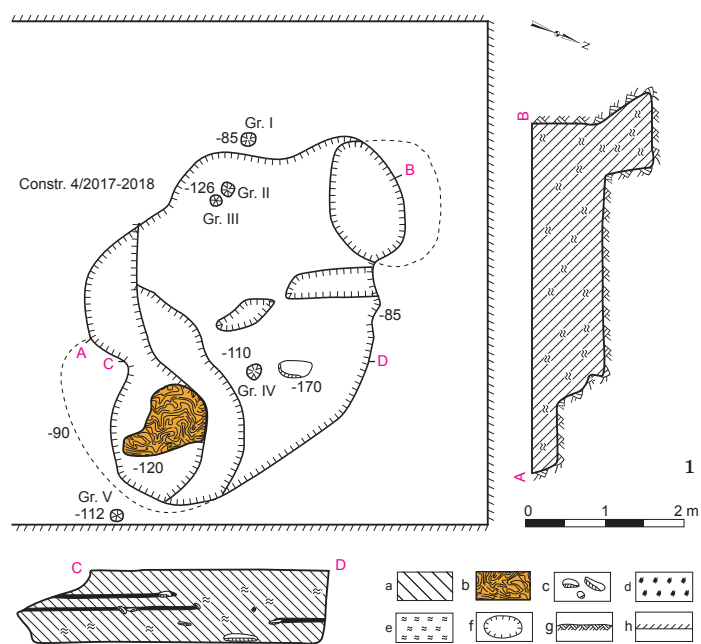
Străchinile (fig. 8), de diferite tipuri, decorate pe buză și/sau pe trunchi cu imprimeuri, sunt identice celor atestate în campaniile precedente de la Saharna Mare / „Dealul Mănăstirii” (Niculiță, Zanoci, Arnăuț 2008, fig. 58, 59, 77, 78; Niculiță, Zanoci, Băț 2016, fig. 67-70). De asemenea, astfel de străchini sunt cunoscute în majoritatea siturilor atribuite culturii Cozia-Saharna (Кашуба 2000, рис. XX; Niculiță, Niciu 2014, fig. 56-64).

Oalele (fig. 7/17-24; 9), unele ornamentate cu decor în relief (fig. 9/7, 8, 10-14), imprimat (fig. 7/17, 19, 20, 23) sau incizat (fig. 7/18, 21, 22), sunt caracteristice sortimentului de recipiente de tip Cozia-Saharna, atestat și anterior la Saharna Mare / „Dealul Mănăstirii” (Niculiță, Zanoci, Arnăuț 2008, fig. 55-57, 81-83; Niculiță, Zanoci, Băț 2016, fig. 71-73, 75/1-6, 12-18), precum și în alte situri din această perioadă (Кашуба 2000, рис. XXXVII; Niculiță, Niciu 2014, fig. 19-43; Băț 2017, fig. 15, 16).

Astfel, ceramica descoperită în embletonul construcției 4/2017-2019 permite încadrarea acesteia în nivelul de locuire Cozia-Saharna al sitului Saharna Mare / „Dealul Mănăstirii”.

<sup>3</sup> În publicațiile anterioare, cu ocazia prezentării rezultatelor preliminare ale cercetărilor de la Saharna Mare / „Dealul Mănăstirii” (Niculiță et al. 2018; Niculiță et al. 2019), această structură arheologică apare drept construcția nr. 5. În urma cercetărilor arheologice din anul 2019, s-a stabilit că construcțiile nr. 3 și nr. 4, cercetate în anii 2017-2018, reprezintă, de fapt, o singură structură. Astfel, în varianta finală, construcțiile nr. 3 și nr. 4 au devenit construcția nr. 3, iar construcția nr. 5 s-a transformat în construcția nr. 4.

<sup>4</sup> Construcția 4/2017-2018 este suprapusă parțial de construcția 3/2017-2019, structurile fiind delimitate de un strat de sol ars, cu grosimea de 0,2 m.



4



2



5



3



6

Fig. 6. Construcția 4/2017-2018; 1 - planul și profilul; 2-6 - vestigiile construcției (Legenda: a. sol cenușiu; b. instalația de foc/vatră; c. pietre; d. fragmente de lemn ars/bârne; e. cenușă; f. conturul gropilor; g. strat steril; h. limita secțiunii).

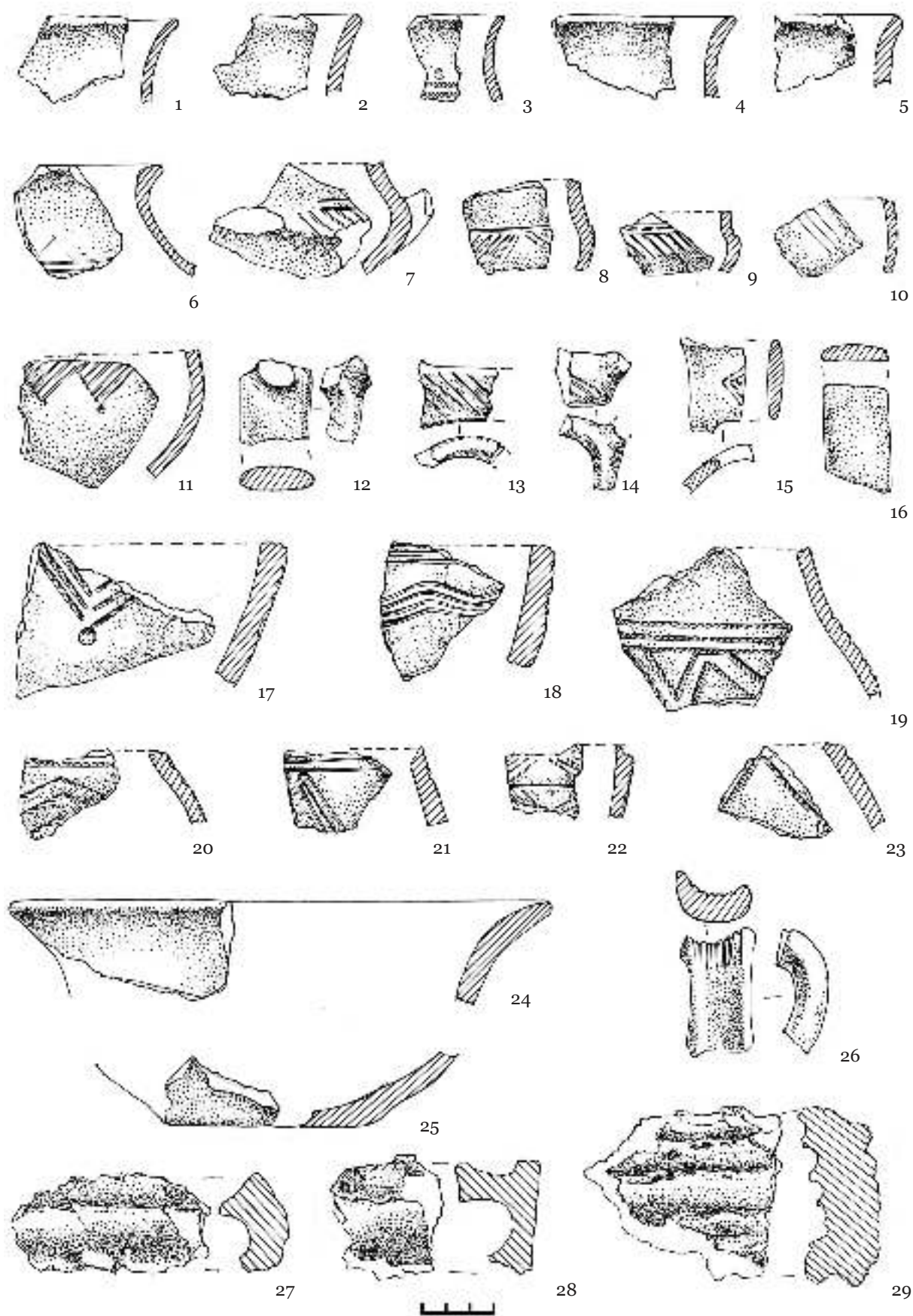


Fig. 7. Construcția 4/2017-2018: 1-26 - fragmente ceramice; 27-29 - fragmente de lut ars cu urme de nuiete.

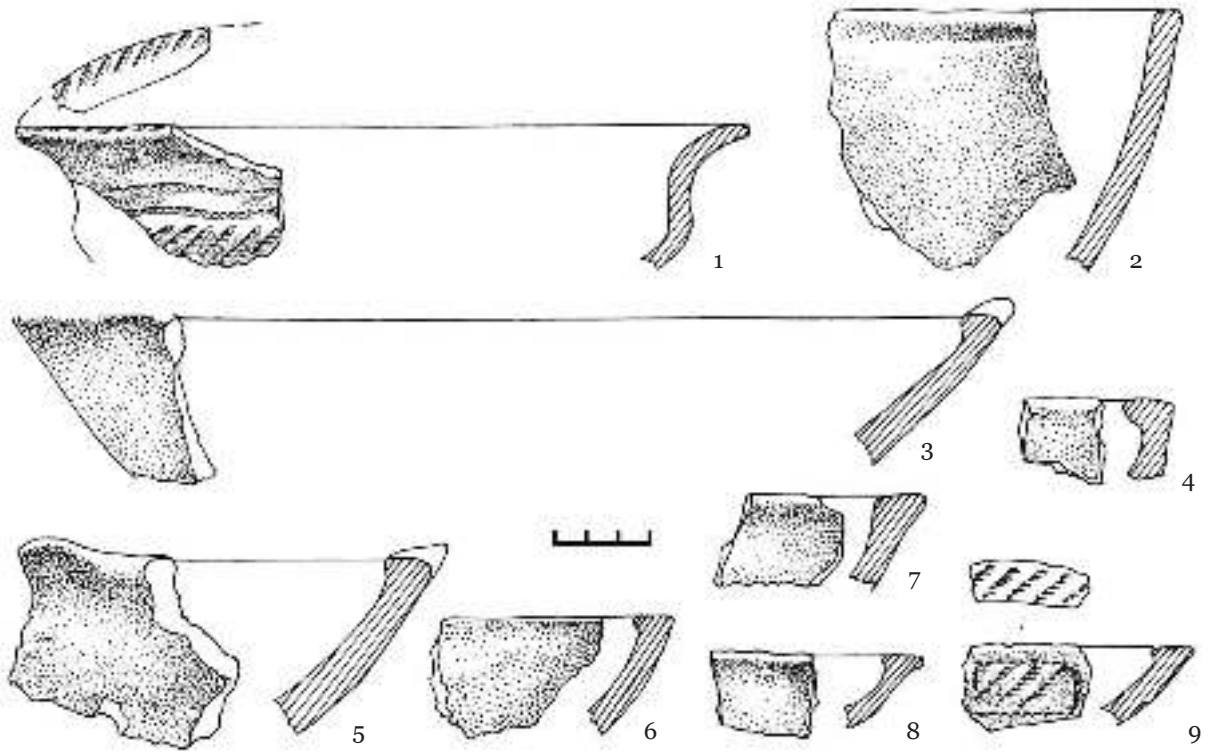


Fig. 8. Construcția 4/2017-2018. Fragmente de străchini.

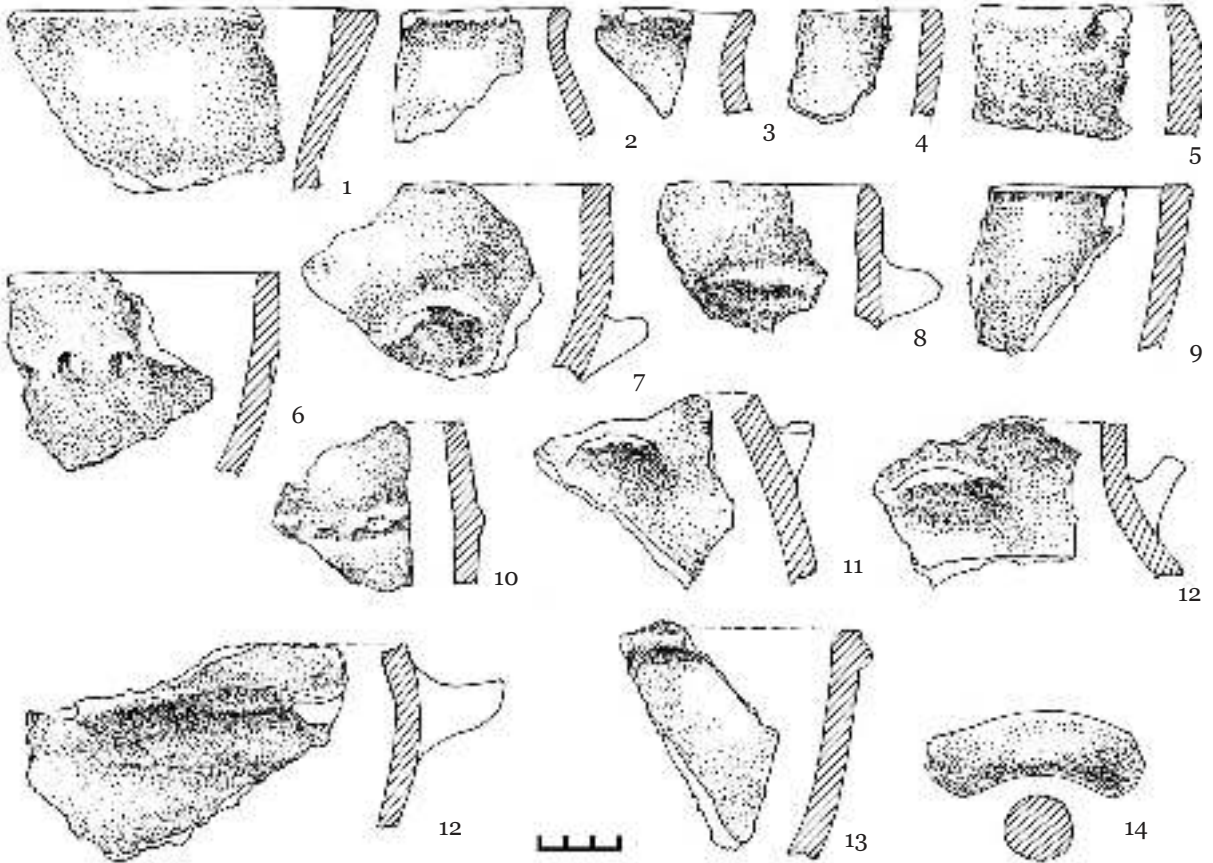


Fig. 9. Construcția 4/2017-2018. Fragmente de oale.



*Groapa 3/2017* a fost descoperită în secțiunea 29, la adâncimea de 0,6 m (fig. 4; 10/1). Ea era de formă rotundă în plan, peretele în partea de sud fiind vertical, în partea de nord – în trepte, iar fundul – albiat. Diametrul gurii era de 2,4 m, al fundului – de 1,1 m, iar adâncimea de 1 m. Emplectonul reprezenta sol argilos în amestec cu cenușă.

*Inventar:* 16 fragmente de ceramică lucrată cu mâna și opt fragmente de oase de animale. Printre fragmentele ceramice se evidențiază cele de la străchini (fig. 10/7, 8), de la vase cu marginea verticală (fig. 10/9, 11) sau evazată (fig. 10/10), de la vase decorate cu brâu sau proeminențe (fig. 10/12-14). Plecând de particularitățile lor și, în primul rând, suprafața lustruită, recipientele pot fi atribuite sortimentului ceramic de tip Cozia-Saharna.

*Groapa 5/2017* a fost atestată în secțiunea 29, la adâncimea de 0,65 m (fig. 4; 10/2). Complexul avea formă cilindrică cu diametrul de 1,0 m și adâncimea de 0,48 m. Umplutura gropii era reprezentată de sol de culoare cenușie.

*Inventar:* 12 fragmente de oase de animale.

*Groapa 6/2017* a fost depistată în secțiunea 29, la adâncimea de 0,65 m (fig. 4; 10/3). Avea formă cilindrică cu diametrul de 0,9 m și adâncimea de 0,25 m. Groapa a fost umplută cu sol de culoare cenușie. Inventarul arheologic lipsește.

*Groapa 8/2017* a fost descoperită în secțiunea 29, la adâncimea de 0,74 m (fig. 4; 10/4). Ea a avut formă cilindrică cu diametrul de 0,8 m și adâncimea de 0,4 m. Groapa a fost umplută cu sol ars.

*Inventar:* o fusaiolă (cat. nr. IV.2; fig. 10/15), șase fragmente de ceramică de tip Cozia-Saharna (fig. 10/16-18) și 11 fragmente mici de oase de animale.

*Groapa 10/2017* a fost surprinsă în secțiunea 29, la adâncimea de 0,8 m (fig. 4; 10/5). Ea a avut formă cilindrică cu diametrul de 1,5 m și adâncimea de 0,8 m. Emplectonul consta din sol castaniu.

*Inventar:* trei fragmente de la vase de tip Cozia-Saharna (fig. 10/19-21).

*Groapa 11/2017* a fost descoperită în secțiunea 29, la adâncimea de 0,9 m (fig. 4; 10/6). Groapa a avut formă cilindrică cu diametrul de 1,0×1,2 m și adâncimea de 0,35 m. Emplectonul reprezintă sol ars.

*Inventar:* patru fragmente de ceramică de tip Cozia-Saharna (fig. 10/22-24).

*Groapa 3/2018* a fost atestată în secțiunea 30, la adâncimea de 0,8 m (fig. 4; 11/1). Ea avea formă de clopot cu diametrul gurii de 1,5 m, al fundului – de 3,6 m și adâncimea de 1,7 m. Umplutura gropii prezintă sol de culoare castanie.

*Inventar:* două cute (cat. nr. III.7-8; fig. 11/4, 6), o străpungătoare din os (cat. nr. II.1; fig. 11/5), o rondelă din piatră de calcar (cat. nr. III.16; fig. 11/3), o aplică (nasture?) din bronz (cat. nr. I.6; fig. 11/2), 30 fragmente de ceramică de tip Cozia-Saharna (fig. 11/7-22) și 39 fragmente de oase de animale.

*Groapa 4/2018* a fost cercetată în secțiunea 30, la adâncimea de 0,6 m (fig. 4; 12/1). Ea avea formă de clopot cu diametrul gurii de 1,2×2,0 m, diametrul fundului de 2,6 și adâncimea de 1,9 m. Emplectonul gropii consta din sol cenușiu în amestec cu fragmente de lut și lemn ars. În profilul stratigrafic se observă o lentilă de lut ars cu grosimea de 0,1-0,2 m.

*Inventar:* 20 fragmente de la vase de tip Cozia-Saharna (fig. 12/4-16) și 213 fragmente de oase de animale.

*Groapa 5/2018* a fost descoperită în secțiunea 30, la adâncimea de 0,6 m (fig. 4; 12/2). Complexul a fost investigat parțial, o parte a lui continuând în afara secțiunii. Însă, conform profilului, s-a stabilit că groapa avea formă circulară în plan cu pereții de sud și vest săpați vertical, iar cei de nord și est – în trepte. Diametrul gropii era de 0,8 m, iar adâncimea de 0,8 m. Emplectonul consta din sol castaniu.

*Inventar:* șase fragmente de la vase de tip Cozia-Saharna (fig. 12/17-21), 68 fragmente de oase de animale.

*Groapa 11/2018* a fost atestată în secțiunea 30, la adâncimea de 0,86 m (fig. 4; 12/3). Ea avea formă cilindrică cu diametrul de 1,4 m și adâncimea de 0,85 m. Emplectonul gropii consta din sol cenușiu în amestec cu fragmente de lemn ars și lut ars.

*Inventar:* 14 fragmente de ceramică de tip Cozia-Saharna (fig. 12/22-26) și 53 fragmente de oase de animale.

*Groapa 12/2018* a fost cercetată în secțiunea 30, la adâncimea de 0,8 m (fig. 4; 13/1). Ea avea formă de clopot cu diametrul gurii de 2,2 m, al

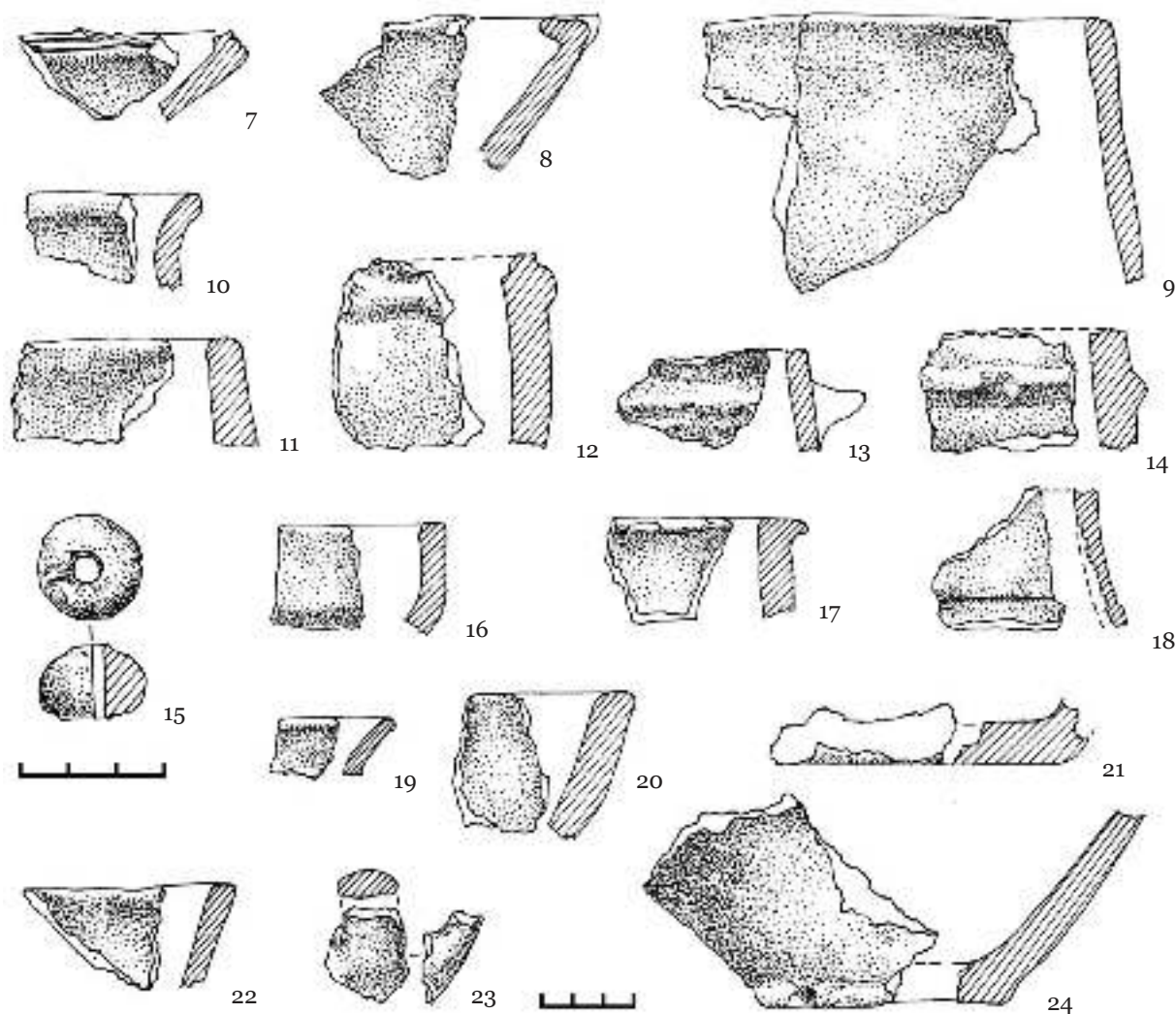
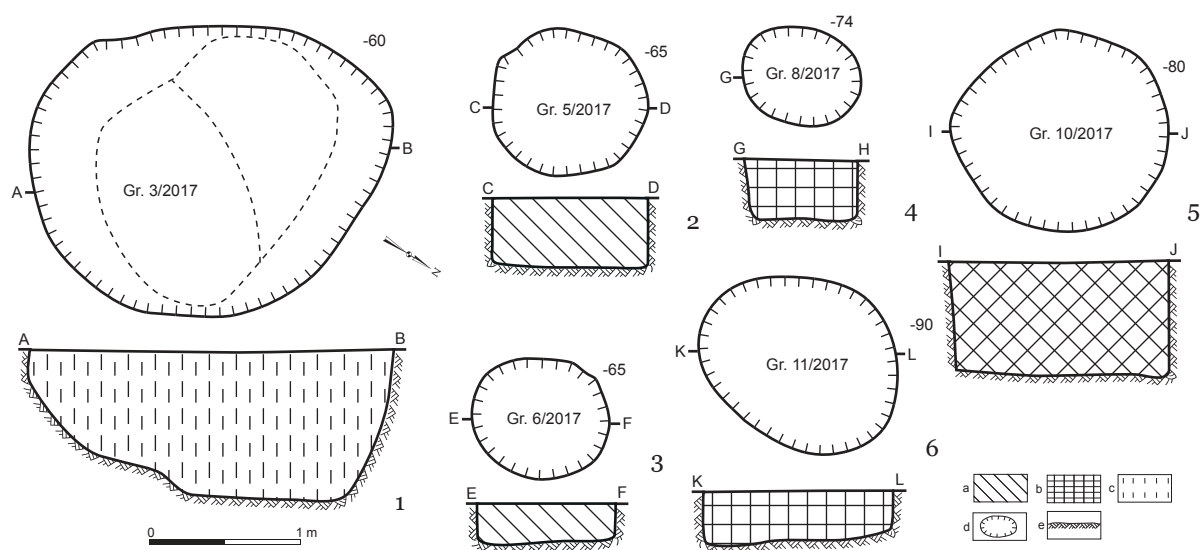


Fig. 10. Gropi din perioada timpurie a primei epoci a fierului: 1, 7-14 - groapa 3/2017; 2 - groapa 5/2017; 3 - groapa 6/2017; 4, 15-18 - groapa 8/2017; 5, 19-21 - groapa 10/2017; 6, 22-24 - groapa 11/2017 (Legenda: a. sol cenușiu; b. sol ars; c. sol argilos; d. conturul gropilor; e. strat steril).

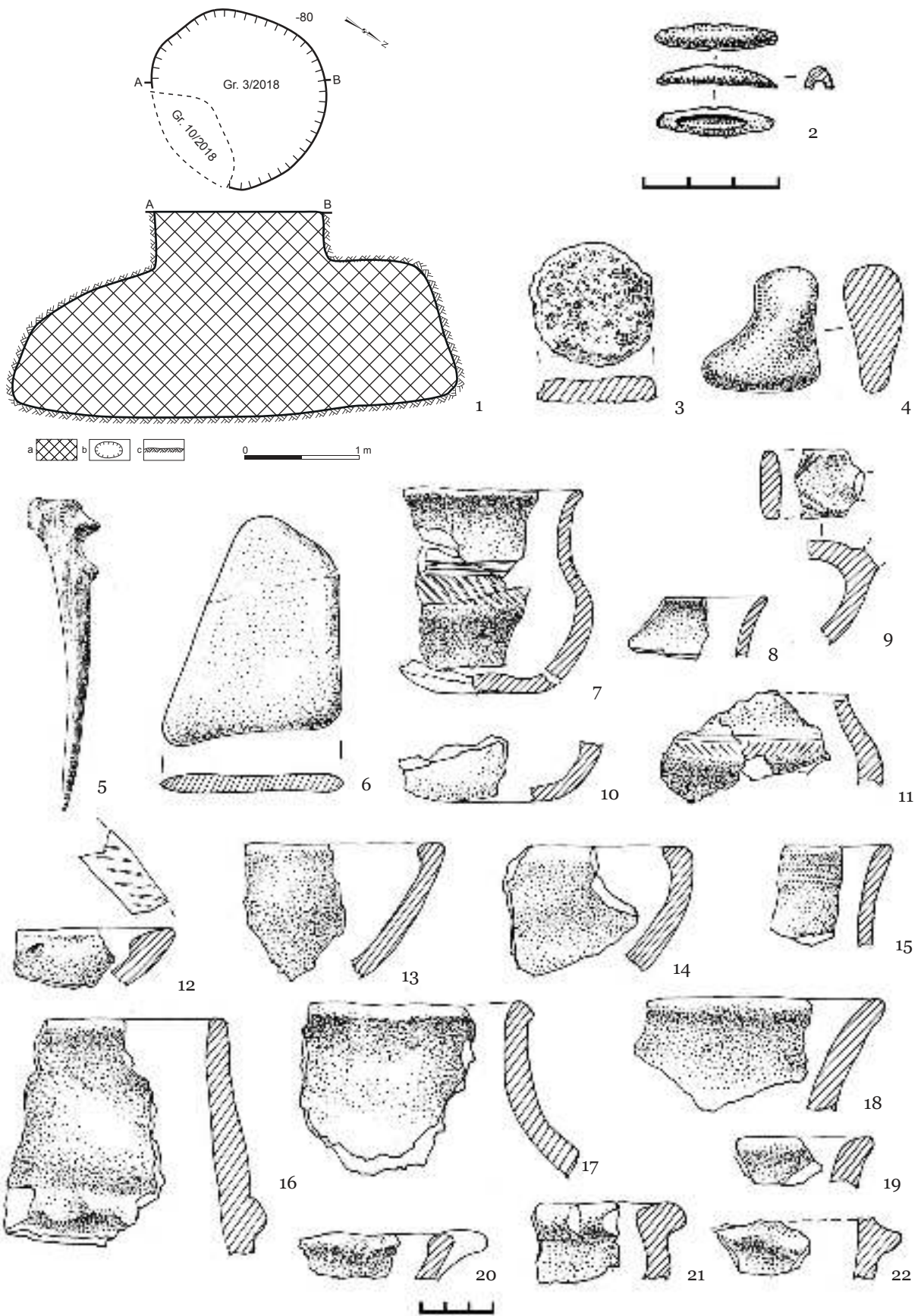


Fig. 11. Groapa 3/2018 (Legenda: a. sol castaniu; b. conturul gropii; c. strat steril).

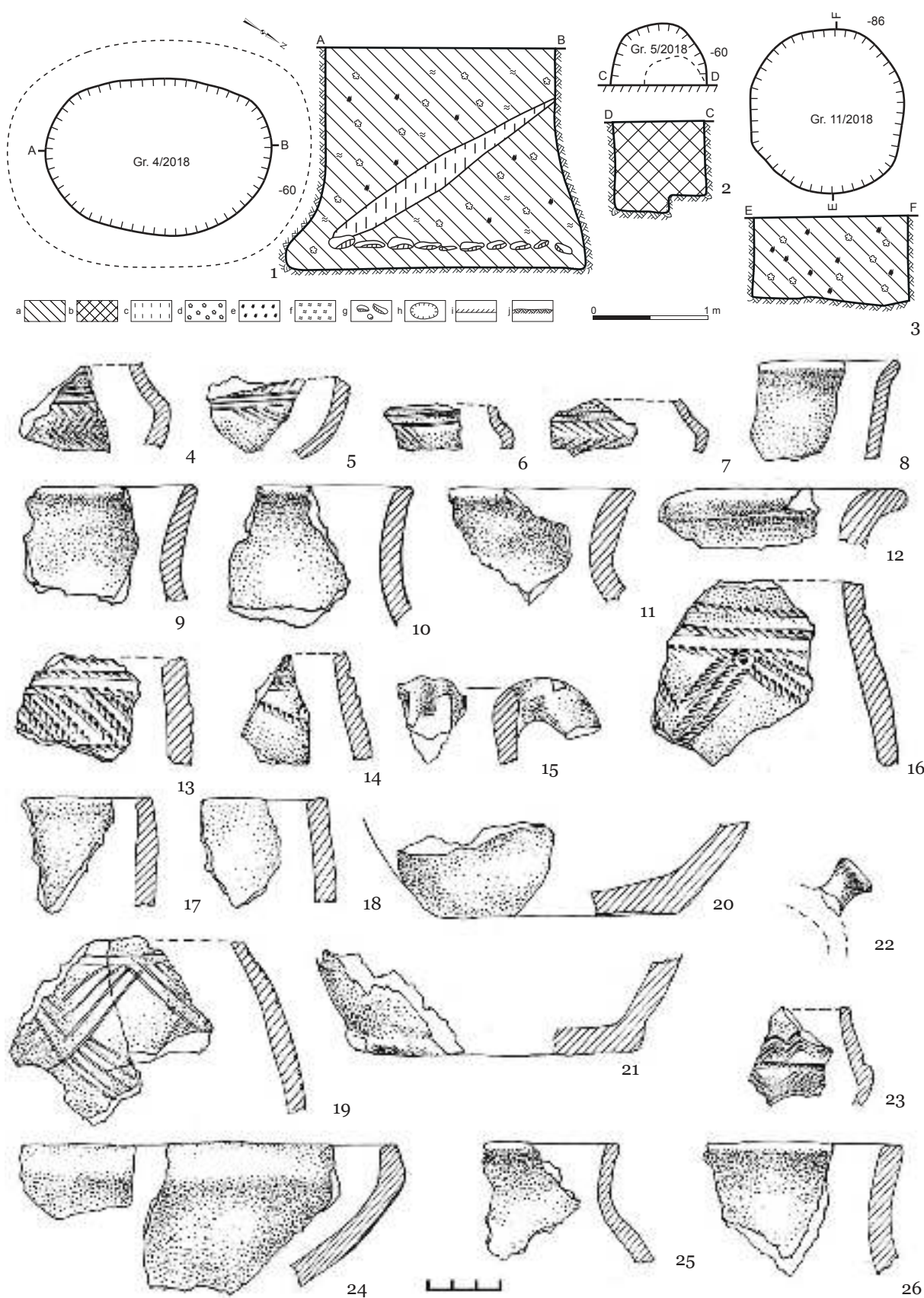


Fig. 12. Gropi din perioada timpurie a primei epoci a fierului: 1, 4-16 - groapa 4/2018; 2, 17-21 - groapa 5/2018; 3, 22-27 - groapa 11/2018 (Legenda: a. sol cenușiu; b. sol castaniu; c. sol argilos; d. fragmente de lut ars; e. fragmente de lemn ars; f. cenușă; g. pietre; h. conturul gropilor; i. limita secțiunii; j. strat steril).

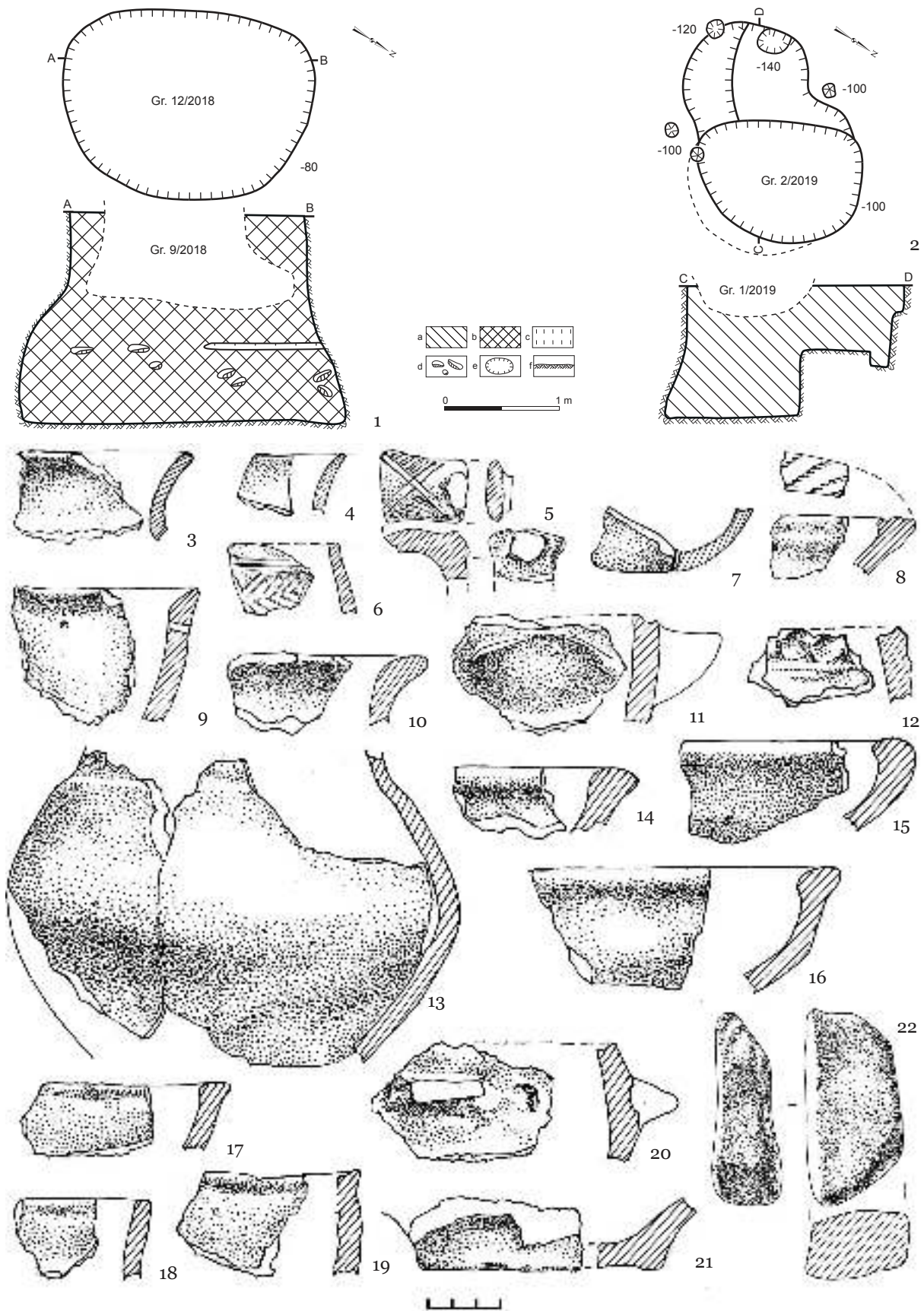
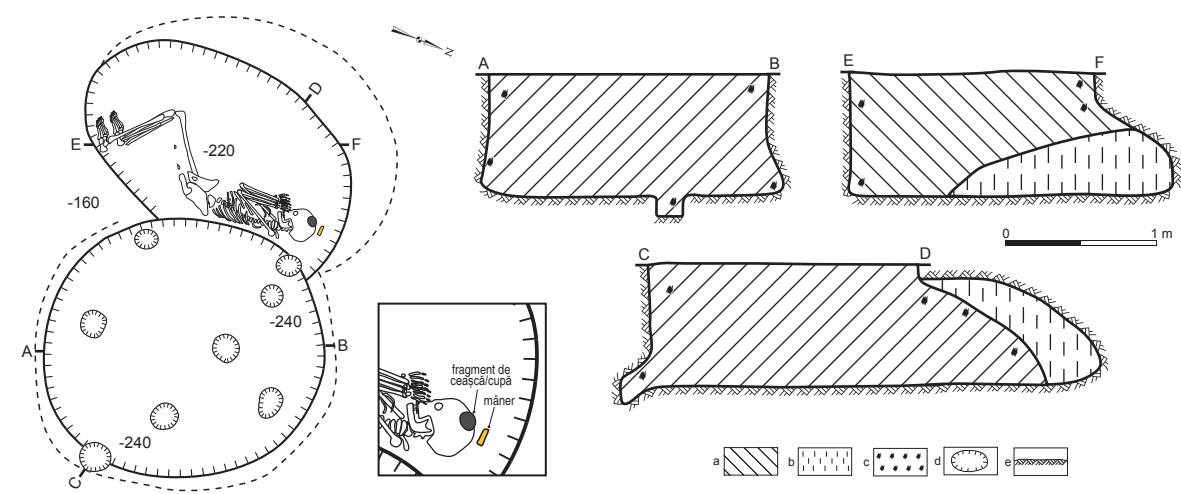


Fig. 13. Gropi din perioada timpurie a primei epoci a fierului: 1, 3-12 - groapa 12/2018; 2, 13-22 - groapa 2/2019 (Legenda: a. sol cenușiu; b. sol castaniu; c. sol argilos; d. pietre; e. conturul gropilor; f. strat steril).



1



2



3

Fig. 14. Mormânt din perioada timpurie a primei epoci a fierului: 1 - planul și profilul (Legenda: a. sol cenușiu; b - sol argilos; c. fragmente de lemn ars; d. conturul gropilor; e. strat steril); 2 - vedere generală asupra mormântului; 3 - vedere a catacombei.

fundului – de 2,6 m și adâncimea de 1,8 m. Emplectonul reprezenta sol castaniu în amestec cu cenușă și pietre. Partea superioară a gropii a fost deranjată de groapa 9/2018.

*Inventar:* 12 fragmente de ceramică de tip Cozia-Saharna (fig. 13/3-12) și 66 fragmente de oase de animale.

*Groapa 2/2019* a fost descoperită în secțiunea 31, la adâncimea de 1,0 m (fig. 4; 13/2). Ea reprezintă o structură complexă, ce consta din două părți componente. În partea superioară, de la gură și până la adâncimea de 0,6 m, groapa avea formă quasi-ovală în plan cu dimensiunile de 1,8×1,4 m, având pereții verticali. De la adâncimea de 0,6 m, în partea de nord, groapa se adâncește, astfel formându-se o cavitate de formă ovală în plan cu dimensiunile 1,4×1,0 m și adâncimea de 0,56 m.

Spre fund groapa se lărgeste în direcția nord-vest, astfel căpătând formă de clopot. La nivelul gurii gropii, pe marginea ei de sud-vest și sud-est, au fost atestate cinci gropi de la pari. Acestea aveau diametrul cuprins între 0,10 și 0,25 m și adâncimea de 0,15 m. Probabil, gropile de pari reprezintă vestigiile unei construcții din lemn cu care era acoperită groapa de provizii.

*Inventar:* o lustruitoare (cat. nr. III.15; fig. 13/22), 12 fragmente de vase de tip Cozia-Saharna (fig. 13/13-21) și 49 fragmente de oase de animale.

*Mormântul* a fost descoperit în secțiunea 30 la adâncimea de 1,6 m de la nivelul actual de călcare (fig. 4; 14). În mormântarea reprezintă o amenajare funerară de tip groapă cu catacombă. Groapa funerară avea formă de clopot cu diametrul gurii de 1,8 m, diametrul fundului – de 2,1 m și adânci-

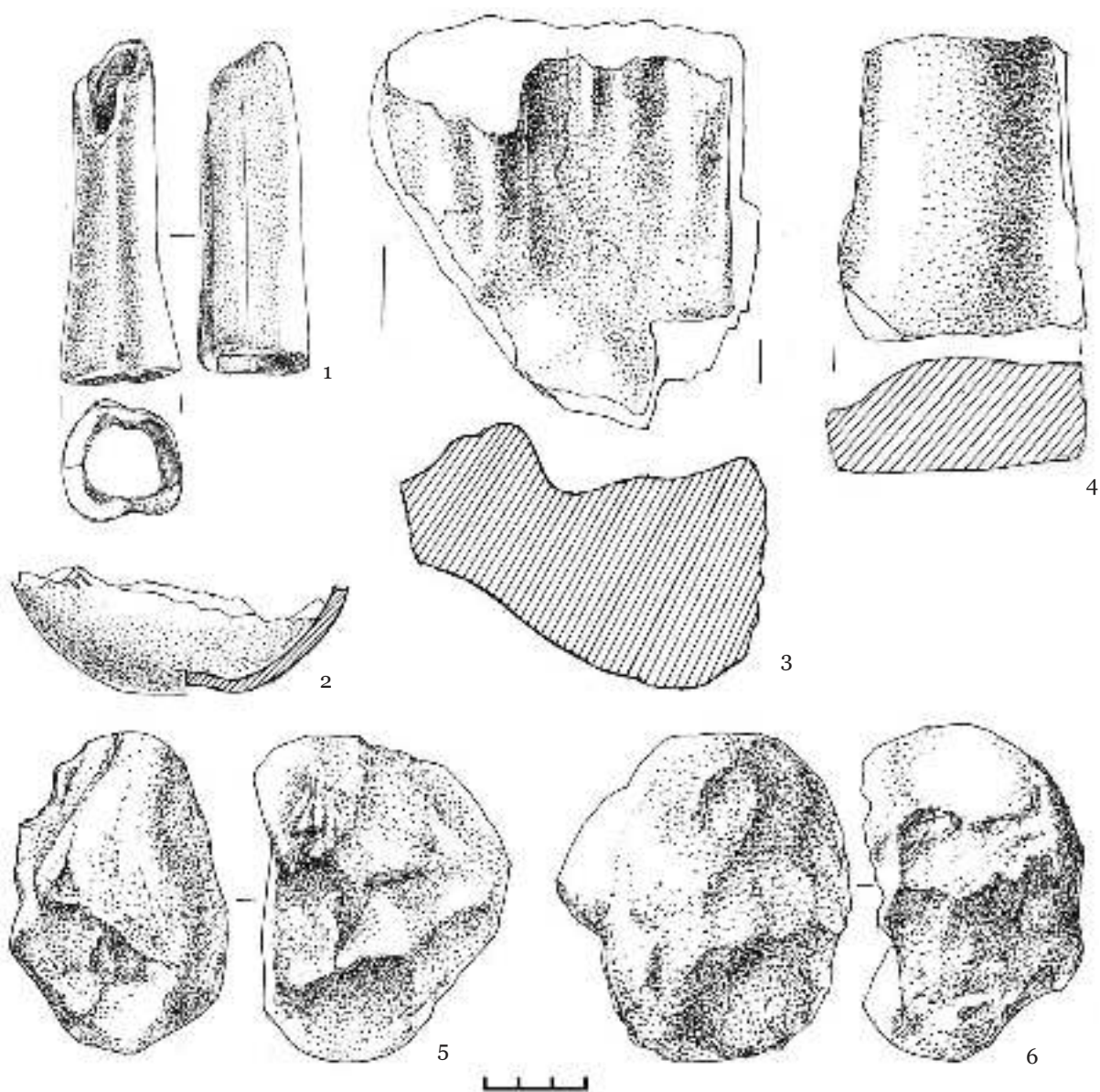


Fig. 15. 1-2 - inventarul funerar deșus în catacomba mormântului; 3-6 - piese descoperite în groapa mormântului.

mea de 0,8m. Umplutura gropii constă din sol de culoare cenușie în amestec cu fragmente de lemn ars. Din groapa mormântului au fost recuperate: un fragment de piatră de râșniță (cat. nr. III.12; fig. 15/3), două percutoare (cat. nr. III.4-5; fig. 15/5, 6), o cute (cat. nr. III.11; fig. 15/4), 16 fragmente de ceramică (fig. 16/10-18) și 121 fragmente de oase de animale.

Ceramica descoperită în groapa funerară a fost modelată cu mâna din pastă de lut cu degresanți de șamotă. Arderea este neuniformă și incompletă, iar culoarea variază de la cenușiu la negru. Suprafața recipientelor este lustruită. Unele

fragmente sunt decorate în relief cu proeminențe conice (fig. 16/15) sau cilindrice (fig. 16/16). Astfel de vase sunt frecvent întâlnite în microzona Saharna (Niculiță, Zanoci, Arnăuț 2008, fig. 76; Niculiță, Nicic 2014, fig. 24-33; Niculiță, Zanoci, Băț 2016, fig. 53/4, 15, 19) care, conform caracteristicilor, se încadrează în perioada hallstatiană timpurie.

În peretele de est al gropii funerare a fost săpată o catacombă de formă ovală cu dimensiunile de 1,2x2,0 m. Intrarea în catacombă are lățimea de 1,1 m și înălțimea de 0,7 m. În partea de est a catacombei a fost scobită o nișă cu adâncimea de până

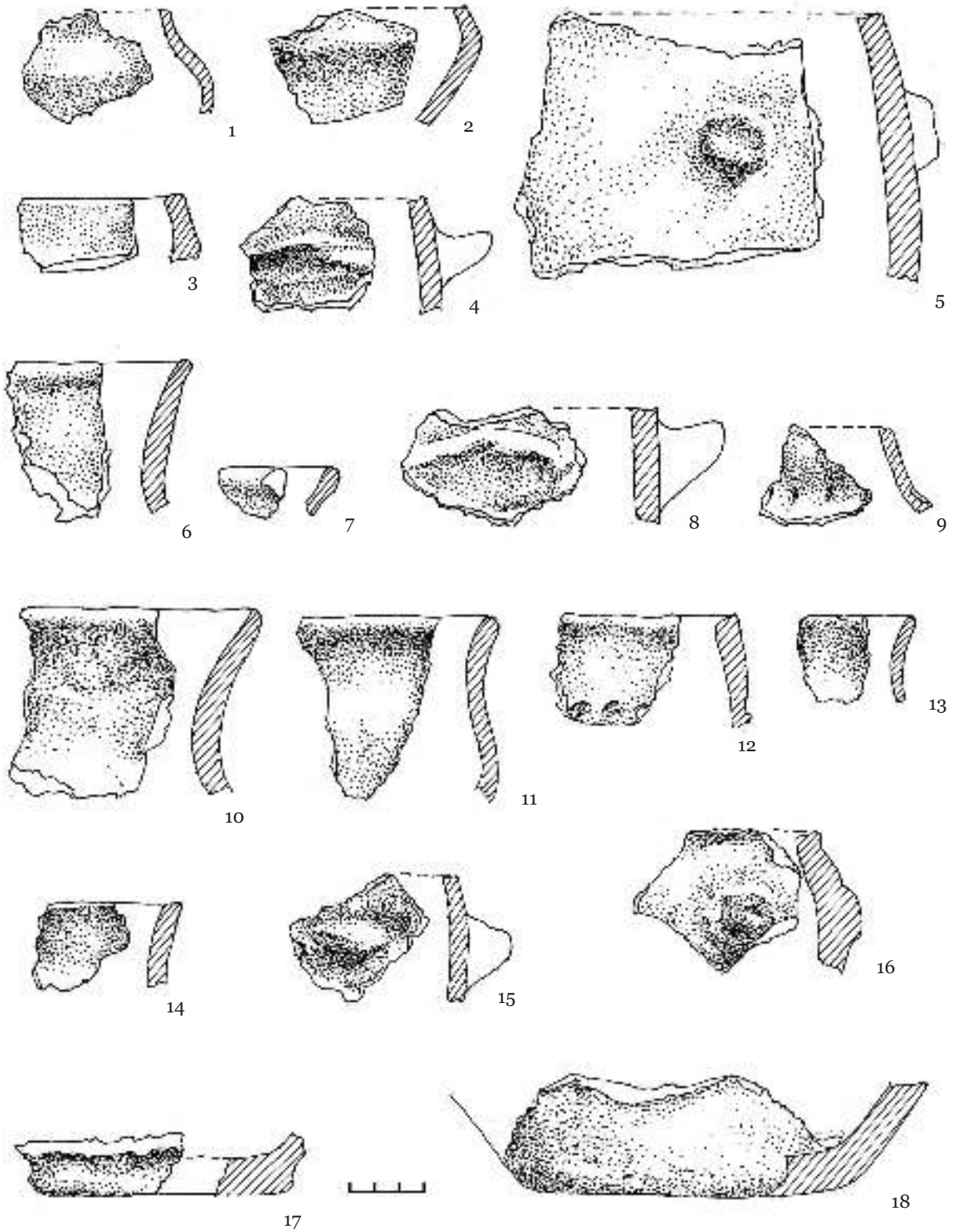


Fig. 16. Fragmente de ceramică descoperite în construcția funerară: 1-9 - catacomba mormântului; 10-18 - groapa mormântului.



la 0,5 m. Solul excavat din umplutura catacombei este de culoare cenușie în amestec cu sol argilos. În urma degajării solului din catacombă a fost descoperit un schelet uman, care aparține unui individ de sex masculin de vârstă *senilis* (peste 60 de ani la deces)<sup>5</sup>. Defunctul a fost depus în catacombă chircit pe partea dreaptă cu brațele îndoite spre cap cu palmele în dreptul bărbiei și picioarele îndoite din genunchi. Scheletul era orientat pe direcția N-S. În dreptul craniului a fost depus un mâner din corn (cat. nr. II.4; fig. 15/1), iar peste craniul scheletului a fost depus un fragment de cupă/ceașcă, modelată cu mâna din pastă fină de lut cu degresanți de șamotă mărunțită. Suprafața vasului este lustruită, având culoarea cenușie închisă. În partea inferioară ceașca are o adâncitură de tip umbo, iar în zona fragmentării s-au păstrat trei capete de linii, incizate oblic. Astfel de recipiente sunt cunoscute atât din structurile arheologice, cât și din stratul cultural de la Saharna Mare / „Dealul Mănăstirii” (Niculiță, Zanoci, Arnăuț 2008, fig. 61/5; 79/8; Niculiță, Zanoci, Băț 2016, fig. 44/6; 56/3; 59/11), precum și în situri atribuite culturii Cozia-Saharna (Кашуба 2000, рис. LXVII/6; CXI/4).

De asemenea, în catacombă au mai fost atestate 31 fragmente de ceramică (fig. 16/1-9) și patru fragmente de oase, care, probabil au ajuns aici, după ruina construcției funerare, în momentul astupării gropii.

Pe fundul gropii funerare au fost identificate opt gropi cu diametrul de cca 0,2-0,4 m și adâncimea de 0,25-0,4 m, care provin de la o construcție din lemn. O suprastructură similară a fost descoperită anterior la Saharna Mare / „Dealul Mănăstirii” (Niculiță, Niciu 2011, 225-228, fig. 2; Niculiță, Zanoci, Băț 2016, 127-131, fig. 82, 83).

\*\*\*

În structurile arheologice, precum și în nivelul de locuire atribuit culturii Cozia-Saharna au fost descoperite mai multe piese de inventar confecționate din diferite materii prime și reprezentate de unelte, ustensile și arme.

### Unelte și ustensile

Ustensilele din fier sunt reprezentate de trei lame de cuțit (cat. nr. I.1-3) și două străpungătoare (sule) (cat. nr. I.4-5).

<sup>5</sup> Osemintele au fost analizate antropologic de Angela Simalcsik, studiul fiind publicat în numărul de față al revistei (Nagacevschi et al., pag. 328-333, fig. 4-5).

Cuțitele sunt confecționate din fier și fac parte din categoria pieselor cu muchia curbată și secțiune triunghiulară. Unul (fig. 17/1) are lungimea de 11,9 cm, fiind lipsit de peduncul de înmănușare. Un astfel de cuțit a fost descoperit și anterior în incinta „citadelei” hallstattiene timpurii de la Saharna Mare / „Dealul Mănăstirii” (Niculiță, Zanoci, Băț 2016, 99, fig. 65/1). Cel de-al doilea (fig. 17/3), fragmentar, avea un peduncul scurt, pe care s-a păstrat nitul de la fixarea plăselei. Piese asemănătoare, însă fără nit, sunt cunoscute din necropola Saharna „Țiglău” (Kaşuba 2014, fig. 187/17; 199/3). Cel de-al treilea exemplar (fig. 17/2) reprezintă un cuțit scurt (5,5 cm) cu muchia profilată și cu peduncul de înmănușare. Piese similare sunt cunoscute în necropola Saharna „Gura Hulboacei” (Кашуба 2000, рис. XXX/16), în așezarea Țahnăuți (Băț 2017, fig. 8/3) etc., atribuite culturii Cozia-Saharna.

Străpungătoarele au fost lucrate prin forjare din bare de fier și aveau forma în secțiune patrulateră (cat. nr. I.4; fig. 17/5) sau rotundă (cat. nr. I.5; fig. 17/4).

Ustensilele din os și corn sunt cunoscute grație a două străpungătoare și a două mânere pentru unelte.

Una dintre străpungătoare (cat. nr. II.1; fig. 11/5), confecționată din osul cubitus al unui câine<sup>6</sup>, a fost descoperită în groapa 3/2018. Cea de-a doua (cat. nr. II.2; fig. 17/6) a fost atestată în stratul cultural. Astfel de piese se întâlnesc frecvent în nivelul de locuire hallstattian timpuriu de la Saharna Mare / „Dealul Mănăstirii” (Niculiță, Zanoci, Arnăuț 2008, 79, fig. 148/6; Niculiță, Zanoci, Băț 2016, 99, fig. 65/7), dar și în alte așezări sincrone – Saharna „Țiglău” (Niculiță, Niciu 2014, fig. 11), Solonceni „Hlinaia” (Кашуба 2000, таб. XXIX/9, 10, 13) etc.

Mânerele au fost confecționate din coarne de bovine, având suprafața șlefuită, fapt ce demonstrează o utilizare îndelungată. Unul dintre ele (cat. nr. II.4; fig. 15/1) face parte din inventarul funerar al mormântului din secțiunea 31/2019, iar cel de-al doilea (cat. nr. II.3; fig. 17/7) a fost atestat în stratul cultural. O piesă asemănătoare este cunoscută și în așezarea din prima epocă a fierului Saharna „Țiglău” (Niculiță, Niciu 2014, fig. 9/1).

Uneltele din piatră, atribuite perioadei hallstattiene timpurii, sunt reprezentate de: un fragment

<sup>6</sup> Aici și în continuare aprecierile sunt făcute de Margareta Simina Stanc.

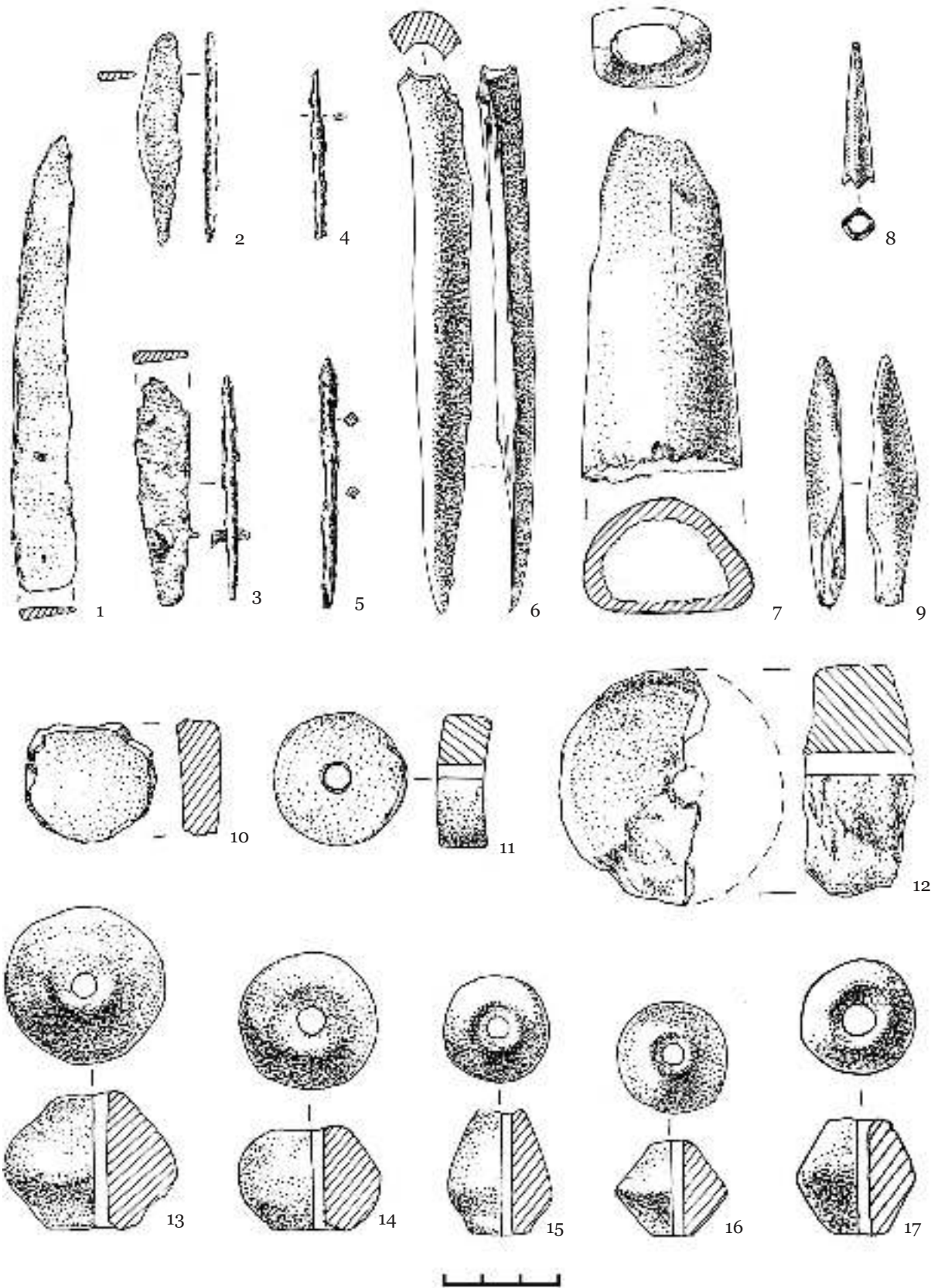


Fig. 17. Piese din perioada timpurie a primei epoci a fierului (1-5 - fier; 6, 8, 9 - os; 7 - corn; 10-17 - lut ars).

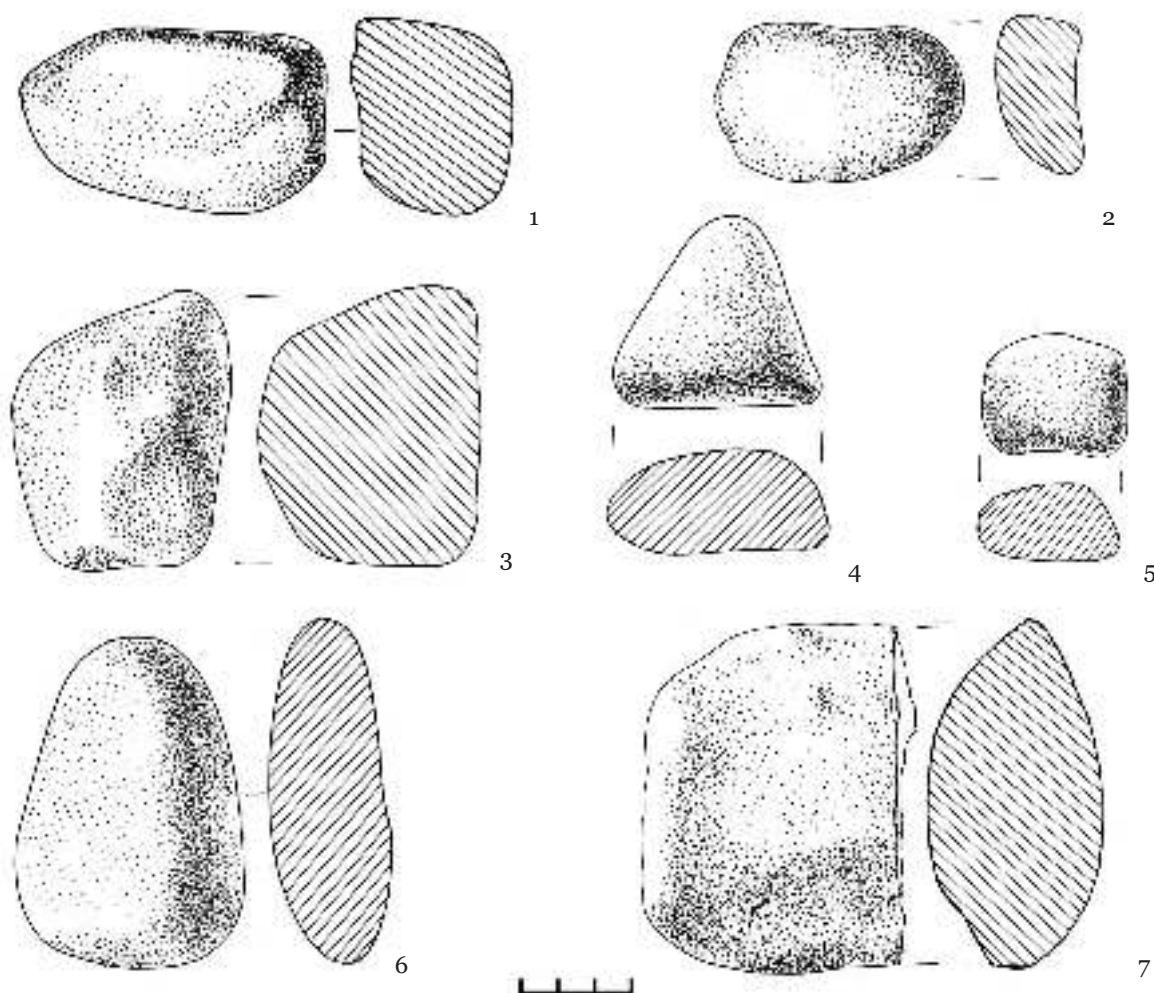


Fig. 18. Piese din piatră atribuite perioadei timpurii a primei epoci a fierului.

de piatră de râșniță (cat. nr. III.12; fig. 15/3), cinci percutoare (cat. nr. III.1-5; fig. 18/1, 3, 7; 15/5, 6), confecționate din pietre de râu, gresie sau granit; trei lustruitoare (cat. nr. III.13-15; fig. 13/22; 18/4, 5), lucrate din piatră de râu; șase cute (cat. nr. III/5, 7-11; fig. 11/4, 6; 15/4; 18/2, 6;) din piatră de râu și o rondelă (cat. nr. III.16; fig. 11/3), confecționată din piatră de calcar. Piesele din piatră sunt destul de frecvent întâlnite în așezarea Saharna Mare / „Dealul Mănăstirii” (Niculiță, Zanoci, Arnăuț 2008, 80, fig. 149/1, 3, 5, 8; Niculiță, Zanoci, Băț 2016, 99, fig. 65/12-20), precum și în alte situri ale culturii Cozia-Saharna – Saharna „Țiglău” (Niculiță, Niciu 2014, fig. 13-15), Glinjeni II (Гольцева, Камуба 1995, таб. LI/1-3, 5), Pocreaca (Iconomu 1996, fig. 20/11) etc.

Utensilele din lut sunt reprezentate de șase fusaiole (cat. nr. IV.1-6; fig. 10/15; 17/13-17) și trei rondelă (cat. nr. IV.7-9; fig. 17/10-12).

*Fusaiolele* au forma bitronconică și au fost modelate din pastă de lut cu impurități de șamotă, având arderea neuniformă. Culoarea lor variază de la cărămiziu la cenușiu-închis sau negru. Unele dintre ele au suprafața lustruită. Înălțimea lor este cuprinsă între 1,6 și 3,3 cm, diametrul maxim variază între 2,0 și 3,5 cm, al bazelor – între 0,7 și 2,2 cm, iar al orificiului – între 0,4 și 0,8 cm.

Fusaiole similare au fost atestate și anterior în nivelul hallstattian timpuriu de la Saharna Mare / „Dealul Mănăstirii” (Niculiță, Zanoci, Arnăuț 2008, 80-81, fig. 152/1, 2, 4, 5, 8; Niculiță, Zanoci, Băț 2016, 101, fig. 66/1-9), precum și în alte așezări ale culturii Cozia-Saharna (Камуба 2000, 314-315, рис. XXV/6, 7, 9-17, 19-26).

*Rondelăele* sunt reprezentate de două piese (cat. nr. IV.7-8; fig. 17/10, 11) confecționate din pereții unor vase caracteristice culturii Cozia-Saharna și una (cat. nr. IV.9; fig. 17/12) modelată

din pastă de lut în amestec cu șamotă și calcar pisat. Astfel de rondelle au fost descoperite și anterior în așezarea Saharna Mare / „Dealul Mănăstirii” (Niculiță, Zanoci, Arnăuț 2008, 80-81, fig. 151/1-6; Niculiță, Zanoci, Băț 2016, 101-102, fig. 66/12, 13). De asemenea, ele sunt întâlnite frecvent și în alte situri ale culturii Cozia-Saharna (Кашуба 2000, 317, рис. XXVI/19, 24, 25).

Categoria **armelor** este reprezentată de două vârfuri de săgeată confecționate din os. Unul (cat. nr. II.5; fig. 17/8), de formă piramidală, cu bucă de înmănușare interioară, similar celor descoperite anterior în situl Saharna Mare / „Dealul Mănăstirii” (Niculiță, Zanoci, Arnăuț 2008, fig. 147/1-4; Niculiță, Zanoci, Băț 2016, fig. 65/3), precum și în alte așezări ale culturii Cozia-Saharna – Solonceni „Hlinaia”, Țahnăuți etc. (Кашуба 2000, рис. XXIX/7, 14, 16). Cel de-al doilea (cat. nr. II.6; fig. 17/9) – foliform cu peduncul, se aseamănă cu piesele din fortificația Lubentsy din arealul culturii Chernoles (Тереножкин 1961, рис. 66/16, 18).

\*\*\*

În urma cercetărilor arheologice în **nivelul de locuire traco-getic** au fost atestate trei construcții, 13 gropi menajere, precum și un bogat și variat inventar arheologic.

*Construcția 1/2017-2018* (fig. 4; 19; 20) a fost evidențiată la adâncimea de 0,4 m de la nivelul actual de călcare. În partea superioară, ruinele ei ocupau o suprafață de cca 17 m<sup>2</sup> și se prezentau sub forma unei dărâmături cu grosimea de 0,4 m, compusă din sol argilos în amestec cu fragmente de lut ars și pietre (fig. 20/1). După degajarea părții superioare a dărâmăturii, la adâncimea de 0,8 m, s-a conturat groapa unui bordei de formă quasi-rectangulară în plan, cu dimensiunile de 2,8×3,3 m, orientat NE-SV. Podeaua acestuia era din pământ bătătorit și se afla la adâncimea de 0,9 m în raport cu nivelul antic de călcare. În podeaua construcției a fost săpată o groapă cu pereții cotloniți, amenajată, probabil, pentru păstrarea rezervelor alimentare (fig. 19; 20/2, 3). În peretele de vest al bordeiului, la fel, a fost săpată o cavitate, care,

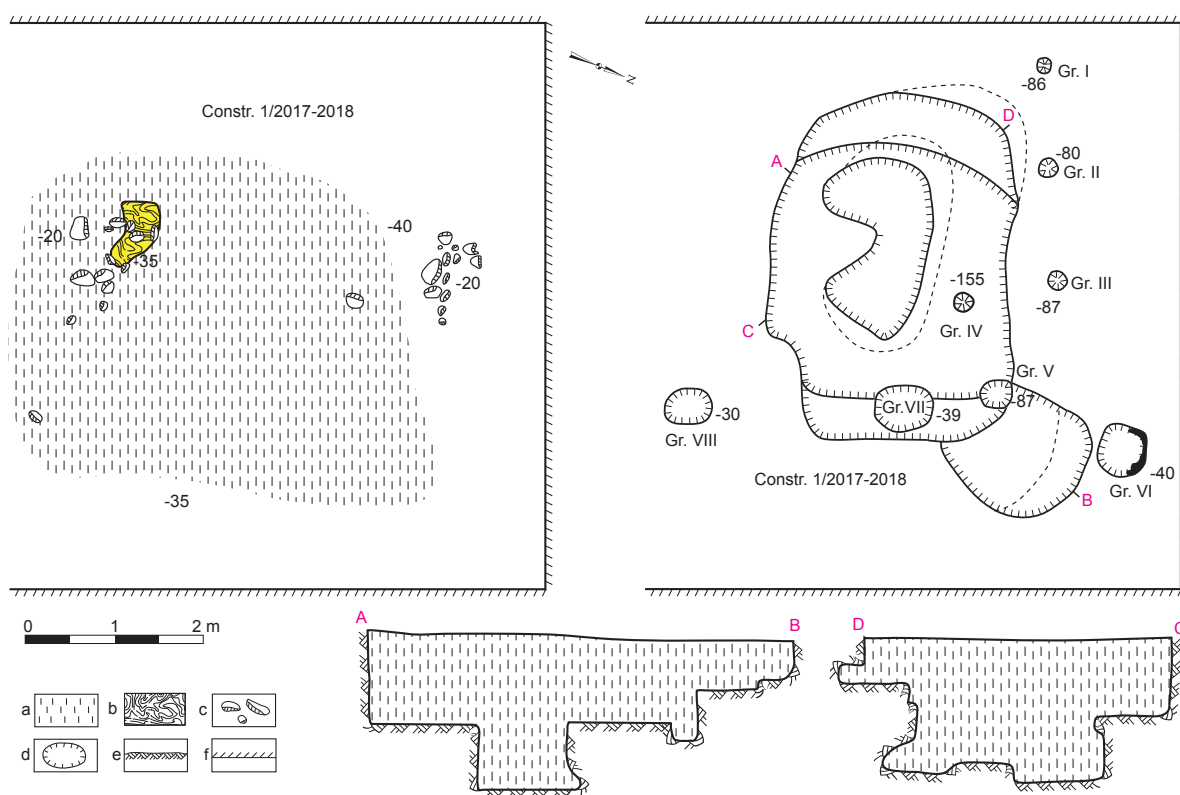


Fig. 19. Construcția 1/2017-2018. Planul și profilurile stratigrafice (Legenda: a. sol argilos în amestec cu cenușă și fragmente de lut ars; b. dărâmătura/lipitura construcției; c. pietre; d. conturul gropilor; e. strat steril; f. limita secțiunii).



1



2



3



4



5

Fig. 20. Construcția 1/2017-2018: 1 - ruinele construcției; 2-3 - groapa bordeiului; 4 - groapă de par (VI); 5 - fragmente de lemn din groapă de par (VI)

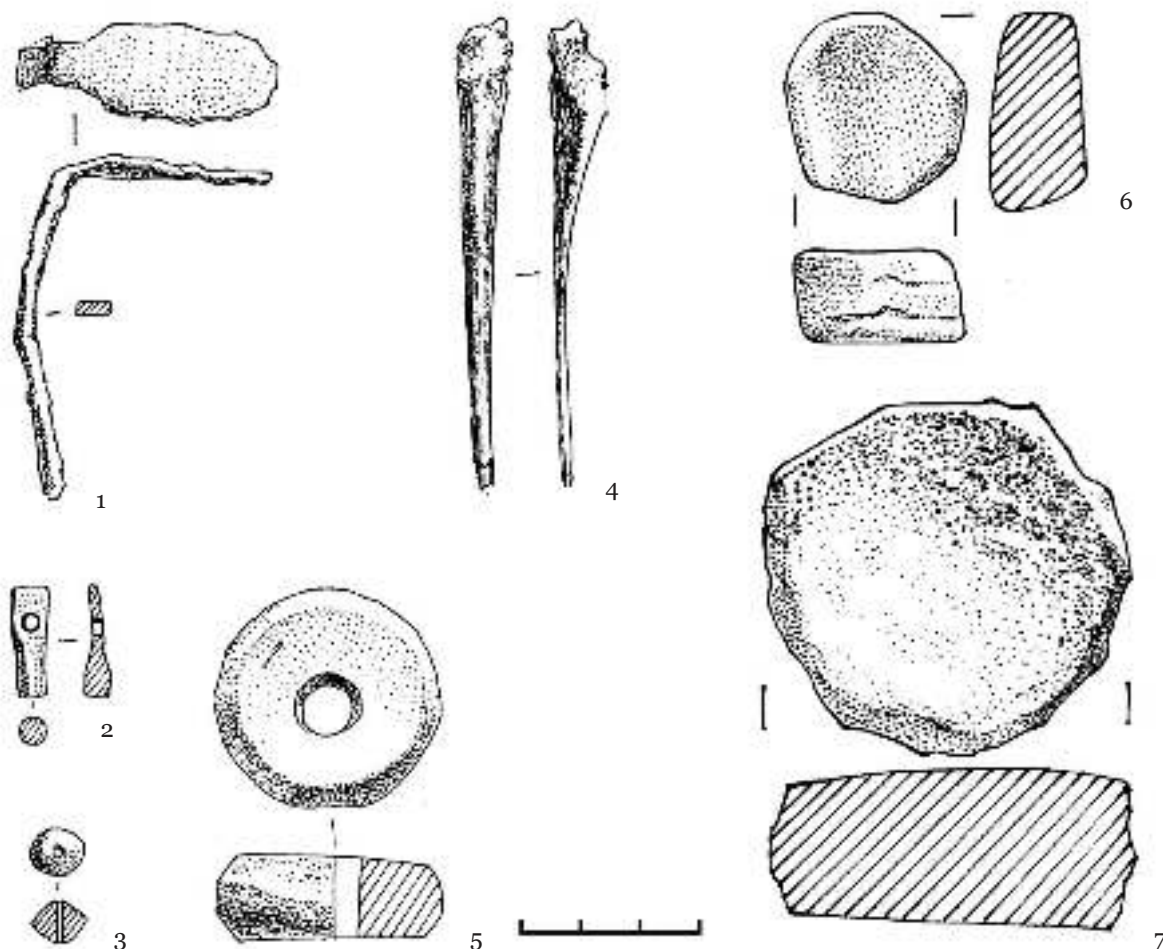


Fig. 21. Piese din construcția 1/2017-2018 (1 - fier; 2- bronz; 3 - sticlă; 4 - os; 5 - lut ars; 6, 7 - piatră de râu).

probabil, a avut aceeași destinație – depozitarea produselor, a veselei sau altor obiecte de uz menajer (fig. 19; 20/2). Pe latura de nord a bordeiului au fost amenajate două trepte, care pot fi interpretate drept calea de acces în construcție (fig. 19).

Pe suprafața cercetată a structurii au fost identificate urmele a opt gropi de par. Trei dintre ele se aflau în interiorul gropii bordeiului, altele cinci – în afara acesteia (fig. 19; 20/2-5). Acestea reprezintă, probabil, locașul în care au fost fixați parii, meniți să sprijine acoperișul construcției.

În urma investigațiilor arheologice nu a fost descoperite urme ale vreunei instalații de foc, nici urme de foc direct pe podeaua bordeiului, fapt care ne conduce spre ipoteza utilizării unei vetre mobile.

Ca urmare a investigațiilor arheologice în construcție au fost descoperite: un cuțit din fier

(cat. nr. I.9; fig. 21/1), un fragment de ac din bronz (cat. nr. I.32; fig. 21/2), o străpungătoare din os (cat. nr. II.9; fig. 21/4), un percutor (cat. nr. III.20; fig. 21/7) și o lustruitoare (cat. nr. III.25; fig. 21/6), confecționate din piatră de gresie, o fusaiolă (cat. nr. IV.47; fig. 21/5), o mărgică din pastă sticloasă (cat. nr. V.1; fig. 21/3), 184 fragmente de ceramică (fig. 22-23), 136 bucăți de lut ars și 137 fragmente de oase de animale.

Ceramica atestată în construcție, cu excepția unui fragment (fig. 23/15), a fost modelată cu mâna și este reprezentată de fragmente de străchini (fig. 22/1-6), oale (fig. 22/7-20; 23/1-11, 14) și capace (fig. 22/21). Vasele sunt ornamentate cu șiruri de alveole, amplasate sub buză (fig. 22/19, 20), brăie alveolate (fig. 23/8, 9), proeminențe cilindrice (fig. 23/1, 2) sau segmentoidale (fig. 23/3-7).

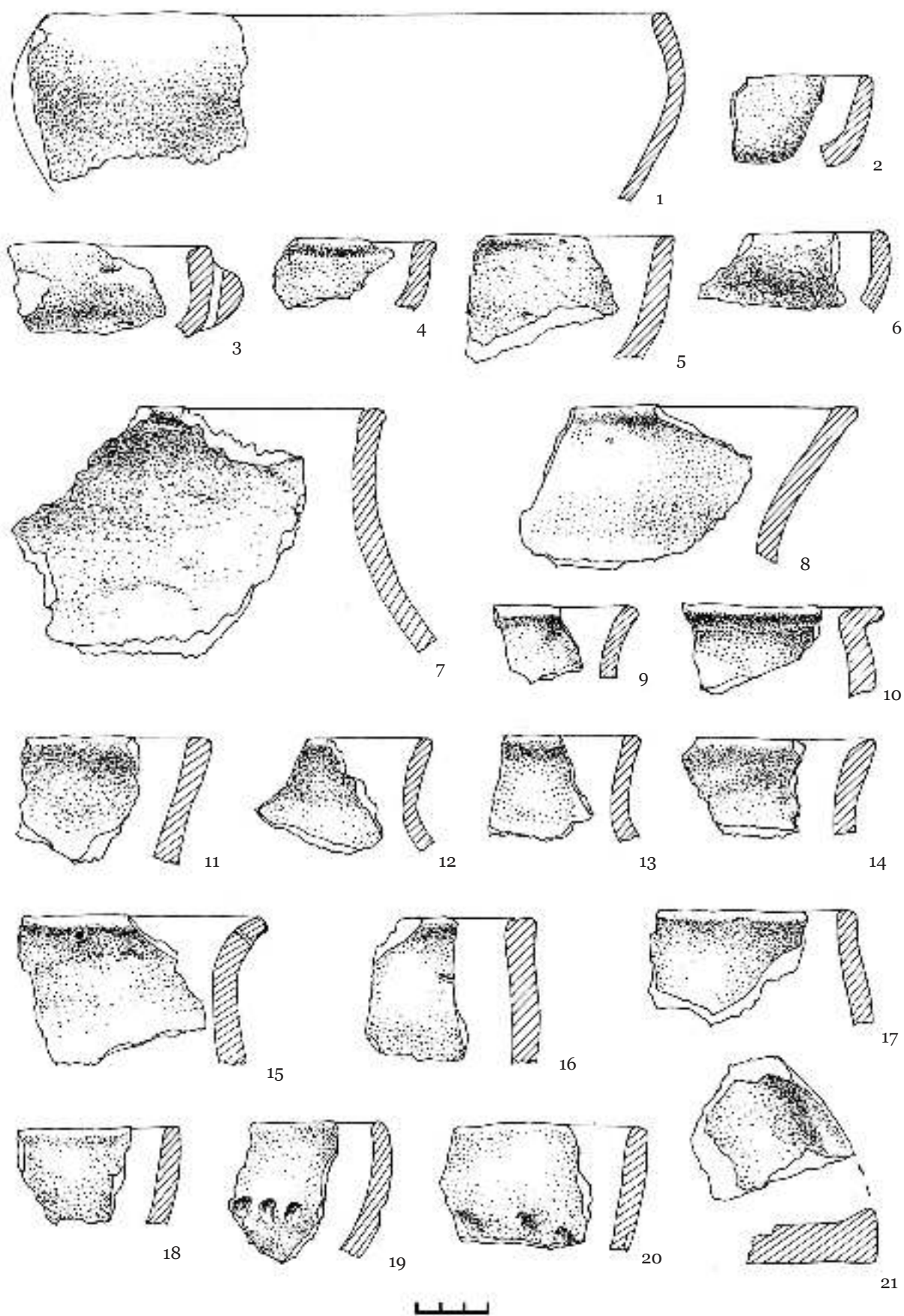


Fig. 22. Fragmente ceramice descoperite în construcția 1/2017-2018.

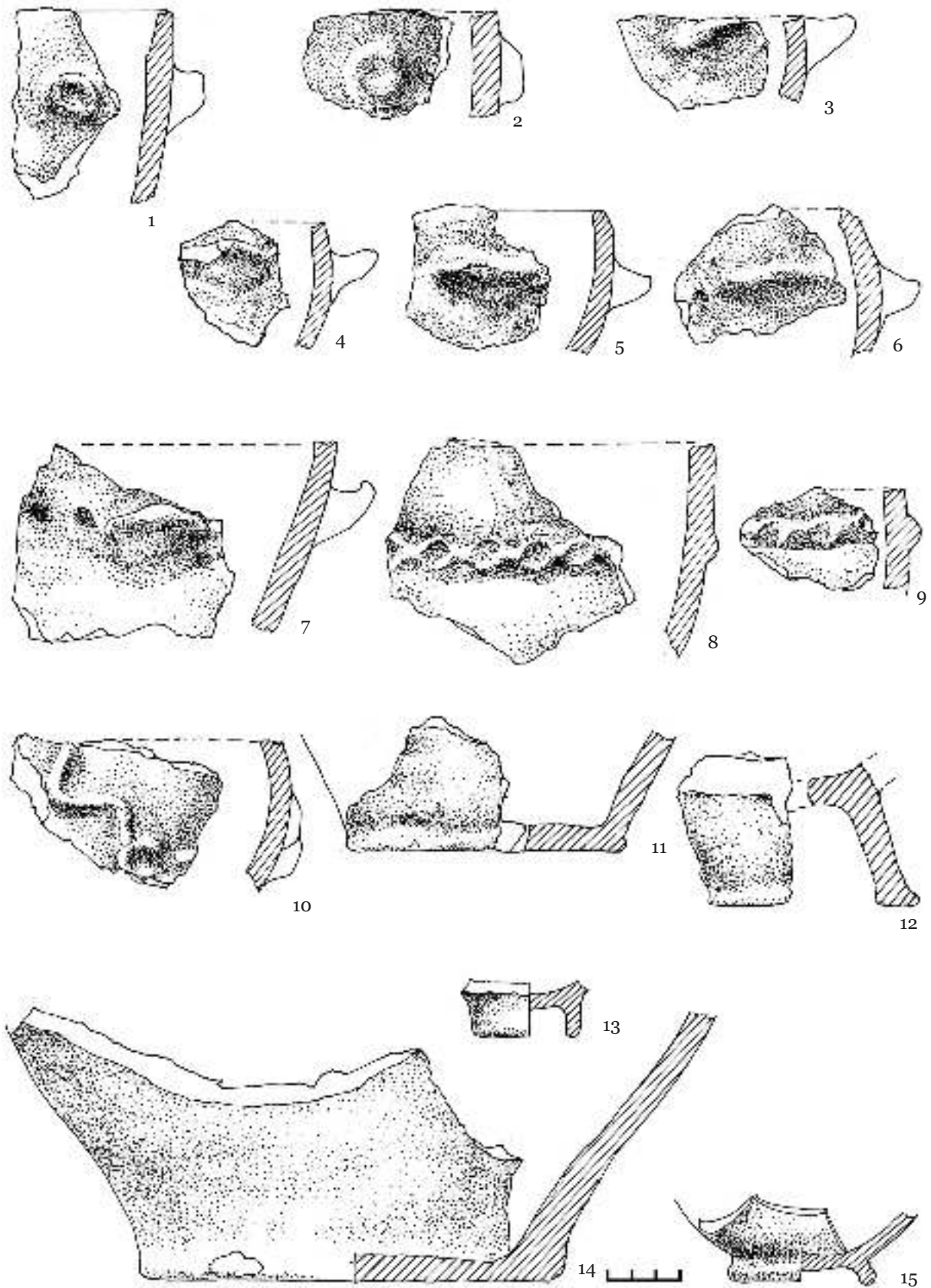
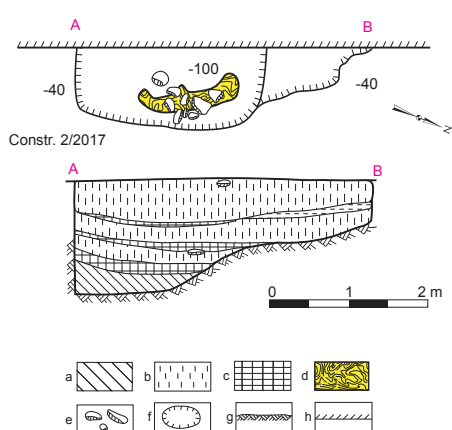


Fig. 23. Fragmente ceramice descoperite în construcția 1/2017-2018.





1



2



3

Fig. 24. Construcția 2/2017: 1 - planul și profilul (Legenda: a. sol cenușiu; b. sol argilos în amestec cu cenușă și fragmente de lut ars; c. sol ars; d. lipitură; e. pietre; f. conturul construcției; g. strat steril; h. limita secțiunii); 2-3 - vestigiile construcției.

Astfel de recipiente sunt caracteristice comunităților traco-getice, fiind întâlnite atât în siturile din microzona Saharna (Niculiță, Zanoci, Arnăuț 2008, fig. 37; 119-137; 169-173; Niculiță, Zanoci, Băț 2016, fig. 153-164; 203-210; 227-229), cât și din alte regiuni (Гольцева, Кашуба 1995, таб. XCIV-XCVIII; Niculiță, Teodor, Zanoci 2002, fig. 86-94; Niculiță, Matveev, Nicic 2019, fig. 72-74; 94 etc.).

*Construcția 2/2017* (fig. 4; 24) a fost sesizată la adâncimea de 0,4 m, fiind cercetată parțial. Însă, după cum reiese din partea investigată, aceasta reprezintă o structură adâncită. Umplutura ei consta din sol argilos în amestec cu cenușă,

fragmente de lut ars și pietre. Adâncimea construcției este de 0,8-1,0 m față de nivelul de surprindere. În partea estică a structurii, a fost săpată o cavitate cu o adâncime maximă de 0,5 m, amenajată special pentru instalația de foc. Aici a fost descoperită o amenajare din chirpici și pietre, ceea ce reprezintă, probabil, bolta și pereții cuptorului (fig. 24/2). Acesta avea o lungime de 1,35 m și o lățime de 0,8 m și a fost depus pe un strat de pământ bătătorit. Bolta cuptorului s-a păstrat pe o înălțime de 0,2 m. În peretele de vest al instalației a fost atestat un spațiu liber, ceea ce poate sugera că aici era amenajată gura cuptorului.

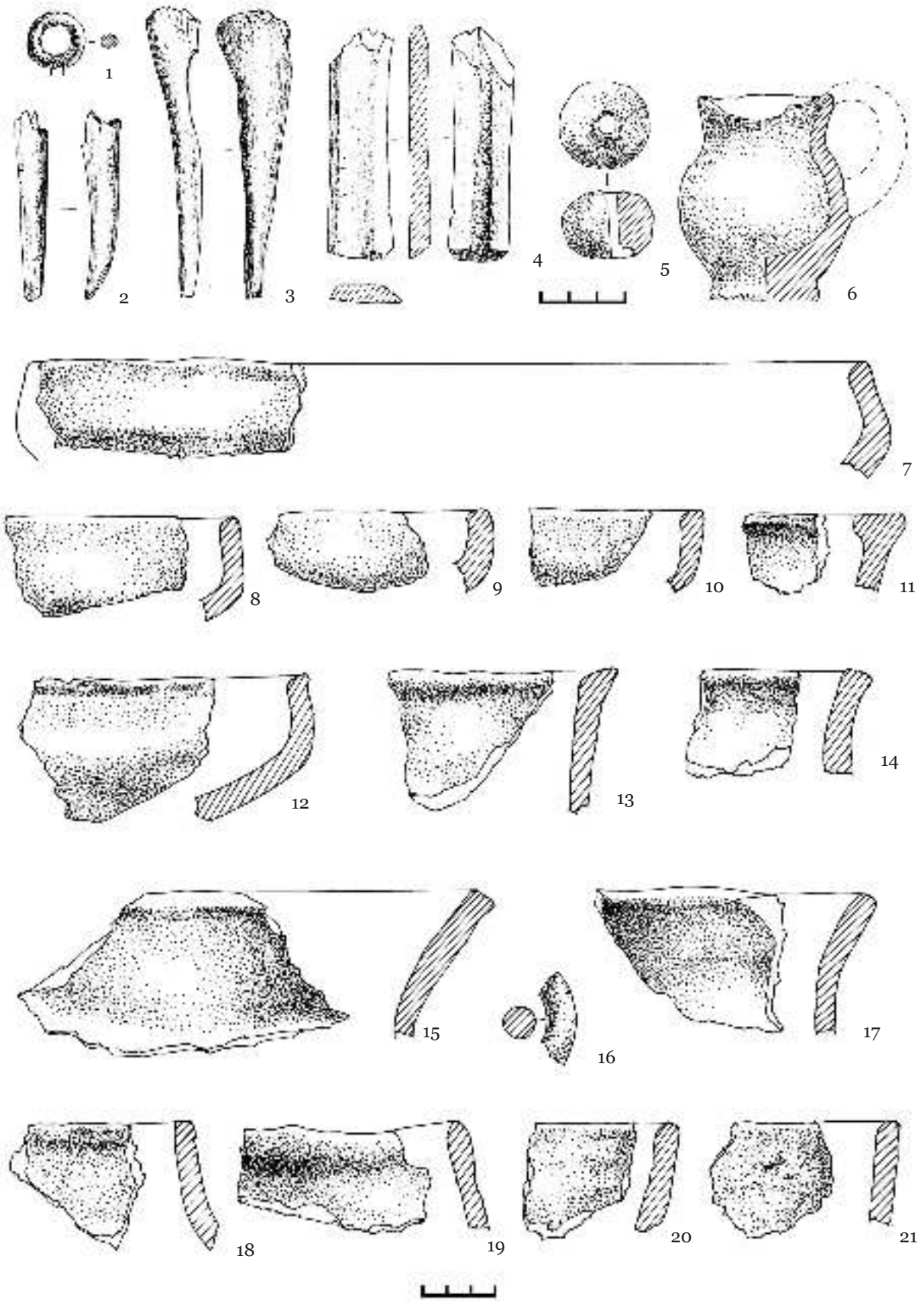


Fig. 25. Inventarul construcției 2/2017.

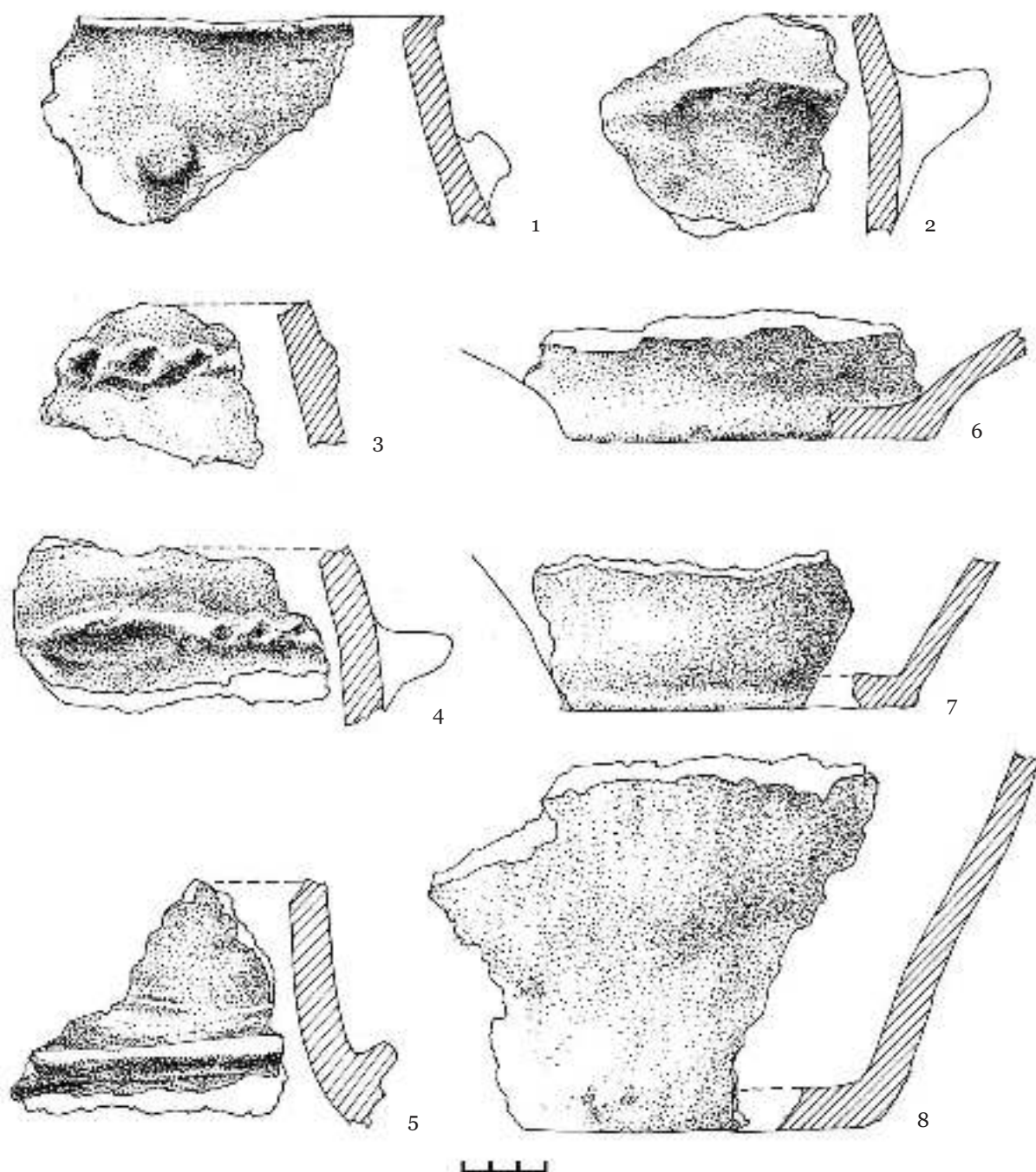


Fig. 26. Inventarul construcției 2/2017.

În urma cercetărilor arheologice din construcție au fost recuperate: un fragment de ac din bronz cu cap inelar (cat. nr. I.33; fig. 25/1), două străpungătoare din os (cat. nr. II.10-11; fig. 25/2, 3), o plăsea din os (cat. nr. II.17; fig. 25/4), o fusaioală (cat. nr. IV.48; fig. 25/5), o ceașcă (fig. 25/6), 38 fragmente de ceramică (fig. 25/7-21; 26/1-8) și 26 fragmente de oase de animale.

Atât piesele de inventar, cât și ceramica se încadrează tipologic în nivelul de locuire traco-getic de la Saharna Mare / „Dealul Mănăstirii”, fiind similare celor descoperite în construcții, gropi, precum și în stratul cultural.

*Construcția 3/2017-2019* a fost descoperită la adâncimea de 0,5 m. Ruinele construcției ocupau o suprafață de 10×11 m și prezentau un strat cu grosimea de 0,4-0,6 m, compus din sol argilos ars, amestecat cu chirpici (unele cu amprente de nuiele și pari), pietre, fragmente de lemn ars, oase și fragmente de vase (fig. 4; 27; 28/2-4, 7).

Ca urmare a cercetării ruinelor construcției au fost identificate urmele a paisprezece gropi de par, folosite pentru susținerea acoperișului (fig. 27/1, 4; 28/5, 6). Gropile aveau formă cilindrică cu diametrul de 0,2-0,6 m și adâncimea cuprinsă între 0,25 și 0,65 m. Plecând de la traseul gropilor de par și de la configurația dărâmăturii a fost posibilă reconstituirea planimetriei construcției și a modului de edificare a acoperișului. Prin urmare, putem presupune că construcția a avut o formă patrulateră în plan, orientată cu latura lungă pe direcția nord-sud, având dimensiunile de aproximativ 7,0×9,5 m. Șirul format din gropile de par nr. I, II, IV, V, VI, IX reprezintă locașurile rămase de la parii de susținere ai pereților exteriori. Șirul de stâlpi, format din gropile de par nr. IV, VIII, IX ar putea delimita două încăperi, numite convențional nordică (5,0×7,0 m) și sudică (4,0×7,0 m). În baza șirului de stâlpi din interiorul construcției (gropile de par nr. III, VII, VIII, X, XI, XIII, XIV) se poate afirma că acoperișul era construit în două ape. Construcția avea pereții edificați în sistemul paiantă, unele fragmente de lut ars păstrând amprente ale împletiturilor de nuiele (fig. 35/9, 10). Pe unele fragmente de lipitură ale pereților se observă urme de var, aplicat în mai multe straturi.

Pornind de la succesiunea depunerilor de la nivelul podinii, putem presupune că podeaua a fost reamenajată de câteva ori. În încăperea nordică, inițial, a fost amenajată o platformă din lemn, ulterior fiind acoperită cu straturi de lut galben bățătorit (fig. 27/1, 5). În încăperea sudică podeaua a fost realizată din pământ bățătorit.

După degajarea ruinelor construcției, în colțul de sud-est al încăperii sudice<sup>7</sup>, la adâncimea de 0,8 m a fost descoperită *groapa 3/2019* (fig. 4; 27/1). Ea avea formă cilindrică cu diametrul de 0,8×1,1 m și adâncimea de 0,88 m. Umplutura gropii era formată dintr-un sol ars, în care se

aflau fragmente mici de lut ars, trei fragmente de ceramică și 27 fragmente de oase de animale.

În colțul de est al încăperii nordice, la adâncimea de 0,6 m a fost atestată o pată de sol de culoare cenușie-închisă, cu dimensiunile de 1,0×1,5 m, în care au fost descoperite mai multe fragmente de oase umane (fig. 27/1; 28/1). Acestea erau dispersate, neavând o conexiune anatomică. Autoarea studiului antropologic al acestor resturi osteologice constată, că osemintele provin de la un bărbat cu vârsta biologică în momentul decesului de circa 60 de ani<sup>8</sup>.

La cca 2,4 m nord de construcție, la adâncimea de 0,6 m a fost descoperit un vas plin cu cenușă<sup>9</sup> și mici fragmente de oase de animale (fig. 27/1; 28/8, 9). În jurul vasului au fost descoperite patru gropi, a căror funcționalitate este neclară la momentul de față. Acestea au diametrul de cca 0,15-20 m și adâncimea de 0,10 m (fig. 19). Lângă vas, la 0,30 m sud-est, s-au păstrat urmele unei instalații de foc (vatră?) de formă ovală, cu dimensiunile de 0,35×0,50 m. Spre sud, la cca 0,6 m, a fost descoperită o aglomerație din oase arse de animale și fragmente ceramice, care erau depuse la gura unei gropi<sup>10</sup>, probabil, aferente construcției (fig. 27/1; 28/8).

Ca urmare a investigațiilor arheologice printre ruinele locuinței au fost descoperite: un fragment de cuțit din fier (cat. nr. I.10; fig. 29/9), o străpungătoare din fier (cat. nr. I.17; fig. 29/10), două fibule din fier (cat. nr. I.26-27; fig. 29/13, 14), o aplică din bronz (cat. nr. I.30; fig. 29/11), o brățară din bronz (cat. nr. I.31; fig. 29/12), opt vârfuri de săgeată din bronz (cat. nr. I.36-43; fig. 29/1-8), două străpungătoare din os (cat. nr. II.15-16; fig. 29/15, 16), un fragment de creuzet din piatră de calcar (cat. nr. III.17; fig. 30/1), un fragment de piatră de râșniță (cat. nr. III.18; fig. 31/10), trei percutoare din piatră de gresie (cat. nr. III.22-24; fig. 30/7-9), cinci lustruitoare din piatră (cat. nr. III.28-32; fig. 30/1-6), nouă cute (cat. nr. III.46-55; fig. 31/1-6), 11 fusaiole (cat. nr. IV.50-60; fig. 32), 456 fragmente de ceramică (fig. 33-36; 49/4, 5), bucăți de lut ars și 498 fragmente de oase de animale.

<sup>8</sup> Pentru mai multe detalii despre studiul antropologic, vezi: Nagacevski et al., pag. 333-336, fig. 6-7, din numărul de față al revistei.

<sup>9</sup> Rezultatele cercetărilor pedologice ale probei de sol prelevate din vasul-urnă sunt publicate în: Nagacevski et al., pag. 327, tabelul 2, din numărul de față al revistei.

<sup>10</sup> Groapa 9/2018.

<sup>7</sup> În construcție nu au fost găsite dovezi clare despre existența unei instalații de foc. O vatră deschisă ar fi putut funcționa în partea centrală a încăperii sudice, unde a fost descoperită o aglomerație de sol ars amestecat cu moloz ars, lut ars și pietre (fig. 27/5).

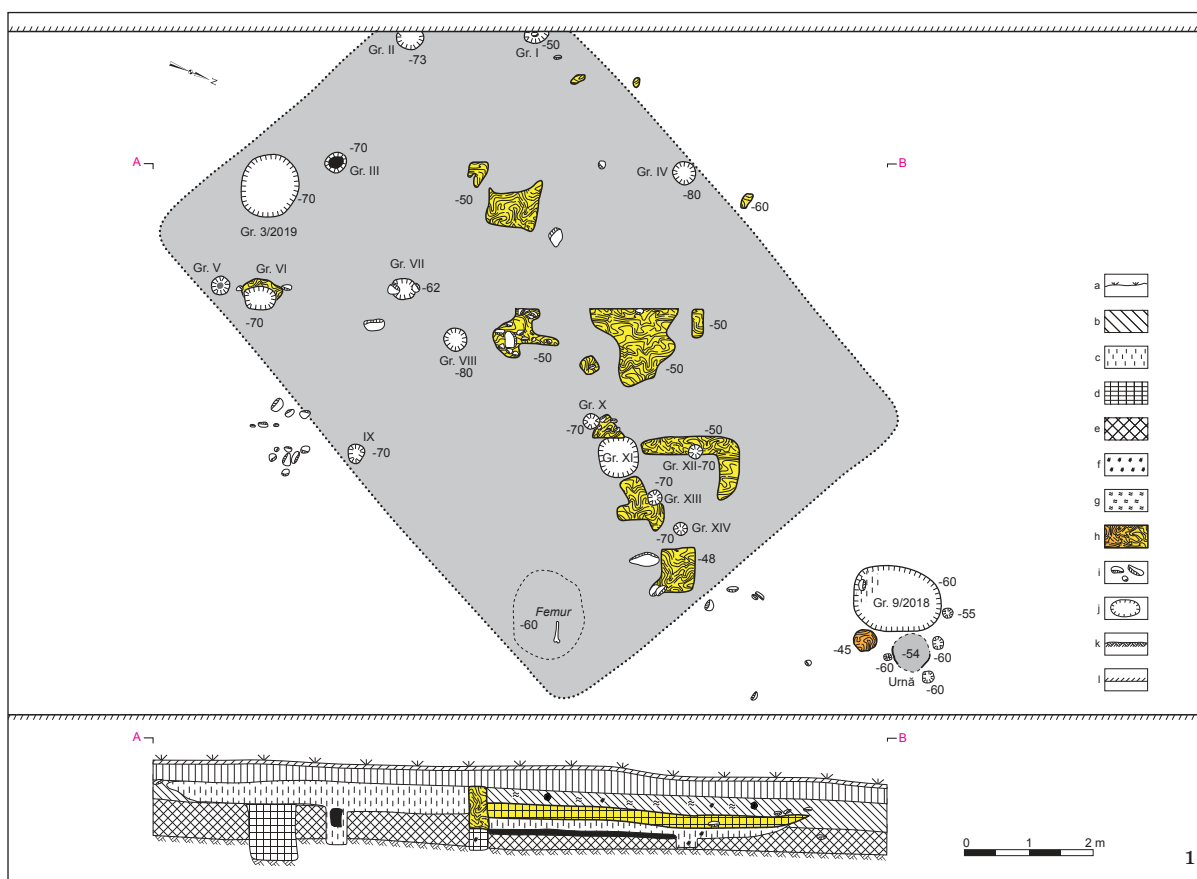


Fig. 27. Construcția 3/2017-2019: 1 - planul și profilul; 2-6 - ruinele construcției.



Fig. 28. Construcția 3/2017-2019: 1 - femur uman *in situ*; 2, 4, 7 - vase descoperite *in situ* printre ruinele construcției; 3 - aglomerație de oase de animale, ceramică și pietre de la nivelul podinei; 5, 6 - groapă de par (III); 8 - amenajări exterioare construcției; 9 - vas-urnă, detaliu.

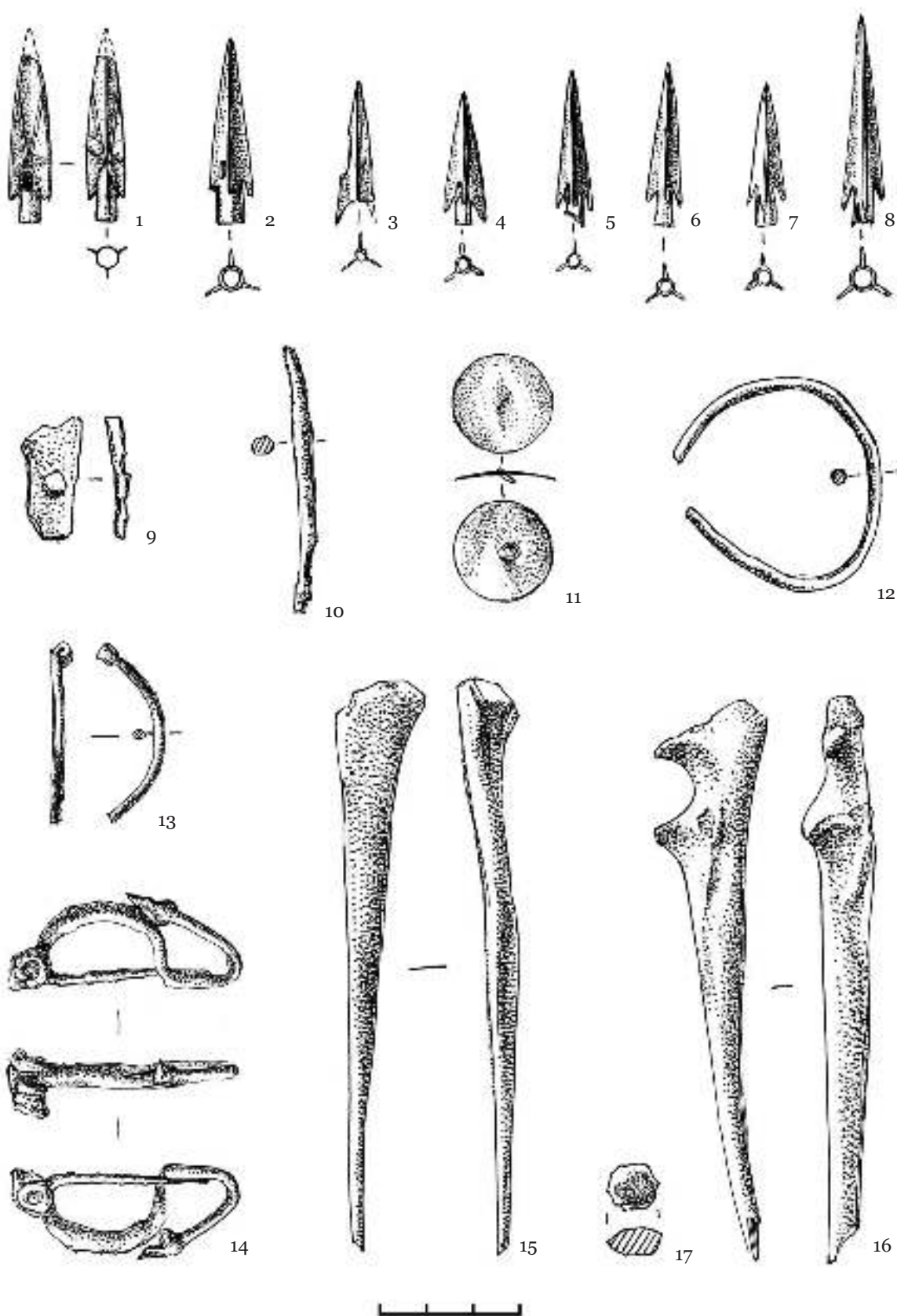


Fig. 29. Construcția 3/2017-2019. Piese de inventar (1-8, 11, 12 - bronz; 9, 10, 13, 14 - fier; 15, 16 - os; 17 - scoică).

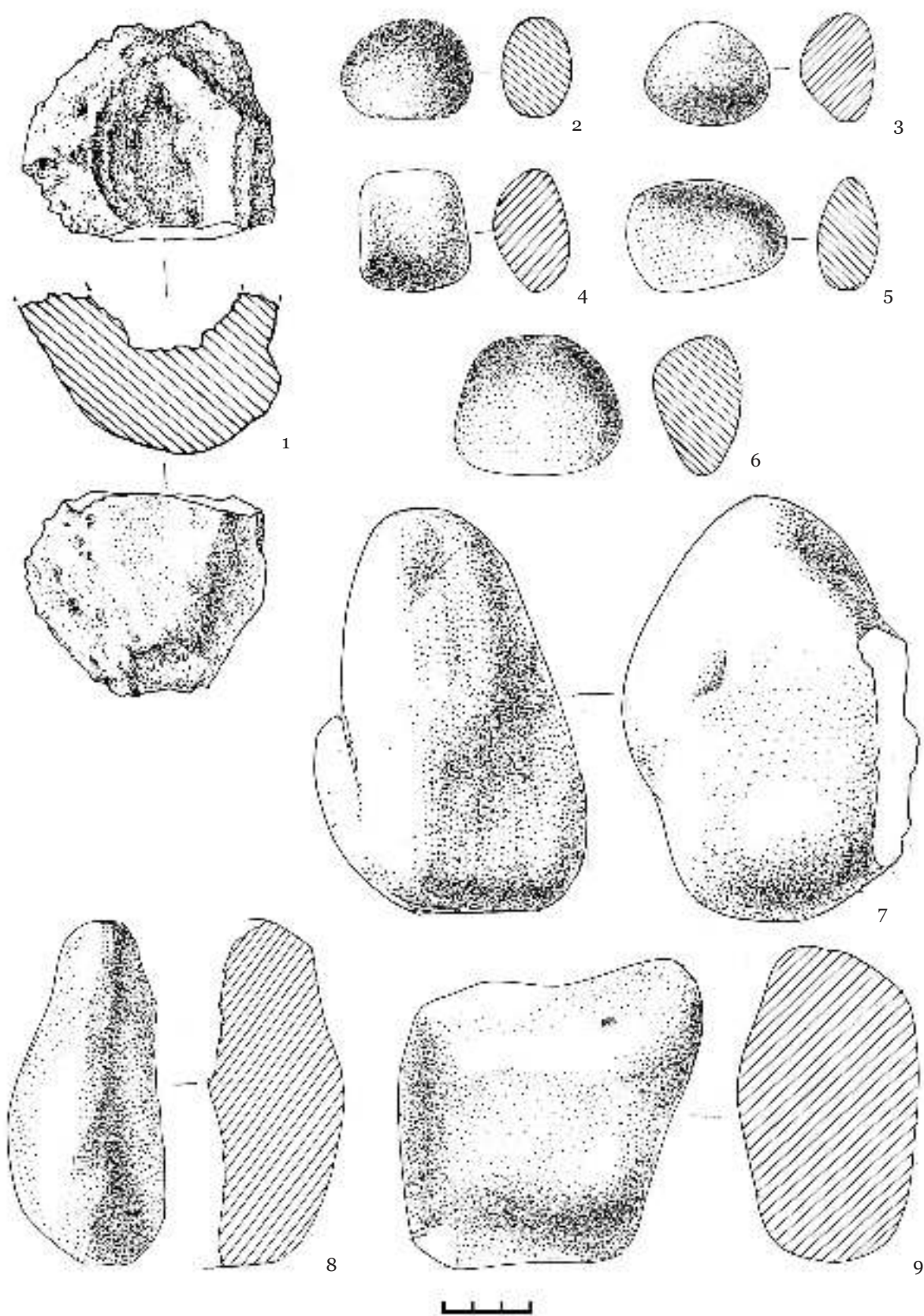


Fig. 30. Construcția 3/2017-2019. Piese de inventar (1 - calcar; 2-8 - piatră de râu).



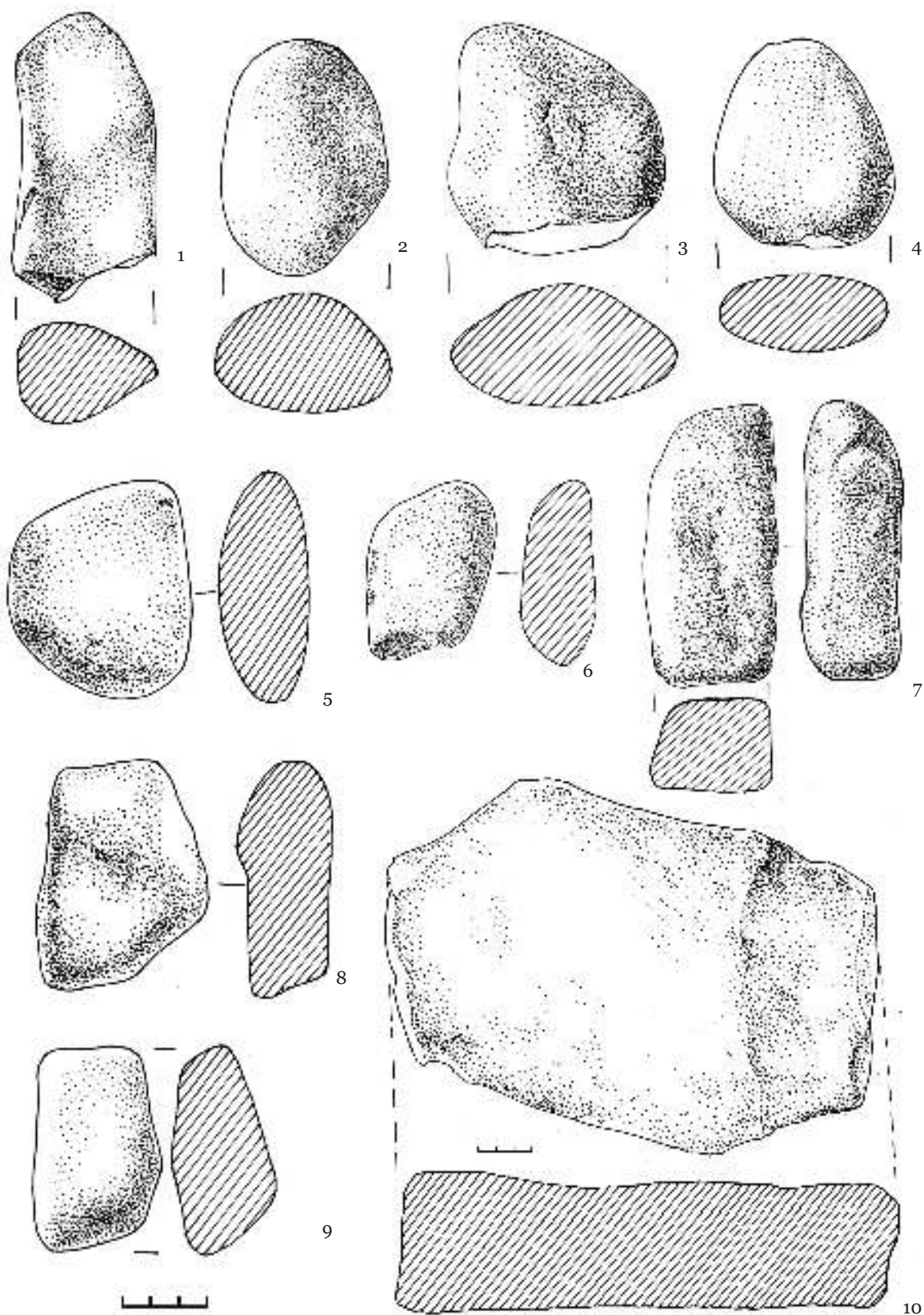


Fig. 31. Construcția 3/2017-2019: 1-9 - cute; 10 - piatră de râșniță.

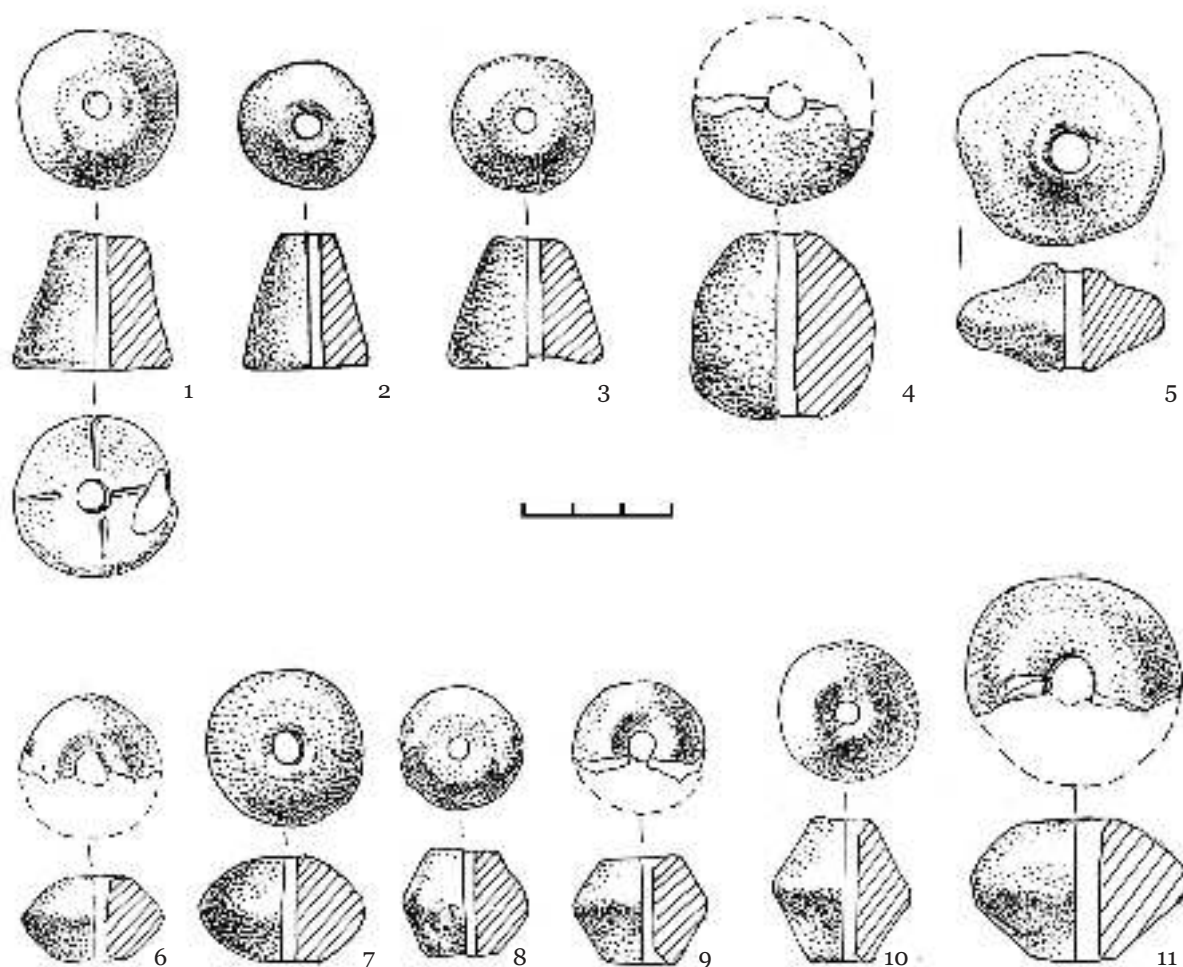


Fig. 32. Construcția 3/2017-2019. Fusaiole

Ceramica recuperată din construcție este reprezentată de fragmente, sau recipiente grafic întregibile, confecționate cu mâna, precum și la roata olarului.

Din categoria vaselor modelate cu mâna se evidențiază o serie de vase miniaturale (fig. 28/2, 4; 33/1-5), asemănătoare celor descoperite anterior în fortificația Saharna Mare (Niculiță, Zanoci, Arnăuț 2008, fig. 138/1-5; Niculiță, Zanoci, Băț 2016, fig. 161/2-7). Asemenea recipiente fiind cunoscute în majoritatea siturilor traco-getice, cum ar fi, de exemplu: Saharna Mică (Niculiță, Zanoci, Băț 2016, fig. 210/4-7), Alcedar „La Cordon” (Haheu 1998, fig. 7), Butuceni (Niculiță, Teodor, Zanoci 2002, fig. 97-98) etc. Din construcție provine și un număr impresionant de fragmente de străchini (fig. 34), care sunt de diferite tipuri și

dimensiuni. Acestea sunt similare veselei descoperite și în alte structuri arheologice, precum și în stratul cultural de la Saharna Mare (Niculiță, Zanoci, Arnăuț 2008, fig. 128-137; Niculiță, Zanoci, Băț 2016, fig. 162-164). De asemenea, sortimentul de oale este destul de bogat și variat (fig. 35/1-8; 36), care, însă, nu se deosebește de cel atestat în alte construcții, gropi, precum și în stratul cultural atribuit comunităților traco-getice din microzona Saharna.

Ceramica lucrată la roata olarului este reprezentată de fragmente de amfore grecești, în special, pereți. Din această categorie se evidențiază două fragmente de toarte de amforă, una de producție thasiană (fig. 49/4) și, cea de-a doua, produsă într-un centru mediteranean nedeterminat (fig. 49/5).

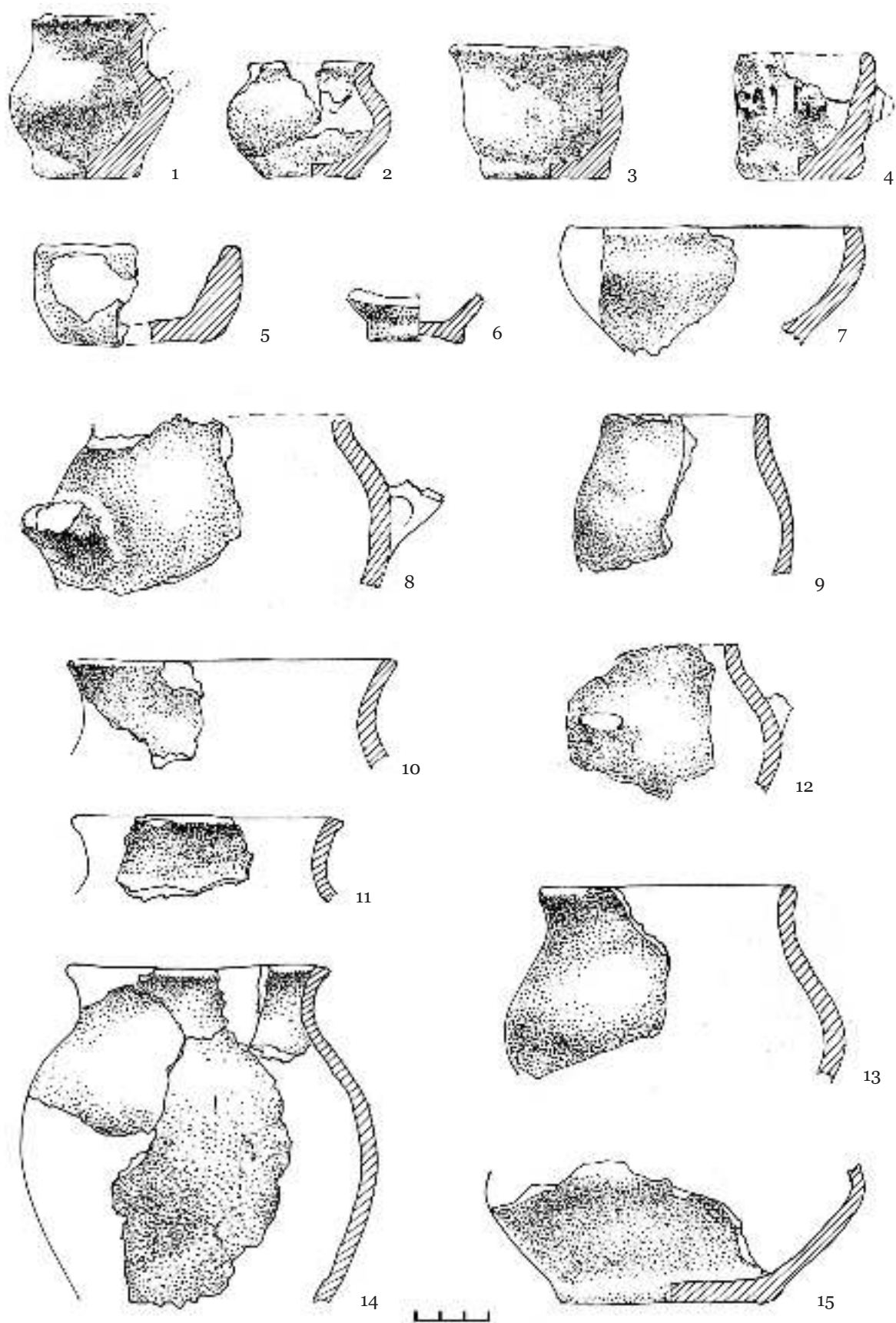


Fig. 33. Construcția 3/2017-2019. Fragmente de vase ceramice.

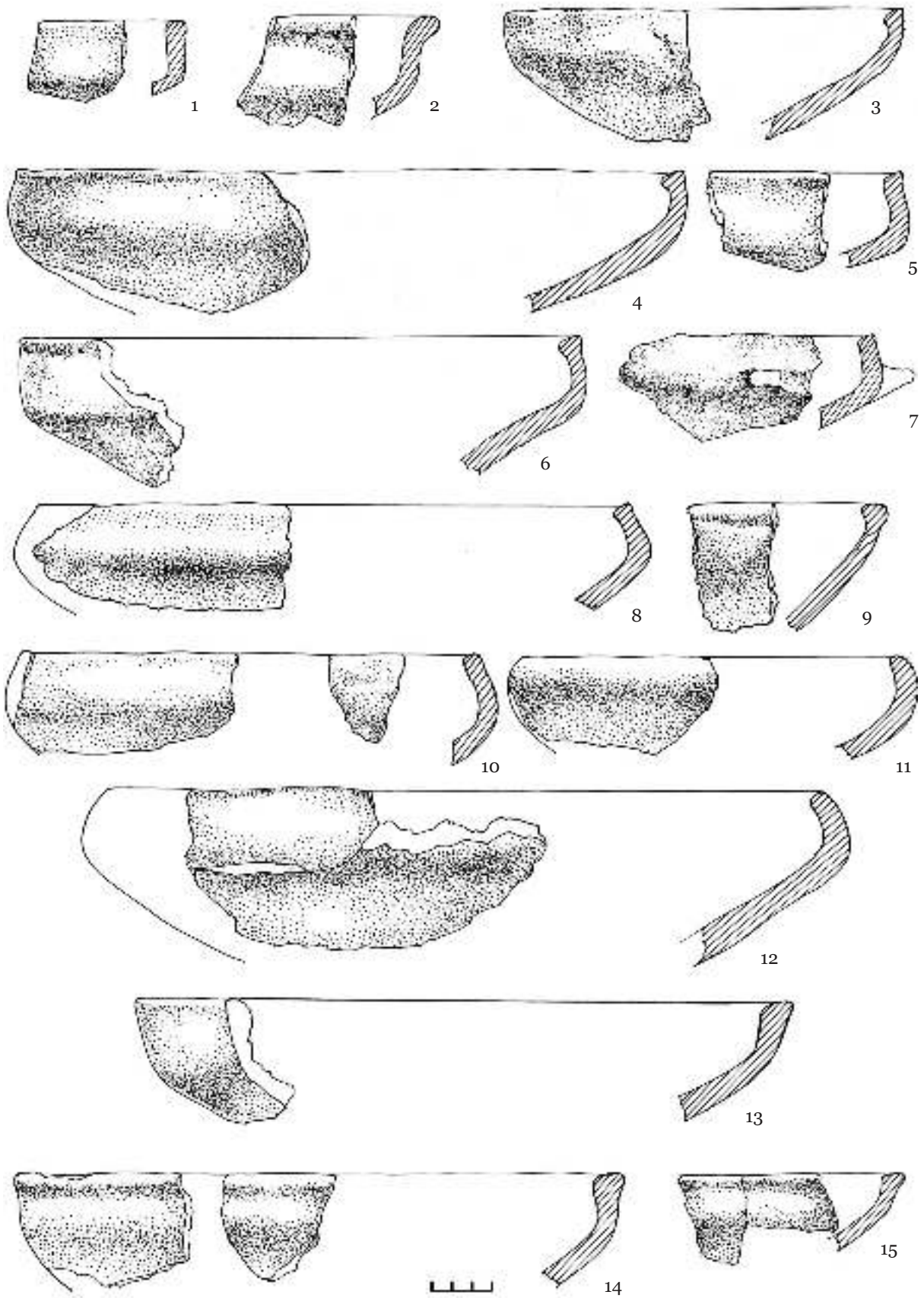


Fig. 34. Construcția 3/2017-2019. Fragmente de străchini.

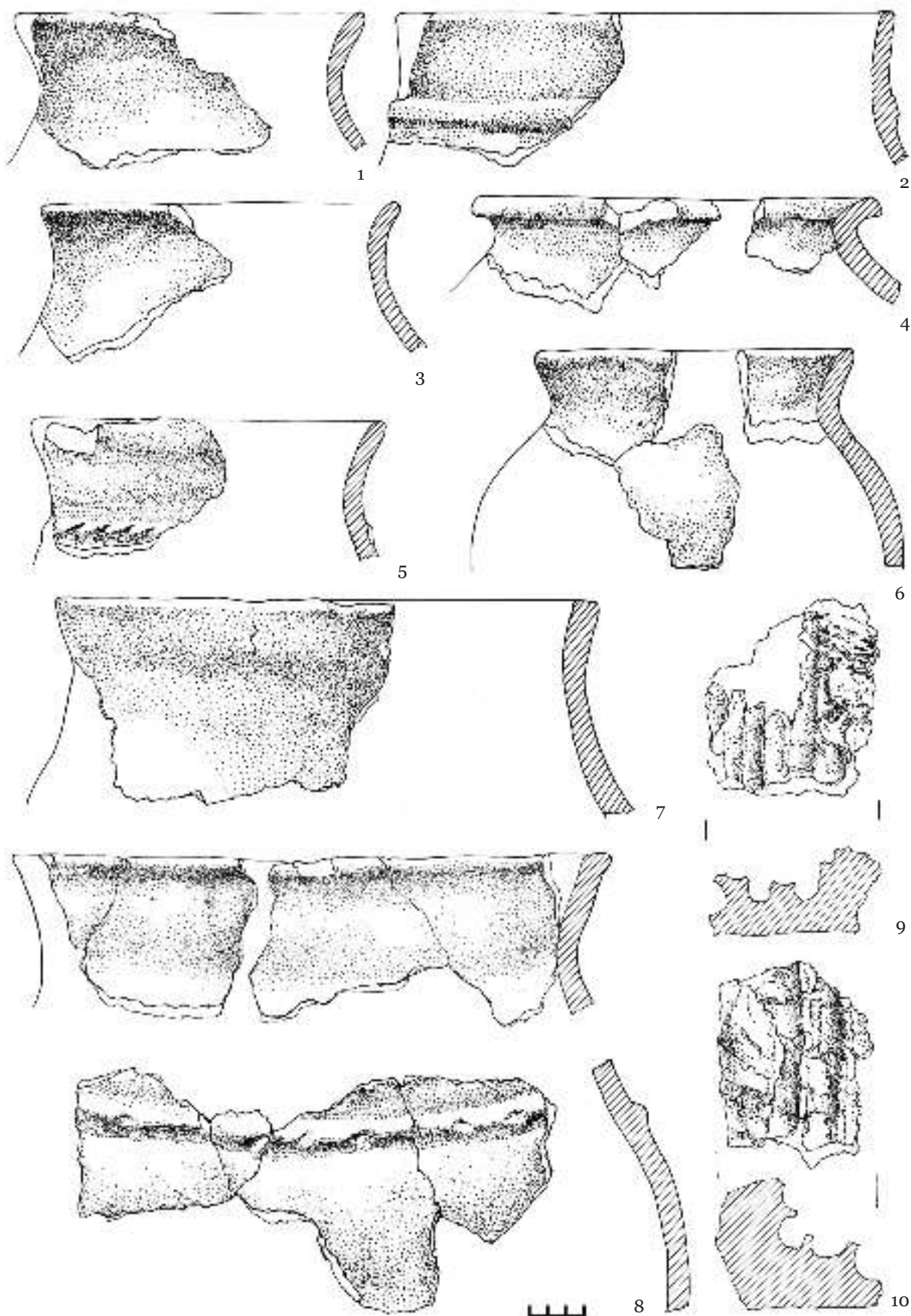


Fig. 35. Construcția 3/2017-2019: 1-8 - fragmente de oale; 9, 10 - fragmente de lut ars cu urme de nuiiele.

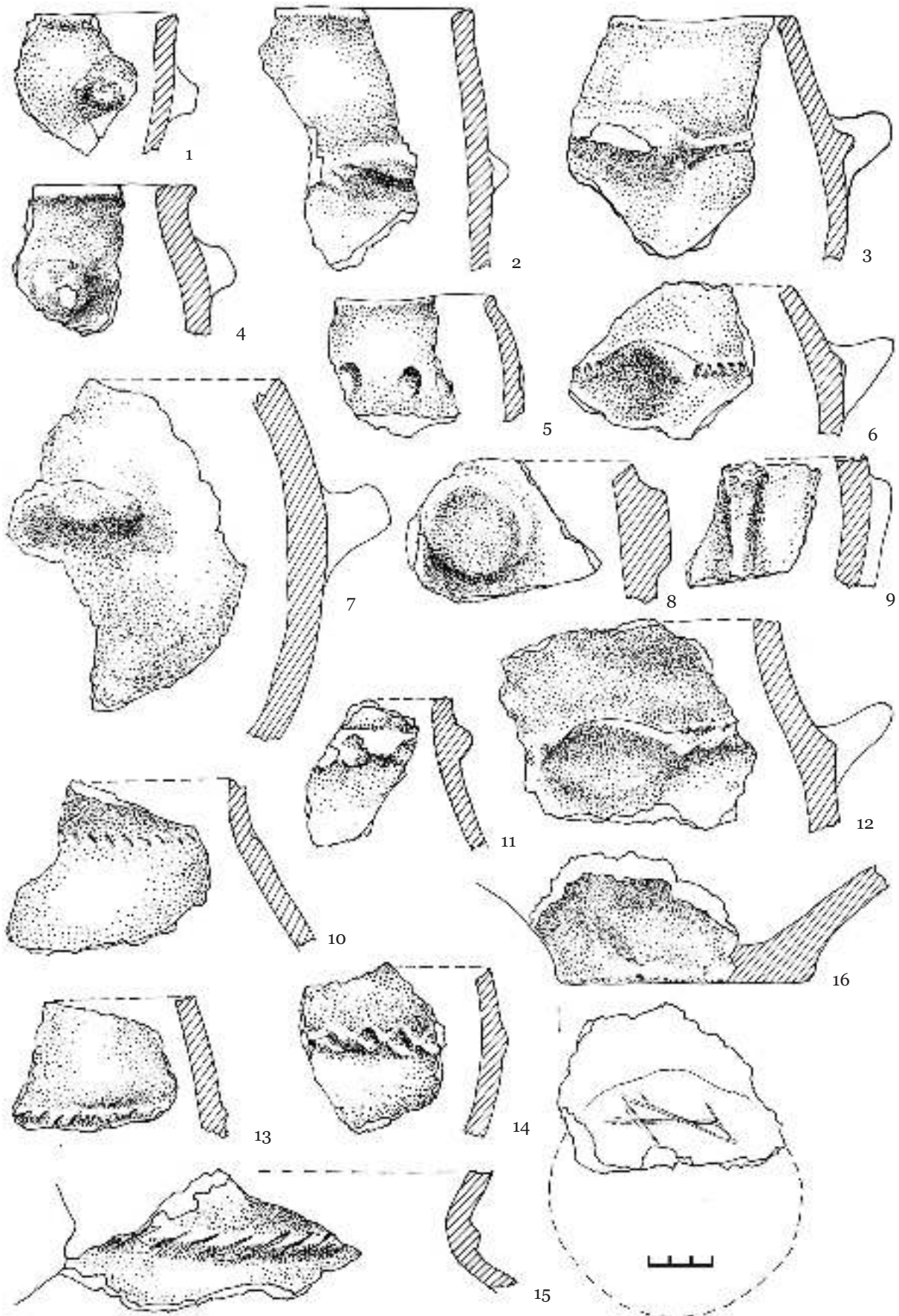


Fig. 36. Construcția 3/2017-2019. Fragmente de oale.

*Groapa 1/2017* a fost descoperită în secțiunea 29, la adâncimea de 0,4 m (fig. 4; 37/1). A fost cercetată incomplet, însă după cum reiese din partea investigată, groapa era de formă cilindrică cu diametrul de 0,9 m și adâncimea de 1,34 m. Emplectonul gropii consta din sol ars în amestec cu pietre.

*Inventar:* o cute (cat. nr. III.33; fig. 37/4) și cinci fragmente de ceramică traco-getică (fig. 37/5-7).

*Groapa 2/2017* a fost surprinsă în secțiunea 29, la adâncimea de 0,57 m (fig. 4; 37/2). Groapa avea formă cilindrică cu diametrul de 1 m și adâncimea de cca 0,5 m. Groapa a fost umplută cu sol ars.

*Inventar:* nouă fragmente de ceramică traco-getică (fig. 37/8-15) și 11 fragmente de oase de animale.

*Groapa 4/2017* a fost atestată în secțiunea 29, la adâncimea de 0,54 m (fig. 4; 37/3). Ea avea formă cilindrică cu diametrul de 1,4 m și adâncimea de 0,7 m. Emplectonul gropii consta din sol cenușiu.

*Inventar:* o străpungătoare din fier (cat. nr. I.15; fig. 37/16), 20 fragmente de ceramică traco-getică (fig. 37/17-24) și 17 fragmente de oase de animale.

*Groapa 7/2017* a fost surprinsă în secțiunea 29, la adâncimea de 0,70 m (fig. 4; 38/1). Groapa a avut formă cilindrică cu diametrul de 1,3 m și adâncimea de 1 m. Emplectonul consta din trei lentile dispuse succesiv. Prima lentilă, compusă din sol cenușiu, avea grosimea de 0,3 m, a doua – din argilă – 0,25 m, a treia, cu grosimea de 0,4 m, consta din sol de culoare cenușie.

*Inventar:* o fusaiolă (cat. nr. IV.46; fig. 38/3), cinci fragmente de ceramică traco-getică (fig. 38/4-7) și 14 fragmente mici de oase de animale.

*Groapa 9/2017* a fost atestată în secțiunea 29, la adâncimea de 0,78 m (fig. 38/2). A fost cercetată incomplet, însă după cum reiese din partea investigată, ea avea formă cilindrică cu diametrul de 1,2 m și adâncimea de 0,6 m. Emplectonul gropii consta din sol castaniu.

*Inventar:* 20 fragmente de ceramică lucrată cu mână (fig. 38/8-14). Dintre acestea se evidențiază fragmente de la o strachină cu trunchiul tronconic și buza verticală. Pe linia diametrului maxim al trunchiului ea era prevăzută cu suporturi segmentoidale (fig. 38/8). Diametrul gurii era de 30 cm, diametrul maxim al trunchiului – 31 cm,

iar înălțimea nu depășea 11 cm. În groapă au mai fost descoperite șase fragmente de oase de animale.

*Groapa 1/2018* a fost atestată în secțiunea 30, la adâncimea de 0,4 m (fig. 4; 39/1). Ea avea formă de clopot cu diametrul gurii de 1,2×1,4 m, al fundului – de 2,0 m și adâncimea de 1,2 m. Emplectonul gropii consta din sol cenușiu în amestec cu pietre.

*Inventar:* o fusaiolă (cat. nr. IV.49; fig. 39/3), o străpungătoare din os (cat. nr. II.12; fig. 39/2), 25 fragmente de ceramică traco-getică și 175 fragmente de oase de animale. Din sortimentul vaselor se evidențiază fragmente de oale (fig. 39/4-13, 16, 17) și străchini (fig. 39/14, 15).

*Groapa 2/2018* a fost depistată în secțiunea 30, la adâncimea de 0,35 m (fig. 4; 40/1). Ea avea forma cilindrică cu diametrul gurii de 1,2 m și adâncimea de 0,4 m. Emplectonul gropii consta din sol cenușos.

*Inventar:* cinci fragmente de ceramică traco-getică (fig. 40/5-8), 50 fragmente de oase de animale.

*Groapa 6/2018* a fost surprinsă în secțiunea 30, la adâncimea de 0,4 m (fig. 4; 40/2). Complexul a fost investigat parțial, o parte a lui conținând în afara secțiunii. Însă, conform profilului, s-a putut stabili că groapa a avut formă cilindrică cu diametrul de 1,6 m și adâncimea de 1,2. Ea a fost umplută cu sol cenușiu.

*Inventar:* 18 fragmente de oase de animale.

*Groapa 8/2018* a fost atestată în secțiunea 30, la adâncimea de 0,4 m (fig. 4; 40/3). A fost cercetată incomplet, însă după cum reiese din partea investigată, ea avea formă cilindrică cu diametrul de 0,92 m și adâncimea de 1,1 m. Emplectonul gropii consta din sol cenușiu în amestec cu pietre.

*Inventar:* patru fragmente de ceramică traco-getică (fig. 40/9, 10) și opt fragmente de oase de animale.

*Groapa 9/2018* a fost descoperită în secțiunea 30, la adâncimea de 0,6 m (fig. 4; 41/1). Ea avea formă de clopot cu diametrul gurii de 1,4 m, al fundului – de 1,8 m, iar adâncimea de 1 m. Emplectonul reprezenta sol cenușiu în amestec cu cenușă.

*Inventar:* o lamă de cuțit din fier (cat. nr. I/11; fig. 41/2), 25 fragmente de ceramică traco-getică (fig. 41/3-12) și 89 fragmente de oase de animale.

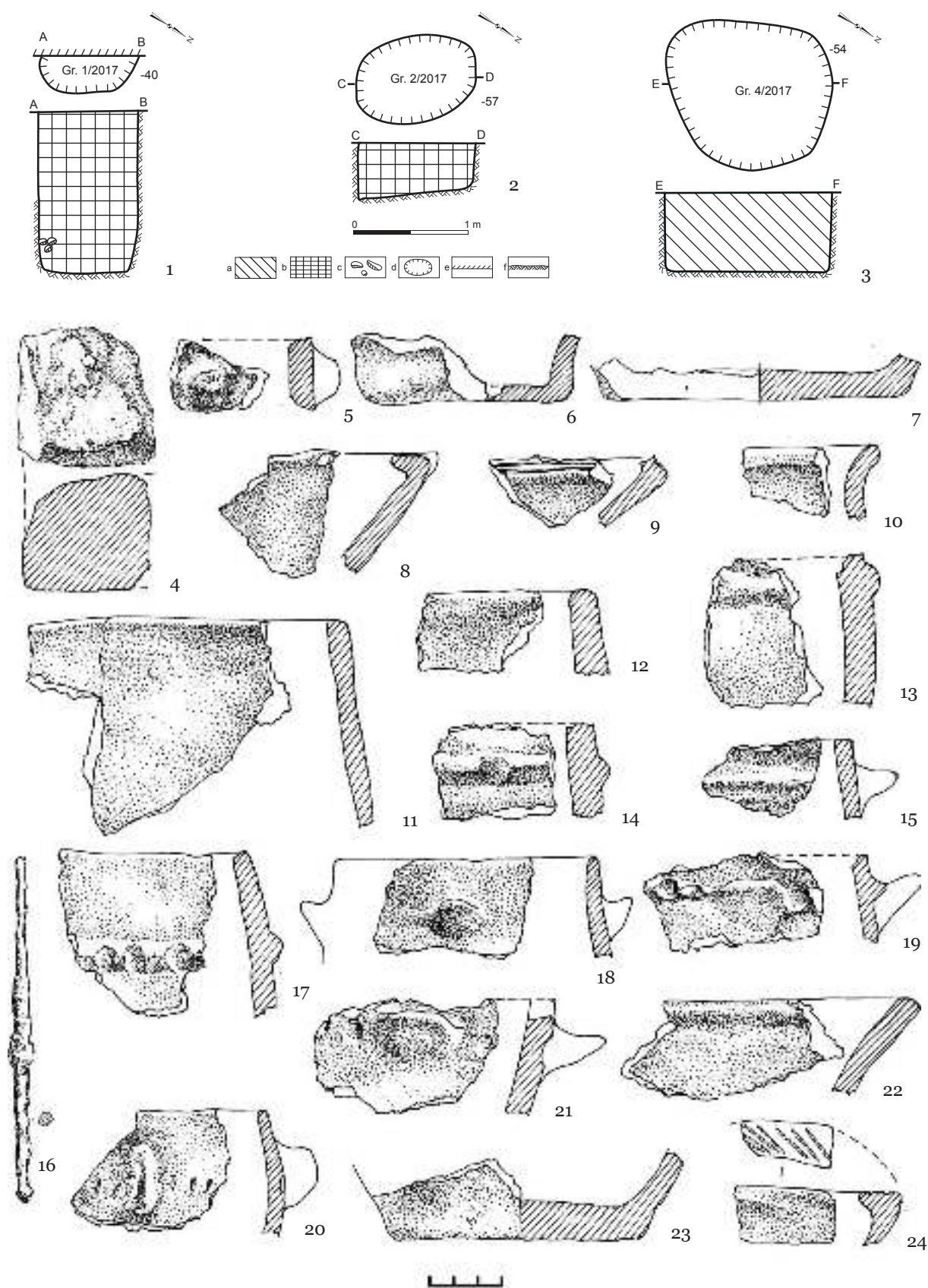


Fig. 37. Gropi din perioada traco-getică: 1, 4-7 - groapa 1/2017; 2, 8-15 - groapa 2/2017; 3, 16-24 - groapa 4/2017  
 (Legenda: a. sol cenușiu; b. sol ars; c. pietre; d. conturul gropilor; e. limita secțiunii; f. strat steril).



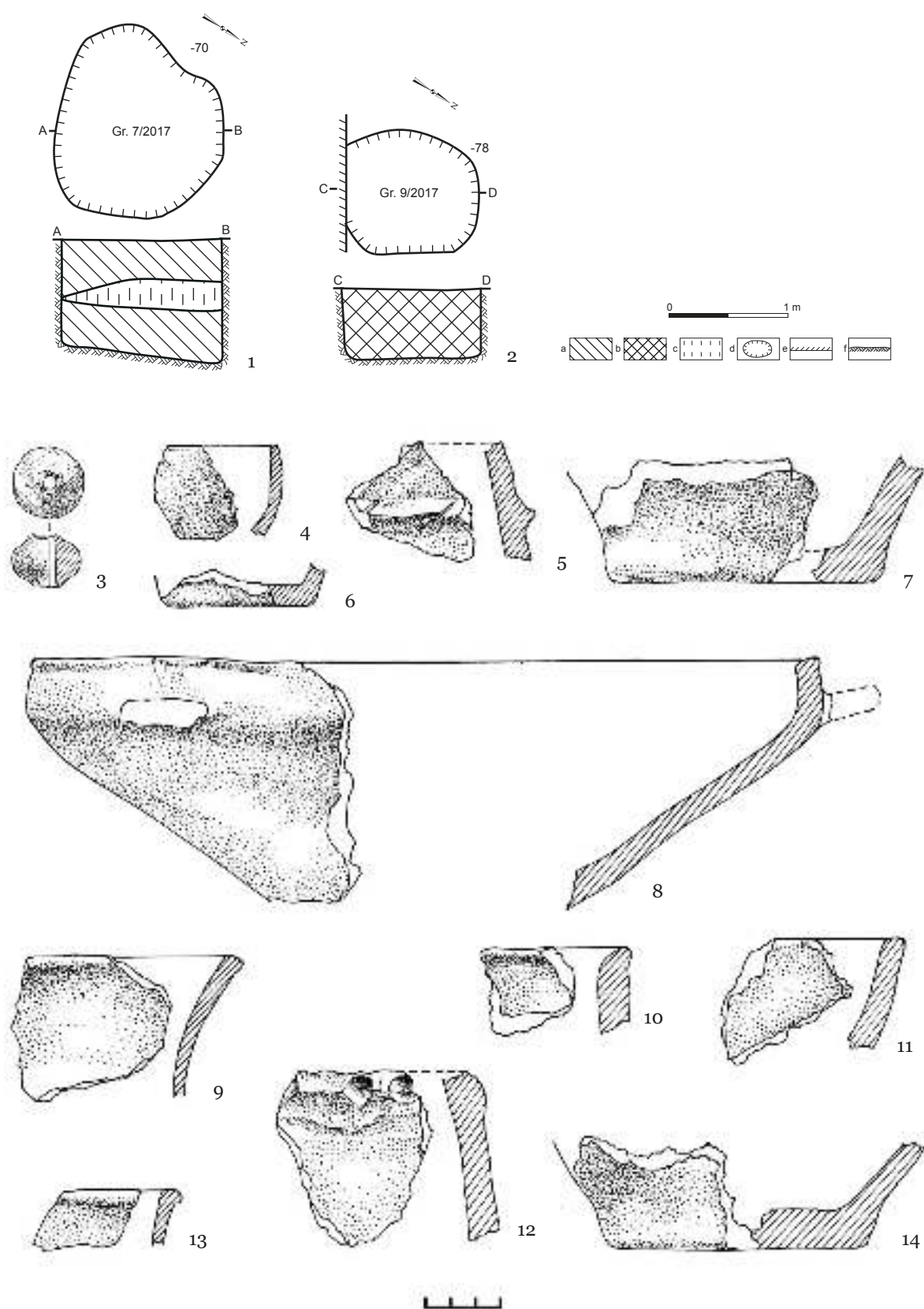


Fig. 38. Gropi din perioada traco-getică: 1, 3-7 - groapa 7/2017; 2, 8-14 - groapa 9/2017  
(Legenda: a. sol cenușiu; b. sol castaniu; c. sol argilos; d. conturul gropilor; e. limita secțiunii; f. strat steril).

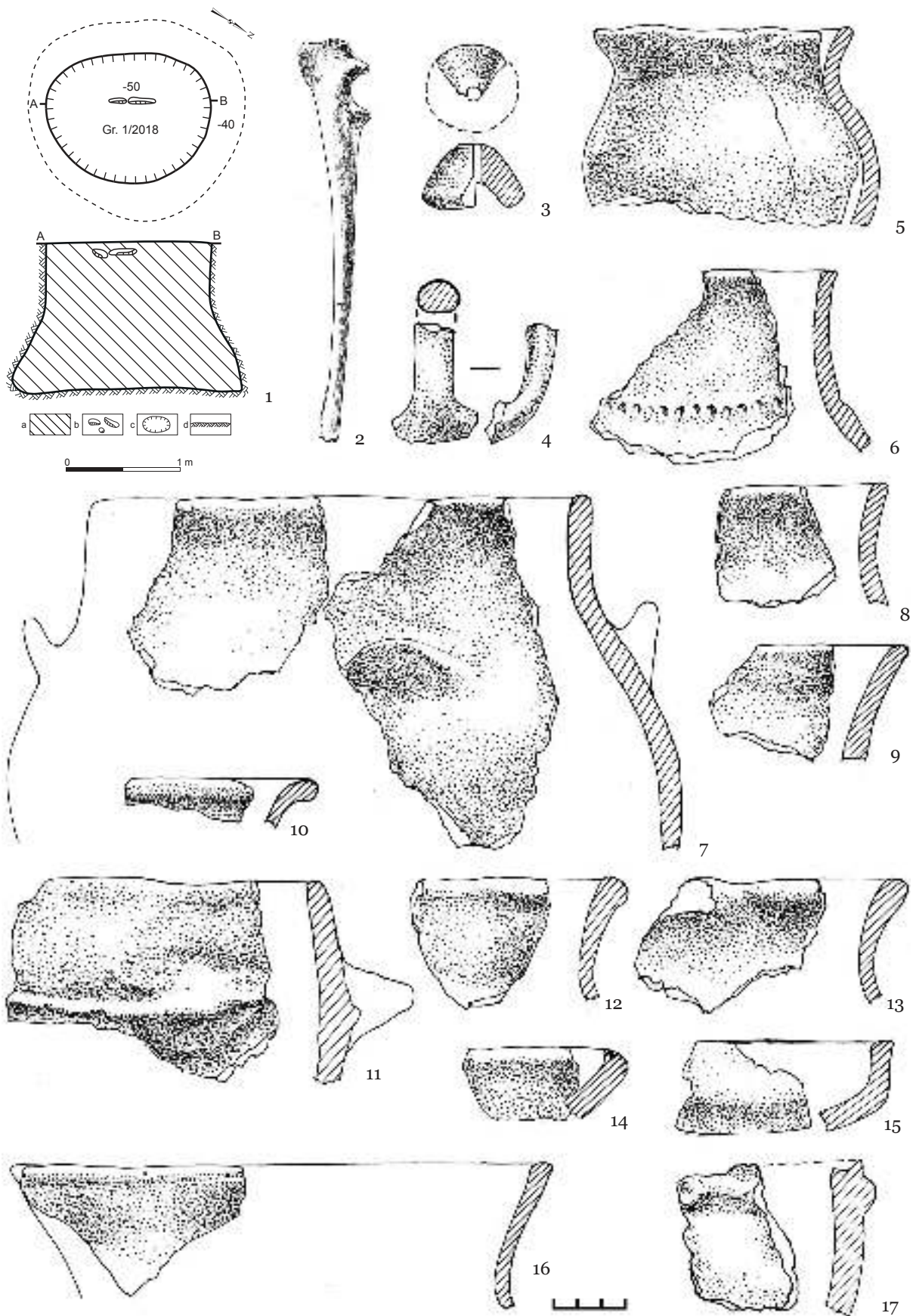


Fig. 39. Groapa 1/2018 (Legenda: a. sol cenușiu; b. pietre; c. conturul gropii; d. strat steril).

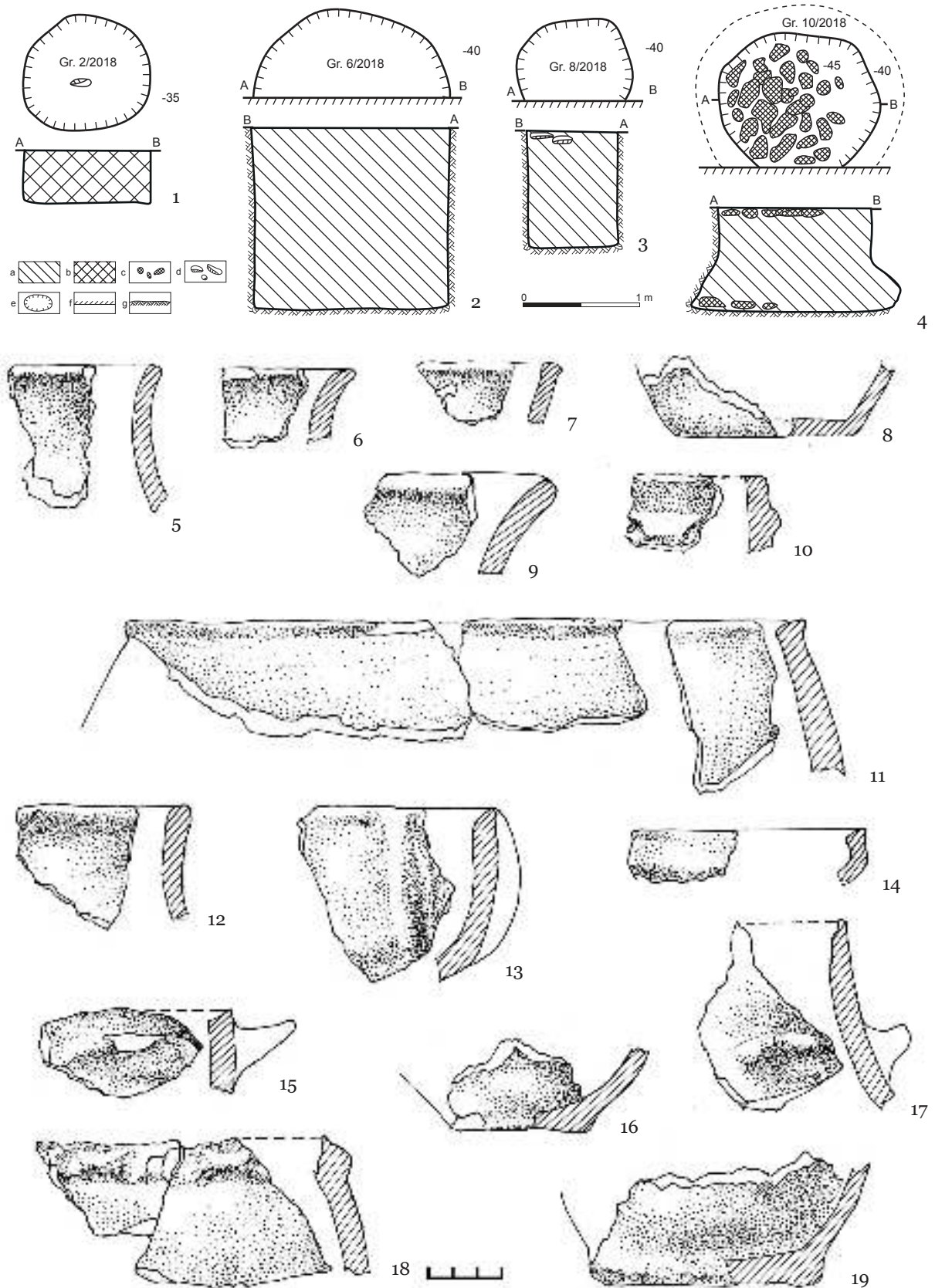


Fig. 40. Gropi din perioada traco-getică: 1, 5-8 - groapa 2/2018; 2 - groapa 6/2018; 3, 9, 10 - groapa 8/2018; 4, 11-19 - groapa 10/2018 (Legenda: a. sol cenușiu; b. sol castaniu; c. fragmente de vatră; d. pietre; e. conturul gropilor; f. limita secțiunii; g. strat steril).

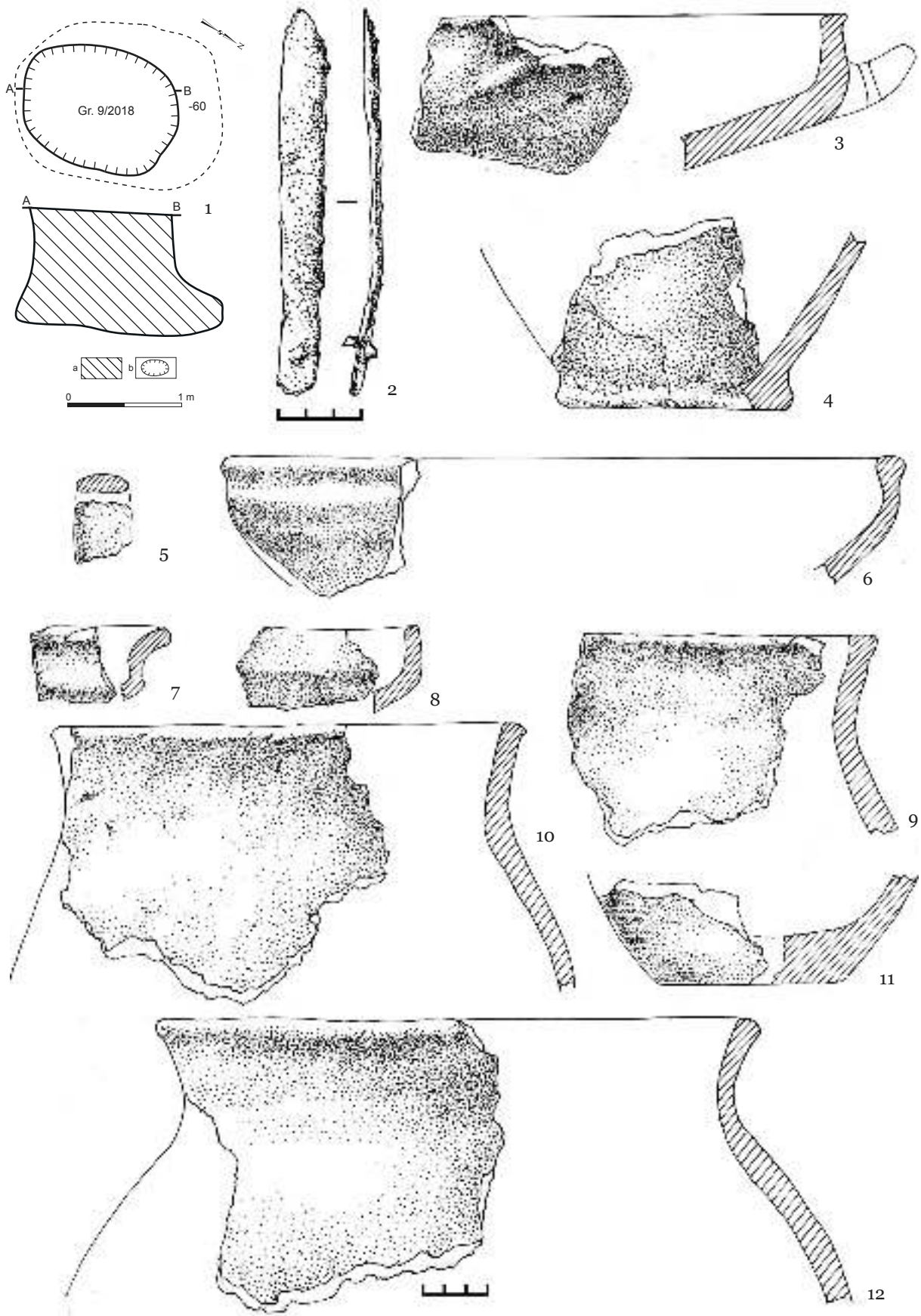


Fig. 41. Groapa 9/2018 (Legenda: a. sol cenușiu; b. conturul gropii).

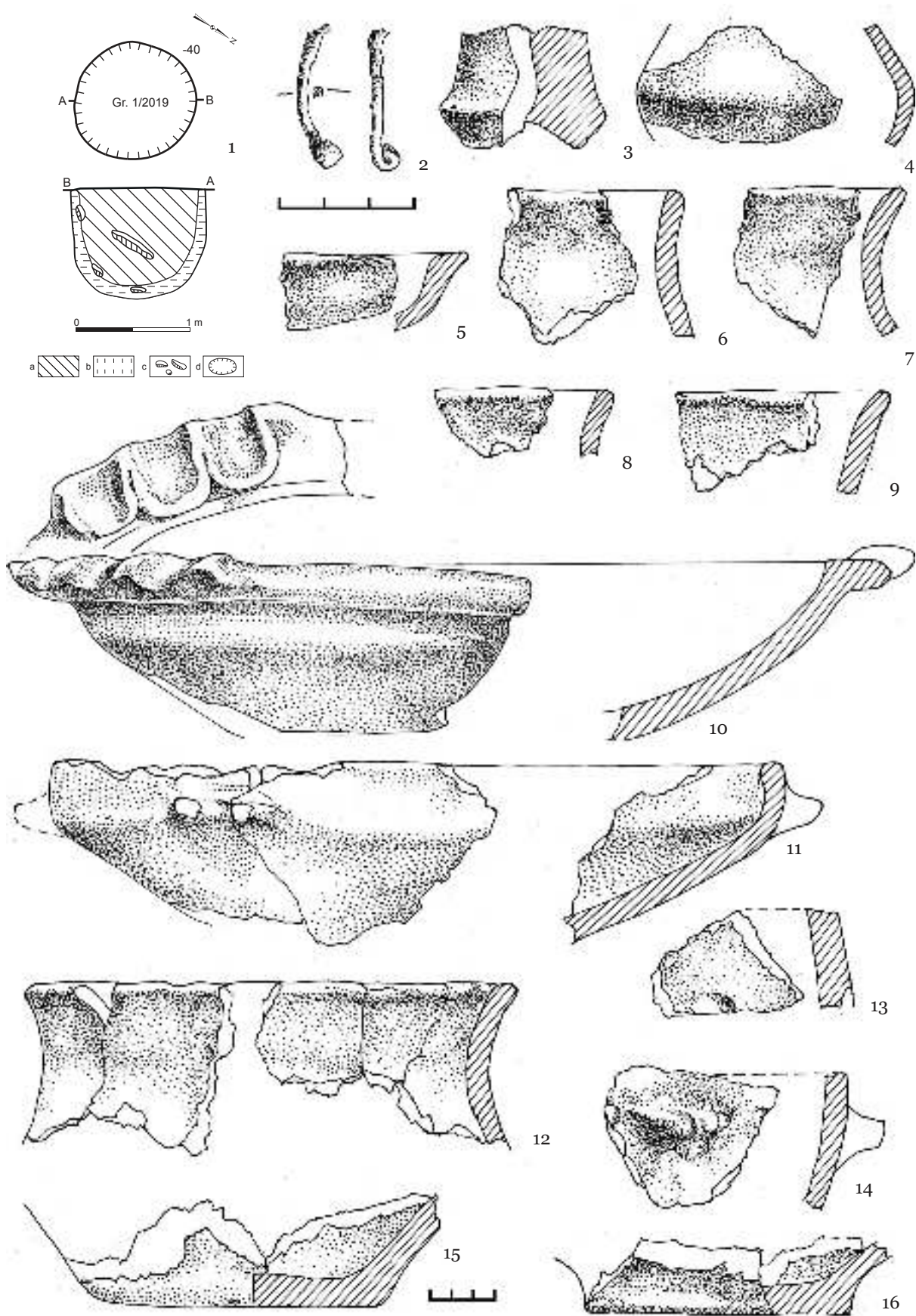


Fig. 42. Groapa 1/2019 (Legenda: a. sol cenușiu; b. sol argilos; c. pietre; d. conturul gropii; e. strat steril).

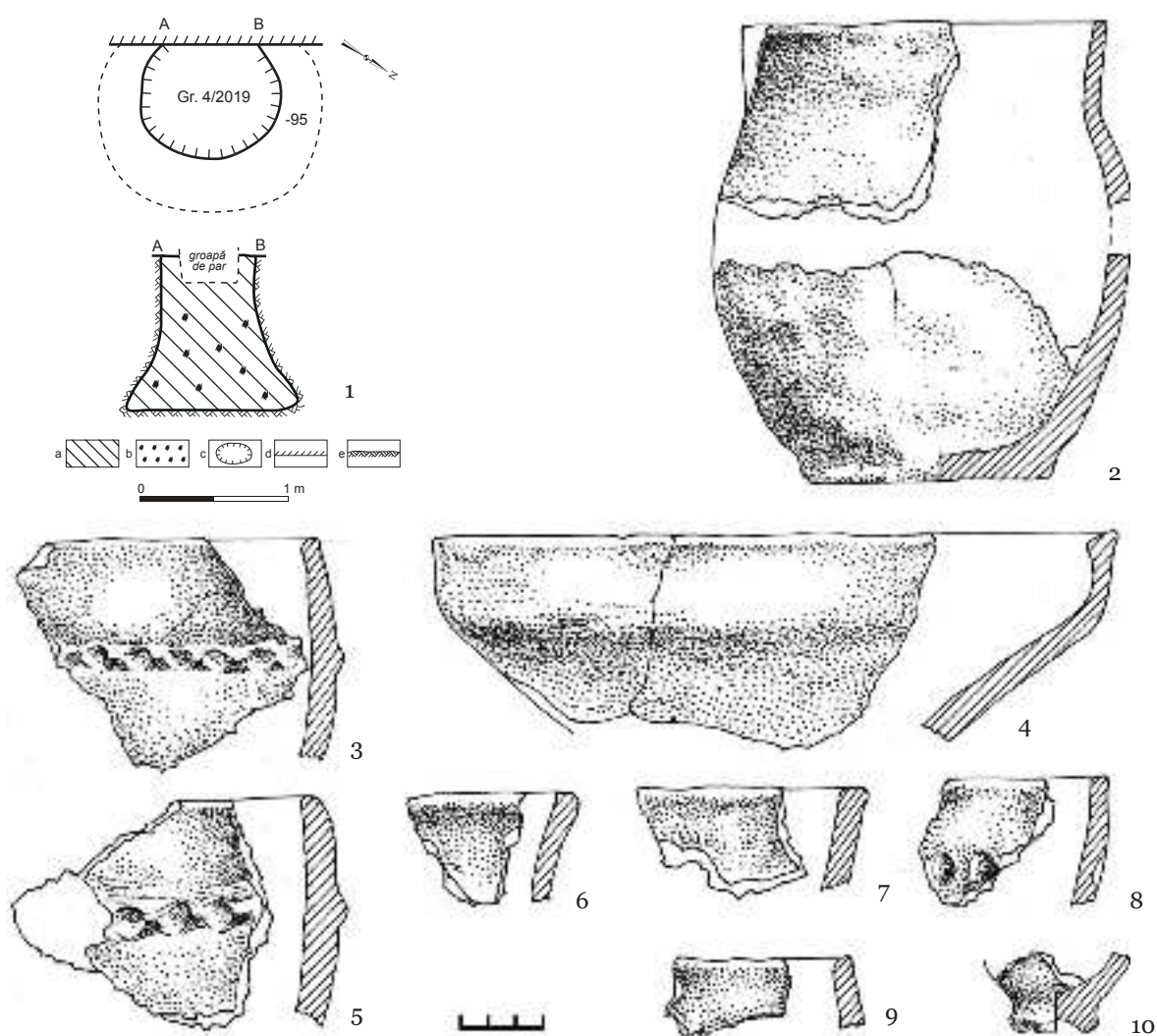


Fig. 43. Groapa 4/2019 (Legenda: a. sol cenușiu; b. fragmente de lemn ars; c. conturul gropii; d. limita secțiunii; e. strat steril).

*Groapa 10/2018* a fost depistată în secțiunea 30, la adâncimea de 0,4 m (fig. 4; 40/4). Ea a avut forma de clopot cu diametrul gurii de 1,4 m, cel al fundului de 1,6 m și adâncimea de 0,9 m. Emplectonul gropii consta din sol de culoare cenușie în amestec cu fragmente de lut ars.

*Inventar:* 40 fragmente de ceramică lucrată cu mână (fig. 40/11-19) și 42 fragmente de oase de animale. Din partea superioară a gropii au fost recuperate cca 35 fragmente de vatră, alte trei fragmente descoperite de la fundul gropii.

*Groapa 1/2019* a fost atestată în secțiunea 31, la adâncimea de 0,4 m (fig. 4; 42/1). Ea avea formă rotundă în plan cu diametrul de cca 1,0 m. Spre fund pereții erau arcuiți spre interior, astfel fundul având diametrul de cca 0,7 m. Groapa, cu adâncimea de cca 1,0 m, a fost umplută

cu sol argilos, pe margini, și cu sol cenușiu – în centru.

*Inventar:* un fragment de fibulă din fier (cat. nr. I/25; fig. 42/2), 60 fragmente de ceramică modelată cu mână (fig. 42/4-9, 11-16), un fragment de picior de amforă (fig. 42/3), un fragment de luteriu de Sinope (fig. 42/10) și 48 fragmente de oase de animale.

*Groapa 4/2019* a fost descoperită în secțiunea 31, la adâncimea de 0,95 m (fig. 4; 43/1). Ea a avut forma de clopot cu diametrul gurii de 0,65 m, cel al fundului de 1,15 m și adâncimea de 1,1 m. Emplectonul gropii consta din sol de culoare cenușie în amestec cu fragmente de lemn ars.

*Inventar:* 17 fragmente de ceramică (fig. 43/2-10) și 63 fragmente de oase de animale.

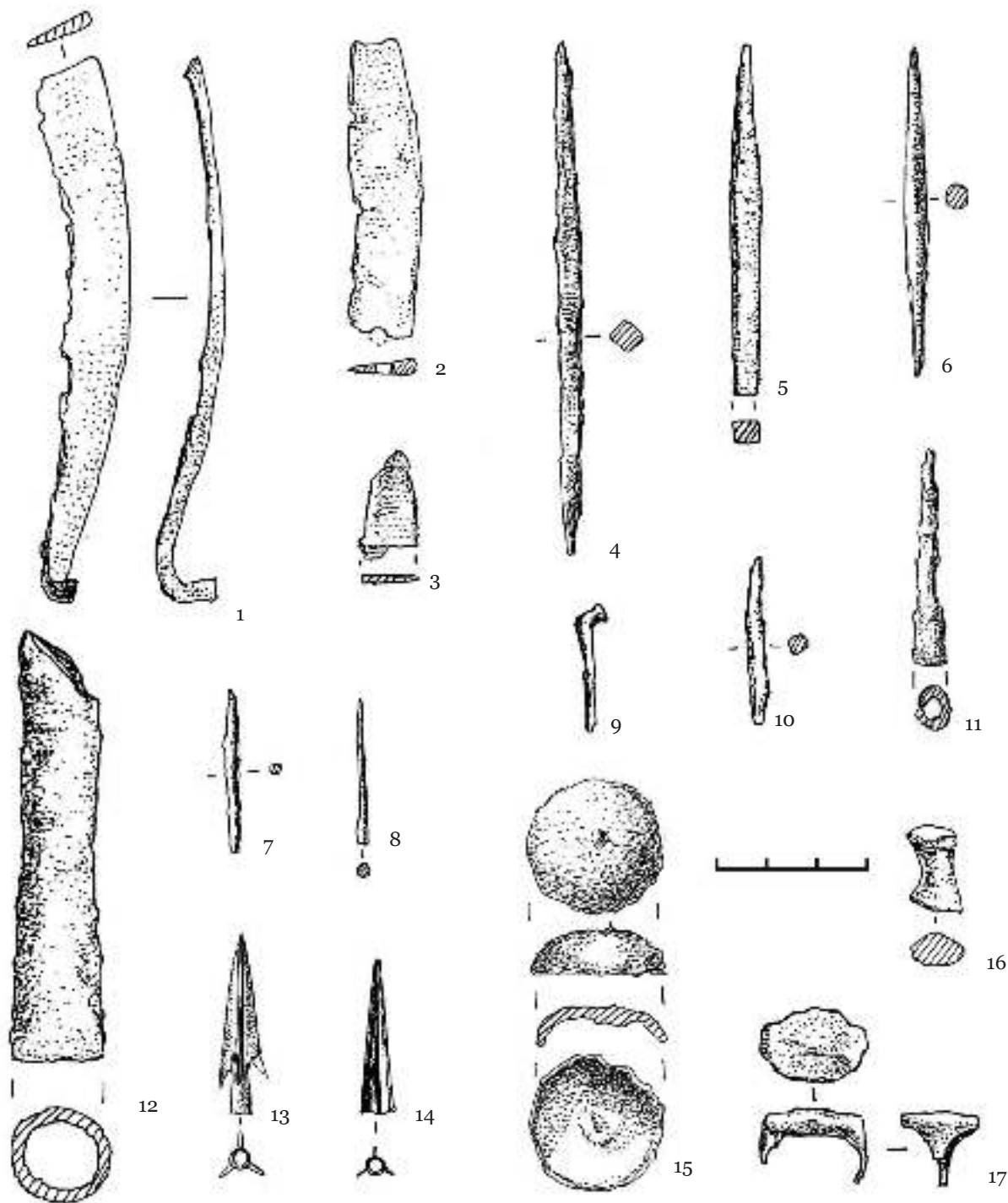


Fig. 44. Piese din metal din nivelul traco-getic (1-12, 15-17 - fier; 13, 14 - bronz).

\*\*\*

Atât în structurile arheologice, cât și în stratul cultural a fost descoperit un bogat și variat inventar arheologic, reprezentat de unelte de muncă, arme, piese de podoabă și ceramică, confecționate din diverse materii prime: fier, bronz, os, piatră și lut.

### ***Unelte și ustensile***

Uneltele și ustensilele din fier sunt reprezentate de o seceră (cat. nr. I.7; fig. 44/1), cinci lame de cuțit (cat. nr. I.8-12; fig. 21/1; 29/9; 41/2; 44/2, 3), șapte străpungătoare (cat. nr. I.13-19; fig. 29/10; 37/16; 44/4-7, 10) și un ac (cat. nr. I.20; fig. 44/8).

*Secera* avea curbura largă și era înzestrată cu un cârlig pentru înmănușare, dispus sub unghi față de lamă. Piese similare sunt atestate frecvent în așezările getice din sec. IV-III a. Chr., cum ar fi, de exemplu: Saharna Mică (Niculiță, Zanoci, Băț 2016, 285, fig. 200/1), Mășcăuți „Dealul cel Mare” (Zanoci 2004, 49-50, fig. 12/1); Butuceni (Niculiță, Teodor, Zanoci 2002, 42, fig. 60/1), Trebujeni „Potârca” (Niculiță, Matveev, Potângă 1999, 298), Bunești (Bazarciuc 1983, 225, fig. 7/1-8) etc.

*Cuțitele* aveau muchia arcuită (fig. 44/2) sau dreaptă (fig. 41/2) și erau înzestrate cu peduncul de înmănușare. Piese similare au fost atestate la Saharna Mare și în campaniile anterioare (Niculiță, Zanoci, Arnăut 2008, 125, fig. 145/1-3; Niculiță, Zanoci, Băț 2016, fig. 144/1). La fel, cuțite asemănătoare sunt cunoscute din siturile Saharna Mică (Niculiță, Zanoci, Arnăut 2008, 44, fig. 29/4, 5), Saharna „La Șanț” (Niculiță, Zanoci, Băț 2016, 322, fig. 226/1, 2), Alcedar „La Cordon” (Kašuba, Haheu, Levițki 2000, pl. XXXVII/7-9), Butuceni (Niculiță, Teodor, Zanoci 2002, fig. 60/2), Trebujeni „Potârca” (Niculiță, Matveev, Niciu 2019, fig. 80/2-5) etc.

*Străpungătoarele* a fost confecționată din bare rectangulare sau rotunde în secțiune și aveau unul

dintre capete ascuțit. La Saharna Mare astfel de piese sunt cunoscute și din cercetările anterioare (Arnăut 2003, 113; Niculiță, Zanoci, Băț 2016, 209, fig. 139/3, fig. 144/2, 7). De asemenea, piese similare au fost descoperite la Curteni (Iconomu 1981-1982, 129, 149, fig. 6/9, fig. 19/5), Brad (Ursachi 1995, 130, pl. 14/14, 18) etc.

*Ustensilele din os* sunt cunoscute după 10 străpungătoare (cat. nr. II.7-16; fig. 21/4; 25/2, 3; 29/15, 16; 39/2; 45/1-3, 5), o spatulă (cat. nr. II.18; fig. 45/4) și o plăsea (cat. nr. II.17; fig. 25/4).

*Străpungătoarele* au fost confecționate, în cele mai frecvente cazuri, din oase cubitus de câine. Acestea aveau forma plată sau rotundă în secțiune, cu unul dintre vârfuri ascuțit. Lungimea exemplarelor descoperite este cuprinsă între 4,1 și 16,5 cm. Piese similare au fost atestate și anterior la Saharna Mare (Niculiță, Zanoci, Băț 2016, 209, fig. 145/1-3, 5). Străpungătoarele din os au o răspândire largă în siturile traco-getice, fiind descoperite la Saharna Mică (Niculiță, Zanoci, Băț 2016, fig. 200/6, 7), Alcedar (Haheu 1998, 127, fig. 4/21), Stolniceni (Sîrbu, Arnăut 1995, 392, fig. 4/2), Brad (Ursachi 1995, 136, pl. 20) etc.

*Spatula* a fost confecționată prin așchierarea și șlefuirea unui corn de bovină, ca și în cazul piesei descoperite anterior la Saharna Mare (Niculiță, Zanoci, Băț 2016, fig. 106/5). Astfel de unelte

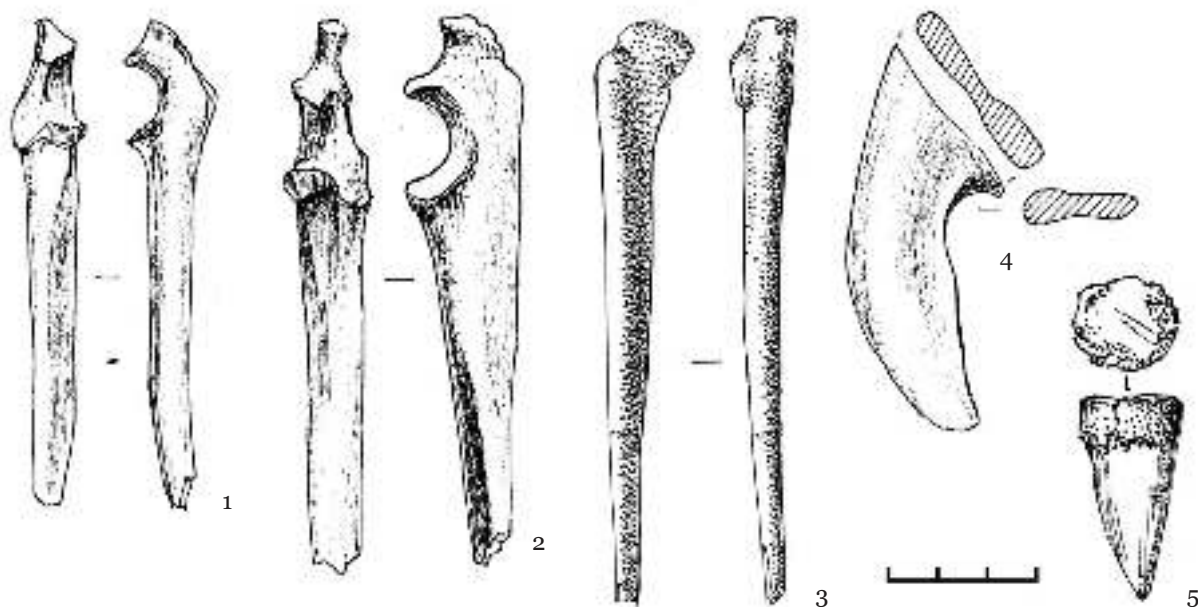


Fig. 45. Piese din os (1-4) și corn (5) din nivelul traco-getic.



sunt frecvent întâlnite în așezările traco-getice din sec. VI-III a. Chr.

*Plăseaua* a fost lucrată prin șlefuirea unui os de bovină, fiind utilizată, probabil, pentru placarea mânerului unui cuțit. Piese similare au fost descoperite și anterior în fortificația Saharna Mare (Niculiță, Zanoci, Arnăuț 2008, 125, fig. 148/8, 9), precum și în alte situri traco-getice din sec. IV-III a. Chr. (Никулиця 1987, 115, рис. 36/2, 3, 5; Niculiță, Zanoci, Arnăuț 2008, fig. 27/3; Niculiță, Matveev, Niciu 2019, fig. 68/7).

Uneltele din piatră sunt reprezentate de două pietre de râșniță (cat. nr. III.18-19; fig. 31/10; 46/1), cinci percutoare (cat. nr. III.20-24; fig. 21/7; 30/7-9; 46/2), opt lustruitoare (cat. nr. III.25-32; fig. 21/6; 30/2-6; 46/3, 12), 23 cute (cat. nr. III.33-55; fig. 31/1-9; 46/4-11, 13-17).

*Râșnițele de mână*, reprezentate prin pietre de râșnițe plate și percutoare au fost confecționate din piatră de gresie și poartă urme de utilizare intensă. Uneltele de acest tip sunt bine documentate la Saharna Mare, fiind atestate și în campaniile anterioare (Niculiță, Zanoci, Arnăuț 2008, 126, fig. 150/1-3; Niculiță, Zanoci, Băț 2016, 211, fig. 147/1-8). De asemenea, astfel de râșnițe sunt întâlnite și în alte așezări traco-getice, cum ar fi: Saharna Mică (Niculiță, Zanoci, Băț 2016, 287, fig. 200/10), Butuceni (Niculiță, Teodor, Zanoci 2002, fig. 65), Mășcăuți „Dealul cel Mare” (Zanoci 2004, fig. 14/1, 2) etc.

În calitate de *lustruitoare* pentru prelucrarea suprafeței vaselor proaspăt-modelate au fost utilizate pietre de râu sau de gresie. Piese similare au fost descoperite în fortificația traco-getică Saharna „La Șanț” (Niculiță, Zanoci, Băț 2016, fig. 226/10-12), precum și în alte așezări din această perioadă (Kašuba, Haheu, Levički 2000, pl. XXXVI/12).

*Cutele* au fost descoperite atât în complexe, cât și în stratul cultural. Ele au fost confecționate din pietre de gresie sau de râu și au, de regulă, formă quasi-elipsoidală sau quasi-paralelepipedică. Lungimea lor variază de la 4,0 cm la 11,2 cm, lățimea – de la 1,6 cm la 7,5 cm, iar grosimea – de la 1,0 cm la 4,6 cm. Cute similare au fost descoperite la Saharna Mare și în campaniile anterioare (Niculiță, Zanoci, Arnăuț 2008, 126, fig. 149; Niculiță, Zanoci, Băț 2016, 211, fig. 146). Piese de acest tip sunt frecvent întâlnite în siturile traco-getice de la Saharna Mică (Niculiță, Zanoci, Băț 2016, fig. 200/11, 12), Saharna „La Șanț” (Niculiță, Zanoci, Băț 2016, fig. 226/6-9), Butuceni (Ni-

culiță, Teodor, Zanoci 2002, fig. 64/6, 7, 9, 10), Alcedar (Haheu 1998, 126, fig. 3/1, 2, 8) etc.

Ustensilele din lut au fost descoperite atât în complexe, cât și în stratul cultural, fiind documentate prin 51 fusaiole, trei lustruitoare și un fragment de creuzet (?).

*Fusaiiolele* au fost lucrate din pastă de lut cu impurități de șamotă. Ele au fost arse neuniform, având culoarea ce variază de la cărămiziu/brun la cenușiu. Fusaiiolele după formă, indiferent de dimensiunile lor absolute, pot fi grupate în patru tipuri:

Tipul I – fusaiiole de formă bitronconică – 30 exemplare (cat. nr. IV.16, 17, 19, 20, 22, 23, 25, 27-33, 35, 37, 41-44, 46, 47, 49, 51-53, 56-59; fig. 21/5; 38/3; 39/3; 32/5-11; 47/1-20). De regulă, înălțimea lor este cuprinsă între 1,1 și 3,3 cm, diametrul maxim variază între 2,0 și 4,5 cm, diametrul bazelor este de 0,8-2,2 cm, iar diametrul orificiului – de 0,4 și 1,2 cm.

Tipul II – fusaiiole de formă tronconică – 12 piese (cat. nr. IV.12-15, 26, 34, 38, 39, 45, 50, 55, 60; fig. 32/1-3; 48/1-9). Înălțimea lor variază între 2,0 și 3,5 cm, diametrul bazei mici fiind cuprins între 1,0 și 2,0 cm, al celei mari – între 2,0 și 3,2 cm, iar al orificiului – între 0,4 și 0,7 cm.

Tipul III – fusaiiole de formă sferică – cinci exemplare (cat. nr. IV.10, 11, 18, 48, 54; fig. 25/5; 32/4; 48/10, 12, 13). Acestea au diametrul cuprins între 2,4 și 3,0 cm, iar diametrul orificiului – între 0,4 și 0,6 cm.

Tipul IV – fusaiiole de formă cilindrică – patru exemplare (cat. nr. IV.21, 24, 36, 40; fig. 48/11, 14-16). Înălțimea lor variază între 1,4 și 3,5 cm, diametrul – între 2,0 și 3,5 cm, diametrul orificiului – între 0,5 și 0,8 cm.

Fusaiiole de aceste tipuri au fost descoperite la Saharna Mare și în campaniile anterioare (Niculiță, Zanoci, Arnăuț 2008, 126-127, fig. 152-156; Niculiță, Zanoci, Băț 2016, 211, 214, fig. 148/1-21). De asemenea, această categorie de piese este pe larg răspândită la siturile traco-getice din sec. VI-III a. Chr. (Arnăuț 2003, 115-116; Teodor 1999, 74, fig. 50; Zanoci 1998, 81, fig. 77, 78).

*Lustruitoarele*, utilizate pentru prelucrarea ceramicii, au fost confecționate dintr-un mâner de amforă (cat. nr. IV.62; fig. 48/20), precum și din pereții unor vase modelate cu mâna (cat. nr. IV.64; fig. 48/19) sau de amfore grecești (cat. nr. IV.63; fig. 48/18).

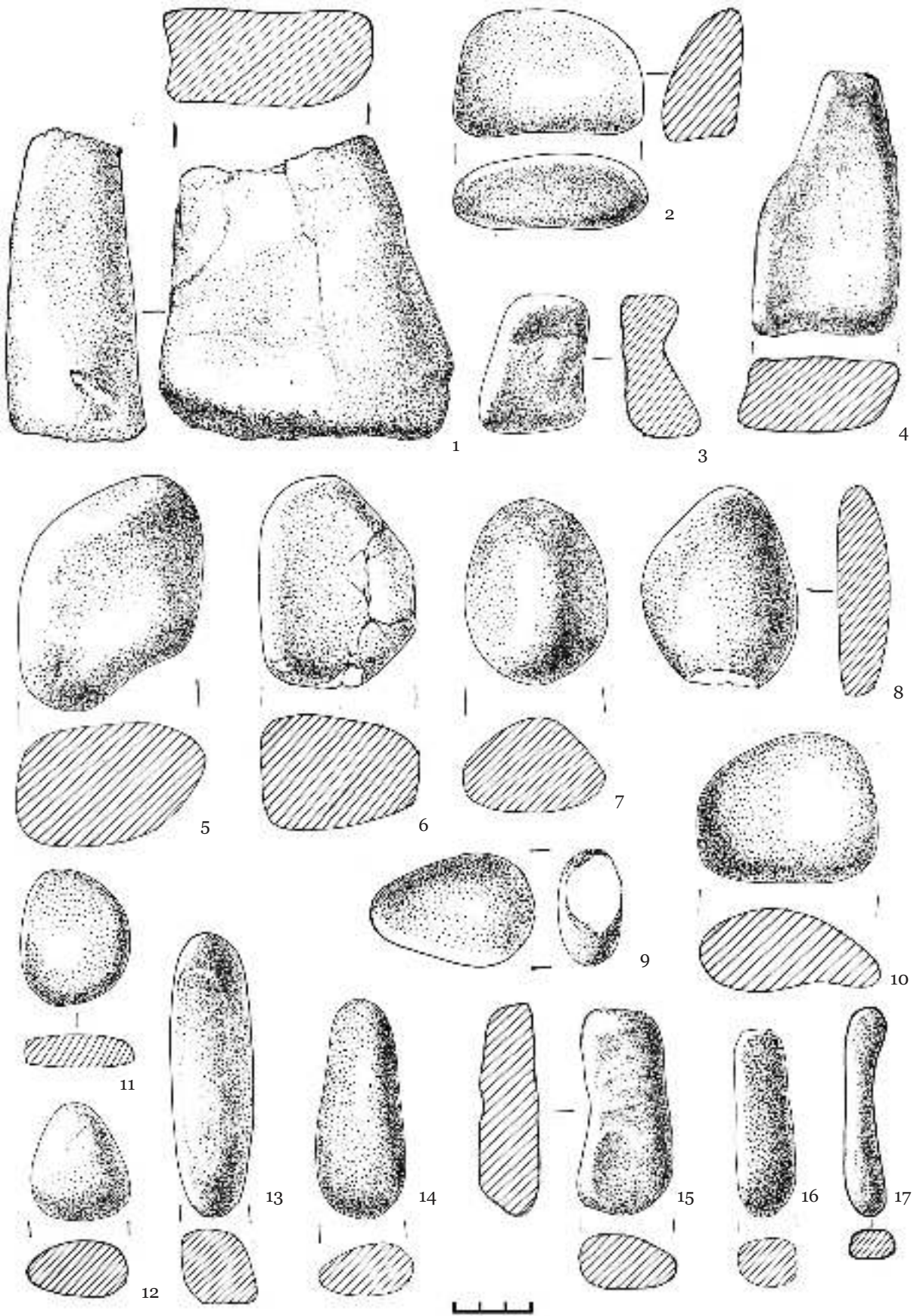


Fig. 46. Piese din piatră din nivelul traco-getic (1 - gresie; 2-17 - piatră de râu).

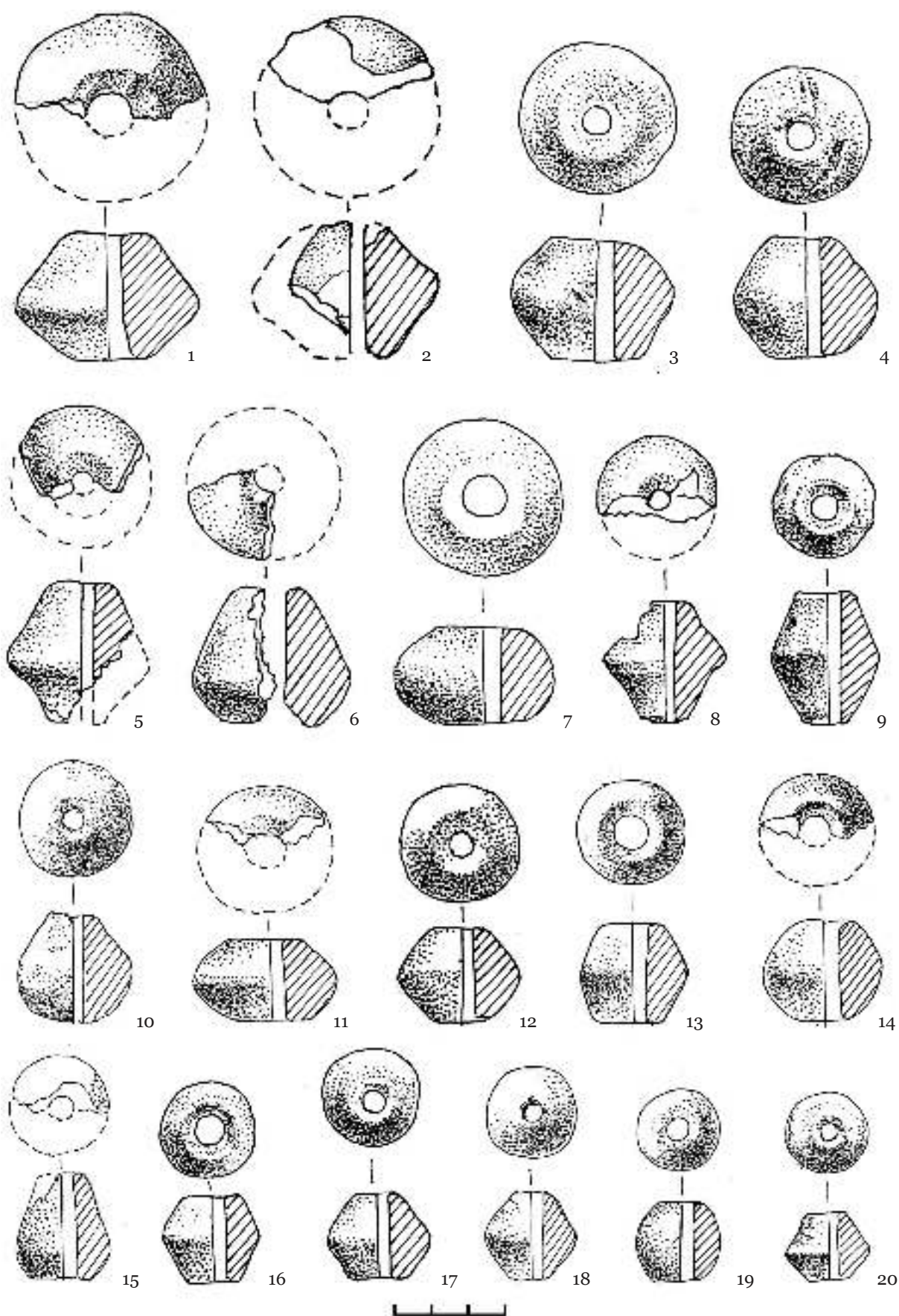


Fig. 47. Fusaiole din nivelul traco-getic.

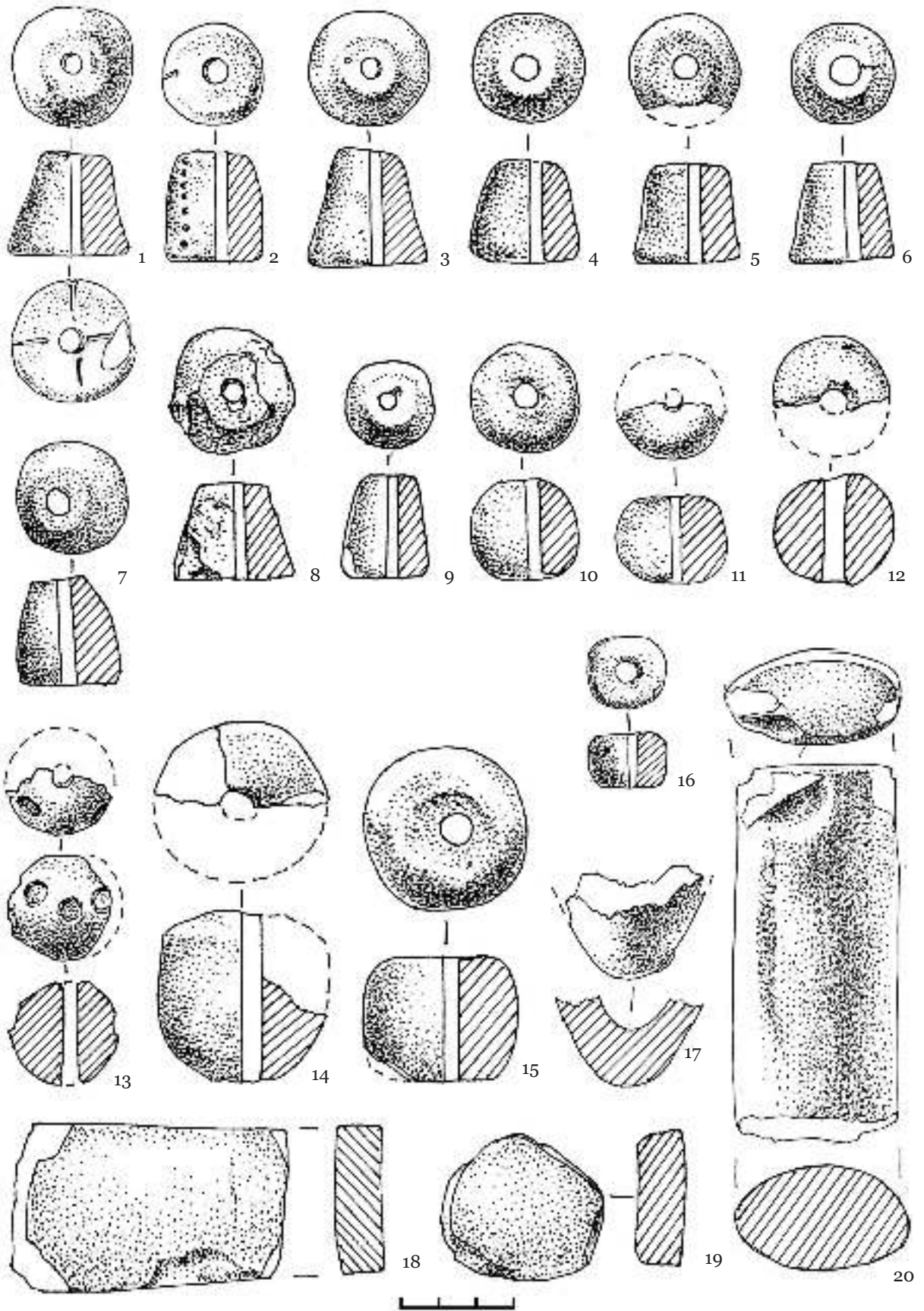


Fig. 48. Piese din lut din nivelul traco-getic.

## Arme

Armele descoperite în cetatea Saharna Mare sunt reprezentate de un vârf de dardă, un manșon de lance și 10 vârfuri de săgeată.

*Vârful de dardă* (cat. nr. I.23; fig. 44/11), confecționat din fier, avea secțiunea rotundă și era înzestrat cu tub de înmănușare.

*Manșonul de lance* (cat. nr. I.24; fig. 44/12), a fost lucrat din fier și avea formă tubulară. O piesă similară a fost descoperită și anterior în situl Saharna Mare (Niculiță, Zanoci, Băț 2016, 215-216, fig. 149/2), precum și în așezarea Saharna Mică (Niculiță, Zanoci, Arnăuț 2008, fig. 29/3).

Majoritatea *vârfurilor de săgeată* (cat. nr. I.36-43; fig. 29/1-8) au fost descoperite printre ruinele *construcției 3/2017-2019* și doar două (cat. nr. I.34-35; fig. 44/13, 14) în stratul cultural. Ele au fost confecționate din bronz și sunt de tipul „cu trei aripioare”. Nouă dintre ele sunt înzestrate cu dulie de înmănușare exterioară și, doar unul (fig. 44/14) are bucsă interioară. Dimensiunile vârfurilor sunt diferite, lungimea lor variind între 2,7 și 4,2 cm.

Piese similare au fost descoperite și anterior la Saharna Mare (Niculiță, Zanoci, Arnăuț 2008, 128, fig. 147/7-13; Niculiță, Zanoci, Băț 2016, 216, fig. 149/3, 4). Acest tip de armă este destul de frecvent întâlnit atât în așezările, cât și în necropolele traco-getice din sec. IV-III a. Chr. (Arnăuț 2003, 119-121).

## Piese de podoabă

Categoria pieselor de podoabă este documentată prin: trei fibule, o brățară, un inel, două aplici și o mărgică.

*Fibulele* au fost descoperite printre ruinele *construcției 3/2017-2019* (două exemplare) și în *groapa 1/2019* (un exemplar), toate fiind confecționate din fier. Una dintre piesele din construcție (cat. nr. I.26; fig. 29/13), precum și cea din groapă (cat. nr. I.25; fig. 42/2) sunt de tipul circular cu capetele răsucite („Ringfibeln”). Fibule similare au fost atestate și anterior în fortificația de la Saharna Mare (Niculiță, Zanoci, Arnăuț 2008, fig. 146/2, 3, 9), precum și în situl de la Rudî „La Șanțuri” (Лапушнян, Никулицэ, Романовская 1974, рис. 28/2, 3).

Cea de-a treia fibulă (cat. nr. I.27; fig. 29/14) avea corpul arcuit, îngroșat, resort bilateral cu trei

spire pe o parte și una – pe cealaltă<sup>11</sup>, iar coarda exterioară, dispusă în fața resortului. Piciorul fibulei este întors spre spate, cu buton sferic la mijloc și cu terminație ascuțită. Piese asemănătoare au fost atestate la Saharna Mare și în campaniile anterioare (Niculiță, Zanoci, Băț 2016, 127, fig. 151/7-9).

*Brățara* (cat. nr. I.31; fig. 29/12) provine din *construcția 3/2017-2019* și a fost confecționată dintr-o sârmă de bronz, rotundă în secțiune. Ea avea capetele libere, fiind de formă circulară cu diametrul de 4,1 cm. Astfel de piese sunt frecvent întâlnite în siturile traco-getice din sec. VI-III a. Chr. (Лапушнян, Никулицэ, Романовская 1974, рис. 15/6; Никулицэ 1985, рис. 3/4; Arnăuț 2003, 133, fig. 74/I, 4).

*Inelul* (cat. nr. I.28; fig. 44/17) a fost confecționat din fier și avea diametrul de cca 1,7 cm. Partea superioară a piesei reprezintă o placă de formă ovală cu dimensiunile 1,8×1,2 cm.

*Aplicile* sunt de formă concavă și erau prevăzute pe partea inferioară cu o urechiușă pentru fixare. Una dintre ele a fost descoperită în stratul cultural, fiind confecționată din fier (cat. nr. I.29; fig. 44/15). Cea de-a doua (cat. nr. I.30; fig. 29/11) provine din *construcția 3/2017-2019* și a fost lucrată din bronz. Piese asemănătoare au fost descoperite la Saharna Mare și în campaniile anterioare (Niculiță, Zanoci, Arnăuț 2008, fig. 146/5). Astfel de aplici sunt cunoscute și în alte situri din această perioadă, cu ar fi: Hansca „Toloacă” (Никулицэ 1985, рис. 2/15), Brad (Ursachi 1995, pl. 210/23-28) etc.

*Mărgica* (cat. nr. V.1; fig. 21/3) a fost descoperită în *construcția 1/29/2017*. Ea avea forma bitronconică și a fost confecționată din pastă sticloasă de culoare albastră. Mărgele din pastă sticloasă, însă de alte forme și alte culori, au fost atestate și anterior la Saharna Mare (Niculiță, Zanoci, Arnăuț 2008, 129, fig. 158/1, 2). Astfel de piese sunt atestate și în alte situri traco-getice, cum ar fi: Butuceni (Niculiță, Teodor, Zanoci 2002, fig. 69/3), Hansca (Arnăuț 2003, 136), Alcedar „La Cordon” (Haheu 1998, fig. 4/1, 7, 8) etc.

<sup>11</sup> Probabil că resortul a avut un număr egal de spire, câte trei de fiecare parte.

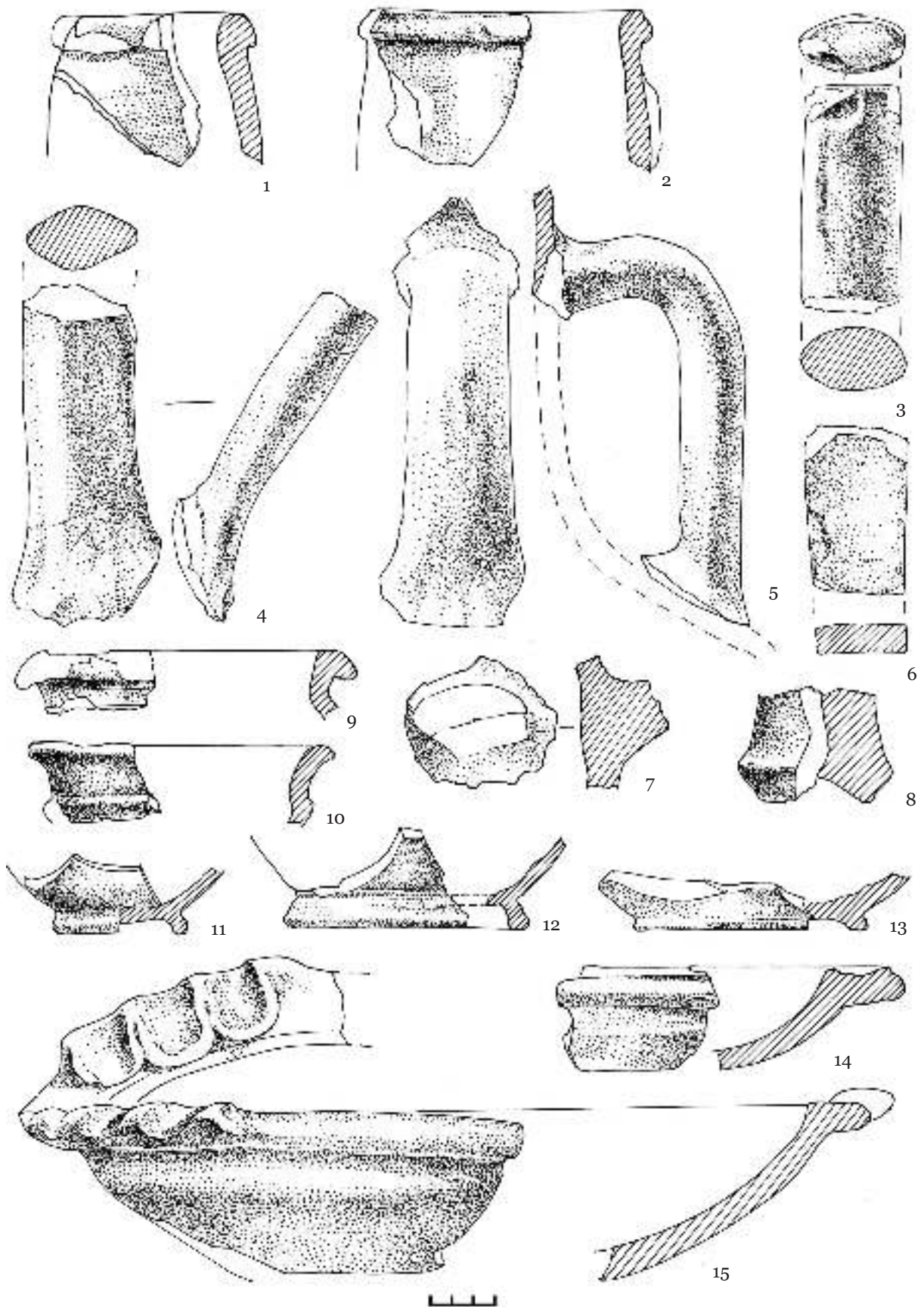


Fig. 49. Centre producătoare grecești: 1 - Lesbos; 2 - Peparethos; 3 - Chios; 4 - Thasos; 5 - centru mediteranean; 6 - Mende (?); 7 - Heracleea Pontică; 8 - cercul Thasos; 9 - Cnidos; 14, 15 - Sinope; 10-13 - centre necunoscute.

\*\*\*

Din cantitatea impresionată de ceramică atestată în nivelul de locuire traco-getic atât în structurile arheologice, cât și în stratul cultural, se evidențiază mai multe fragmente de la recipiente lucrate la roata olarului, de producție grecească<sup>12</sup> (fig. 49).

Centrul producător *Lesbos* este reprezentat de fragmentul unei buze de amforă (fig. 49/1), datată cu ultimul sfert al sec. VI a. Chr. Un alt fragment de buză a fost atribuit unei amfore de *Peparethos* (fig. 49/2), care a fost răspândită între anii '50-'30 ai sec. IV a. Chr. *Heraclea Pontică* este reprezentată de un fragment de amforă (fig. 49/7), datată cu a doua jumătate a sec. IV a. Chr. Un alt centru de producție prezent la Saharna Mare este insula *Cnidos*, căruia îi revine un fragment de buză de amforă, care se datează cu sec. IV a. Chr.

Fragmentele de amforă atribuite centrelor *Chios* (fig. 49/3), *Mende* (?) (fig. 49/6), *Thasos* (fig. 49/4) și din *cercul Thasos* (fig. 49/8) sunt date cu aceeași perioadă – sec. IV a. Chr. Se remarcă și centrul producător *Sinope* cu două fragmente de luteriu (fig. 49/14, 15), date cu a doua jumătate a sec. IV - începutul sec. III a. Chr. De asemenea, au fost atestate și alte fragmente de vase de proveniență grecească (fig. 49/10-13), ale căror centre de producție rămân a fi neidentificate.

## Concluzii

Cercetarea arheologică, realizată în anii 2017-2019, vine să confirme importanța prospecțiunilor geofizice, prin care s-a reușit evidențierea unei anomalii în partea de sud-vest a sitului, a cărei investigare s-a soldat cu rezultate remarcabile.

De asemenea, a fost confirmată existența pe sit a mai multor nivele de locuire, atestate și în campaniile precedente.

Astfel, prin cercetarea *gropii 7/2018* s-a reușit lărgirea informației despre locuirea comunităților de tip Holercani-Hansca în așezarea Saharna Mare / „Dealul Mănăstirii”, identificată anterior prin *gropile nr. 119 și nr. 177* (Niculiță, Zanoci, Băț 2016, 40-45, fig. 23-25). *Construcția nr. 4*, gropile, mormântul, precum și inventarul arheologic îmbogățesc cunoștințele noastre cu privire la modul de viață și practicile funerare ale comunităților de tip Cozia-Saharna, care au locuit pe promontoriul Saharna Mare, precum și în alte situri din această perioadă. Iar descoperirile din nivelul traco-getic aduc noi informații cu privire la tipurile de construcții, planimetria și destinația lor.

## Catalogul pieselor de inventar<sup>5</sup>

### I. Piese din metal

#### *Nivelul hallstattian timpuriu*

**I.1.** Lamă de cuțit (fig. 17/2). Secțiunea 31/2019, adâncimea 0,70 m. Confectionată din fier. Formă – cu muchia curbată. H=5,5 cm, L=1,1 cm, Gr=0,2 cm. Peduncul de înmănușare cu H=1,2 cm. Inedit.

**I.2.** Lamă de cuțit (fig. 17/1). Secțiunea 31/2019, adâncimea 0,95 m. Confectionată din fier. Formă – cu muchia curbată. H=11,9 cm, L=1,4 cm, Gr=0,2 cm. Inedit.

**I.3.** Lamă de cuțit (fig. 17/3). Secțiunea 31/2019, adâncimea 1,20 m. Confectionată din fier.

Formă – cu muchia curbată. H=5,8 cm, L=1,2 cm, Gr=0,2 cm. Peduncul de înmănușare cu H=1,9 cm. Nit cu D=0,3 cm. Inedit.

**I.4.** Străpungătoare, fragment (fig. 17/5). Secțiunea 31/2019, adâncimea 1,05 m. Confectionată din fier. Forma – patrulateră în secțiune. H=6,7 cm, D<sub>vârf</sub>=0,2 cm. Inedit.

**I.5.** Străpungătoare, fragment (fig. 17/4). Secțiunea 31/2019, adâncimea 1,1 m. Confectionată din fier. Forma – rotundă în secțiune. H=4,4 cm, D<sub>vârf</sub>=0,2 cm. Inedit.

**I.6.** Aplică (fig. 11/2) Secțiunea 30/2018, groapa 3/2018, adâncimea de 0,99 m de la gura gropii. Confectionată din bronz. Forma – ovală în plan. H<sub>max</sub>=2,8 cm, L<sub>max</sub>=0,6 cm, Gr<sub>max</sub>=0,5 cm. Pe partea concavă piesa se subțiază spre mijloc până la 0,4 cm. La bază piesa este prevăzută cu o cavitate de formă ovală alungită în plan cu D=0,3×1,5 cm, Ad=0,2 cm. Inedit.

<sup>12</sup> Analiza ceramicii grecești a fost efectuată de dr. N. Mateevici (Muzeul Național de Istorie a Moldovei), căreia îi aducem mulțumiri și pe această cale.

<sup>13</sup> În catalog au fost utilizate următoarele abrevieri: H – lungimea/înălțimea; L – lățimea; Gr – grosimea; D<sub>max</sub> – diametrul maxim; D<sub>b</sub> – diametrul bazei (bazelor); D<sub>orf</sub> – diametrul orificiului.

**Nivelul traco-getic**

**I.7.** Seceră (fig. 44/1). Secțiunea 29/2017, adâncimea 0,10 m. Confectionată din fier.  $H=10,5$  cm,  $L=0,5-1,5$  cm,  $Gr=0,1-0,3$  cm. Inedit.

**I.8.** Lamă de cuțit, fragment (fig. 44/2). Secțiunea 29/2017, adâncimea 0,15 m. Confectionată din fier. Forma – cu muchia arcuită.  $H_{păstrată}=5,9$  cm,  $L=1,4$  cm,  $Gr=0,1-0,3$  cm,  $D_{orf}=0,3$  cm. Inedit.

**I.9.** Cuțit (fig. 21/1). Secțiunea 29/2017, construcția 1/2017-2018, adâncimea 0,58 m. Confectionat din fier. Are lama scurtă, foliformă cu  $H=4$  cm,  $L=1,5$  cm,  $Gr=0,2$  cm. Peduncul de înmănușare cu  $L=6$  cm. Inedit.

**I.10.** Cuțit, fragment (fig. 29/9). Secțiunea 29/2017, construcția 3/31/2019, adâncimea 0,75 m. Confectionat din fier.  $H=2,4$  cm,  $L=1$  cm,  $Gr=0,2$  cm. Pe limba mânerului s-a păstrat un nit cu  $D=0,4$  cm. Inedit.

**I.11.** Cuțit (fig. 41/2). Secțiunea 30/2018, groapa 9/2018, adâncimea 0,18 m de la gura gropii. Confectionat din fier. Formă – cu muchia dreaptă.  $H=10,1$  cm,  $L=1,6$  cm,  $Gr=0,3$  cm. Peduncul de înmănușare cu  $H=3,5$  cm, pe care s-a păstrat nitul ( $D=0,3$  cm) de prindere a plăselei. Inedit.

**I.12.** Cuțit, fragment (fig. 44/3). Secțiunea 31/2019, adâncimea 0,30 m. Confectionat din fier. S-a păstrat doar un fragment de peduncul cu  $H=2$  cm,  $L=1,0$  cm,  $Gr=0,3$  cm. Inedit.

**I.13.** Străpungătoare (fig. 44/5). Secțiunea 29/2017, adâncimea 0,20 m. Confectionată din fier. Forma – rectangulară în secțiune ( $0,4 \times 0,5$  cm) cu vârful ascuțit.  $H=6,9$  cm,  $D_{vârf}=0,2$  cm. Inedit.

**I.14.** Străpungătoare, fragment (fig. 44/10). Secțiunea 29/2017, adâncimea 0,34 m. Confectionată din fier.  $H=3,2$  cm,  $D=0,3$  cm. Inedit.

**I.15.** Străpungătoare (fig. 37/16). Secțiunea 29/2017, groapa 4/2017, adâncimea 0,10 m de la gura gropii. Confectionată din fier. Forma – rotundă în secțiune cu  $D=0,6$  cm, cu vârful ascuțit ( $D_{vârf}=0,3$  cm).  $H=14$  cm. Inedit.

**I.16.** Străpungătoare (fig. 44/4). Secțiunea 31/2019, adâncimea 0,16 m. Confectionată din fier. Forma – rectangulară în secțiune ( $0,4 \times 0,5$  cm) cu vârful ascuțit.  $H=9,9$  cm,  $D_{vârf}=0,25$  cm. Inedit.

**I.17.** Străpungătoare, fragment (fig. 29/10). Secțiunea 31/2019, construcția 3/2017-2019, adâncimea 0,56 m. Confectionată din fier. Forma – rotundă în secțiune.  $H=5,5$  cm,  $D_{vârf}=0,4$  cm. Inedit.

**I.18.** Străpungătoare, fragment (fig. 44/7). Secțiunea 31/2019, adâncimea 0,45 m. Confectionată

din fier. Forma – rotund în secțiune ( $D=0,3$  cm) cu vârful ascuțit.  $H=3,2$  cm,  $D_{vârf}=0,15$  cm. Inedit.

**I.19.** Străpungătoare (fig. 44/6). Secțiunea 31/2019, adâncimea 0,55 m. Confectionată din fier. Străpungătorul, rotund în secțiune –  $H=4,1$  cm,  $D_{max}=0,5$  cm,  $D_{vârf}=0,15$  cm; manșonul, patruleter în secțiune ( $0,40 \times 0,45$  cm) –  $H=2,4$  cm,  $D_{vârf}=0,2$  cm. Inedit.

**I.20.** Ac, fragment (fig. 44/8). Secțiunea 30/2018, adâncimea 0,35 m. Confectionat din fier.  $H=2,9$  cm,  $D=0,1 \times 0,3$  cm. Inedit.

**I.21.** Nit (fig. 44/16). Secțiunea 29/2017, adâncimea 0,28 m. Confectionat din bară de fier ovală în secțiune ( $0,5 \times 1,0$  cm).  $H=1,7$  cm,  $Gr=0,5$  cm. Inedit.

**I.22.** Cui, fragment (fig. 44/9). Secțiunea 29/2017, adâncimea 0,30 m. Confectionat din fier.  $H=2,5$  cm,  $D=0,2$  cm. Inedit.

**I.23.** Vârf de dardă (fig. 44/11). Secțiunea 31/2019, adâncimea 0,71 m. Confectionat din fier. Cu tub de înmănușare.  $H=4,2$  cm,  $D=0,4$  cm,  $D_{vârf}=0,2$  cm,  $H_{tubului}=1,0$  cm,  $D_{tubului}=0,8$  cm. Inedit.

**I.24.** Manșon de lance (fig. 44/12). Secțiunea 29/2017, adâncimea 0,54 m. Confectionat din fier. Forma – tubulară.  $H=11,2$  cm,  $D=1,3-1,6$  cm,  $Gr=0,2$  cm. Inedit.

**I.25.** Fibulă, fragment (fig. 42/2). Secțiunea 31/2019, groapa 1/2019, adâncimea 0,45 m de la gura gropii. Confectionată din fier. Tipul – circulară cu capetele răsucite.  $Gr_{corp}=0,3$  cm,  $D$  capătului răsucit = 0,4 cm. Inedit.

**I.26.** Fibulă, fragment (fig. 29/13). Secțiunea 31/2019, construcția 3/2017-2019, adâncimea 0,44 m. Confectionată din fier. Tipul – circulară cu capetele răsucite.  $Gr_{corp}=0,3$  cm,  $D$  capătului răsucit = 0,4 cm. Inedit.

**I.27.** Fibulă (fig. 29/14). Secțiunea 30/2018, construcția 3/2018, adâncimea 0,76 m. Confectionată din fier. Forma – corpul arcuit, îngroșat, resort bilateral cu trei spire pe o parte și una – pe cealaltă, coarda – exterioară, dispusă în fața resortului. Piciorul – întors spre spate, cu buton sferic la mijloc. Terminația piciorului este ascuțită.  $H=4,2$  cm,  $Gr_{corp}=0,4$  cm,  $D_{spiră}=0,15$  cm. Portagrafa:  $H=1,2$  cm. Piciorul:  $H=2,5$  cm,  $D=0,2$  cm,  $D_{but}=0,5$  cm. Ac:  $H=3,0$  cm,  $D=0,15-0,3$  cm. Inedit.

**I.28.** Inel, fragment (fig. 44/17). Secțiunea 29/2017, adâncimea 0,60 m. Confectionat din fier.  $D=1,7$  cm. Partea superioară reprezintă o placă de formă ovală cu  $D=1,8 \times 1,2$  cm. Inedit.



**I.29.** Aplică (nasture?) (fig. 44/15). Secțiunea 31/2019, adâncimea 0,15 m. Confectionată din fier. Forma – concavă.  $D=2,4$  cm,  $H=0,85$  cm,  $Gr=0,2$  cm. Pe partea interioară s-a păstrat locul unde prin sudură era fixat dispozitivul de prindere a aplicii. Inedit.

**I.30.** Aplică (nasture?) (fig. 29/11). Secțiunea 31/2019, construcția 3/2017-2019, adâncimea 0,40 m. Confectionată din placă din bronz. Forma – concavă.  $D=2,1$  cm,  $H=0,25$  cm,  $Gr=0,05$  cm. Pe partea interioară s-a păstrat un inel/dispozitiv pentru prinderea aplicii cu  $D=0,4$  cm. Inedit.

**I.31.** Brățară (fig. 29/12). Secțiunea 29/2017, construcția 3/31/2019, adâncimea 0,50 m. Confectionată dintr-o sârmă de bronz, rotundă în secțiune cu  $D=0,25$  cm. Are capetele libere.  $D=4,1$  cm. Inedit.

**I.32.** Ac, fragment (fig. 21/2). Secțiunea 29/2017, construcția 1/2017-2018, adâncimea 0,70 m. Confectionat dintr-o bară de bronz, rotundă în secțiune cu  $D=0,5$  cm. Capul a fost lățit prin batre.  $D_{ort}=0,3$  cm. Inedit.

**I.33.** Ac, fragment (fig. 25/1). Secțiunea 29/2017, construcția 2/2017, adâncimea 0,70 m. Confectionat dintr-o sârmă din bronz cu  $D=0,4 \times 0,6$  cm. Tipul – cu capătul inelar. Inedit.

**I.34.** Vârf de săgeată (fig. 44/14). Secțiunea 29/2017, adâncimea 0,25 m. Confectionat din bronz. Tipul – „cu trei muchii”.  $H=3$  cm. Dulie interioară de înmănușare cu  $H=1,6$  cm și  $D=0,6$  cm. Inedit.

**I.35.** Vârf de săgeată (fig. 44/13). Secțiunea 31/2019, adâncimea 0,35 m. Confectionat din bronz. Tipul – „cu trei aripioare”, cu tub de înmănușare.  $H=3,4$  cm,  $D_{tubului}=0,5$  cm. Inedit.

**I.36.** Vârf de săgeată (fig. 29/1). Secțiunea 29/2017, construcția 3/2017-2019, adâncimea 0,32 m. Confectionat din bronz. Tipul – „cu trei aripioare”. În spațiul dintre muchii piesa este decorată cu câte două nervuri dispuse oblic, care se unesc în zona tubului de înmănușare. Vârful este rupt.  $H=3,5$  cm. Inedit.

**I.37.** Vârf de săgeată (fig. 29/2). Secțiunea 30/2018, construcția 3/2017-2019, adâncimea 0,38 m. Confectionat din bronz. Tipul – „cu trei aripioare”.  $H=3,6$  cm,  $D=0,5$  cm. Inedit.

**I.38.** Vârf de săgeată, fragment (fig. 29/3). Secțiunea 31/2019, construcția 3/2017-2019, adâncimea 0,55 m. Confectionat din bronz. Tipul – „cu trei aripioare”.  $H_{păstrată}=3,0$  cm. Inedit.

**I.39.** Vârf de săgeată (fig. 29/4). Secțiunea 31/2019, construcția 3/2017-2019, adâncimea

0,40 m. Confectionat din bronz. Tipul – „cu trei aripioare”, cu tub de înmănușare.  $H=2,7$  cm,  $D_{tubului}=0,4$  cm. Inedit.

**I.40.** Vârf de săgeată (fig. 29/5). Secțiunea 31/2019, construcția 3/2017-2019, adâncimea 0,47 m. Confectionat din bronz. Tipul – „cu trei aripioare”, cu tub de înmănușare.  $H=2,9$  cm,  $D_{tubului}=0,4$  cm. Inedit.

**I.41.** Vârf de săgeată (fig. 29/6). Secțiunea 31/2019, construcția 3/2017-2019, adâncimea 0,72 m. Confectionat din bronz. Tipul – „cu trei aripioare”, cu tub de înmănușare.  $H=3,4$  cm,  $D_{tubului}=0,4$  cm. Inedit.

**I.42.** Vârf de săgeată (fig. 29/7). Secțiunea 31/2019, construcția 3/2017-2019, adâncimea 0,80 m. Confectionat din bronz. Tipul – „cu trei aripioare”, cu tub de înmănușare. Piesa a fost arsă.  $H=2,8$  cm,  $D_{tubului}=0,4$  cm. Inedit.

**I.43.** Vârf de săgeată (fig. 29/8). Secțiunea 31/2019, construcția 3/2017-2019, adâncimea 0,80 m. Confectionat din bronz. Tipul – „cu trei aripioare”, cu tub de înmănușare. Piesa a fost arsă.  $H=4,2$  cm,  $D_{tubului}=0,5$  cm. Inedit.

## II. Piese din os și corn

### Nivelul hallstattian timpuriu

**II.1.** Străpungătoare (fig. 11/5). Secțiunea 30/2018, groapa 3/2018, adâncimea 0,45 m de la gura gropii. Confectionată din osul cubitus al unui câine<sup>14</sup>.  $H=11,7$  cm,  $L_{max}=2,5$  cm,  $Gr=0,2-1,2$  cm. Inedit.

**II.2.** Străpungătoare (fig. 17/6). Secțiunea 31/2019, adâncimea 1,57 m. Confectionată din os.  $H=13,6$  cm,  $L_{max}=1,5$  cm,  $Gr_{max}=1,0$  cm. Vârful ascuțit cu  $G=0,1$  cm. Inedit.

**II.3.** Mâner pentru unealtă (sulă?) (fig. 17/7). Secțiunea 31/2019, adâncimea 0,76 m. Confectionat din corn de bovină.  $H=8,5$  cm,  $D_{bază}=4,0 \times 3,0$  cm,  $D_{capăt}=1,7 \times 1,2$  cm. Inedit.

**II.4.** Mâner pentru unealtă (sulă?) (fig. 15/1). Secțiunea 31/2019, catacomba mormântului, adâncimea 2,20 m. Confectionat din corn de bovină.  $H=9,7$  cm,  $D_{bază}=3,40 \times 3,60$  cm. Inedit.

**II.5.** Vârf de săgeată (fig. 17/8). Secțiunea 31/2019, adâncimea 0,65 m. Confectionat din os. Forma – piramidală.  $H=3,6$  cm, baza  $=0,6 \times 0,6$  cm. Bucșă de înmănușare,  $H=1,5$  cm,  $D=0,4$  cm. Inedit.

**II.6.** Vârf de săgeată, semifabricat (fig. 17/9). Secțiunea 31/2019, adâncimea 0,72 m. Confectionat din os. Forma – foliformă, cu peduncul de în-

<sup>14</sup> Aprecieri făcute de dr. Margareta Simina Stanc.

mănușare.  $H=6,2$  cm,  $L=1,2$  cm,  $H_{\text{penduncul}}=1,7$  cm. Inedit.

### **Nivelul traco-getic**

**II.7.** Străpungătoare (fig. 45/1). Secțiunea 29/2017, adâncimea 0,20 m. Confectionată din os.  $H=9,7$  cm. Inedit.

**II.8.** Străpungătoare (fig. 45/2). Secțiunea 29/2017, adâncimea 0,20 m. Confectionată din os.  $H=11,1$  cm. Inedit.

**II.9.** Străpungătoare (fig. 21/4). Secțiunea 29/2017, construcția 1/2017-2018, adâncimea 0,95 m. Confectionată din os. Forma în secțiune – rotundă, vârful ascuțit.  $H=9,2$  cm. Inedit.

**II.10.** Străpungătoare (fig. 25/2). Secțiunea 29/2017, construcția 2/2017, adâncimea 1,2 m. Confectionată din os. Forma în secțiune – rotundă.  $H=6,5$  cm. Inedit.

**II.11.** Străpungătoare (fig. 25/3). Secțiunea 29/2017, construcția 2/2017, adâncimea 1,2 m. Confectionată din os. Forma în secțiune – rotundă.  $H=10$  cm. Inedit.

**II.12.** Străpungătoare, semifabricat (fig. 39/2). Secțiunea 30/2018, groapa 1/2018, adâncimea 0,91 m de la gura gropii. Confectionată din osul cubitus al unui câine.  $H=16,5$  cm,  $L_{\text{max}}=2,9$  cm,  $Gr_{\text{max}}=0,5-1,1$  cm. Inedit.

**II.13.** Străpungătoare (fig. 45/5). Secțiunea 30/2018, adâncimea 0,58 m. Confectionată din corn.  $H=4,1$  cm,  $D_b=1,8 \times 2,0$  cm,  $D_{\text{vârf}}=0,1$  cm. Inedit.

**II.14.** Străpungătoare (fig. 45/3). Secțiunea 31/2019, adâncimea 0,39 m. Confectionată din osul cubitus al unui câine.  $H=11,2$  cm,  $L_{\text{max}}=1,2$  cm,  $Gr_{\text{max}}=0,7$  cm. Vârful este rupt. Inedit.

**II.15.** Străpungătoare, fragment (fig. 29/16). Secțiunea 31/2019, construcția 3/2017-2019, adâncimea 0,53 m. Confectionată din osul cubitus al unui câine.  $H=11,5$  cm,  $L_{\text{max}}=1,6$  cm,  $Gr_{\text{max}}=0,7$  cm. Vârful este rupt. Inedit.

**II.16.** Străpungătoare (fig. 29/15). Secțiunea 31/2019, construcția 3/2017-2019, adâncimea 0,59 m. Confectionată din osul cubitus al unui câine.  $H=11,9$  cm,  $L_{\text{max}}=1,4$  cm,  $Gr_{\text{max}}=0,6$  cm. Vârful este rupt. Inedit.

**II.17.** Plăsea, semifabricat (fig. 25/4). Secțiunea 29/2017, construcția 2/2017, adâncimea 1,2 m. Confectionată din os.  $H=8$  cm,  $L=2$  cm,  $Gr=0,6$  cm. Inedit.

**II.18.** Spatulă (fig. 45/4). Secțiunea 29/2017, adâncimea 0,60 m. Confectionată din corn.  $H=7,5$  cm,  $L=2$  cm,  $Gr=0,6$  cm. Inedit.

### **III. Piese din piatră**

#### **Nivelul hallstattian timpuriu**

**III.1.** Percutor (fig. 18/1). Secțiunea 30/2018, adâncimea 0,80 cm. Confectionat din piatră de râu. Forma – quasi-poligonală.  $H=7,9$  cm,  $L_{\text{max}}=4,8$  cm,  $Gr_{\text{max}}=4,3$  cm. Inedit.

**III.2.** Percutor (fig. 18/3). Secțiunea 31/2019, adâncimea 0,80 m. Confectionat din piatră de gresie. Forma – quasi-paralelepipedică.  $H_{\text{max}}=7,1$  cm,  $L_{\text{max}}=5,5$  cm,  $Gr_{\text{max}}=5,3$  cm. Inedit.

**III.3.** Percutor (fig. 18/7). Secțiunea 31/2019, adâncimea 1,35 m. Confectionat din piatră de gresie. Forma – quasi-elipsoidală.  $H_{\text{max}}=9,1$  cm,  $L_{\text{max}}=6,1$  cm,  $Gr_{\text{max}}=4,7$  cm. Inedit.

**III.4.** Percutor, fragment (fig. 15/6). Secțiunea 31/2019, groapa mormântului, adâncimea 0,65 m de la gura gropii. Confectionat din piatră de granit. Forma – quasi-elipsoidală.  $H_{\text{max}}=9,1$  cm,  $L_{\text{max}}=8,7$  cm,  $Gr_{\text{max}}=5,8$  cm. Inedit.

**III.5.** Percutor (fig. 15/5). Secțiunea 31/2019, groapa mormântului, adâncimea 0,60 m de la gura gropii. Confectionat din piatră de râu. Forma – quasi-elipsoidală.  $H_{\text{max}}=9,2$  cm,  $L_{\text{max}}=6,7$  cm,  $Gr_{\text{max}}=5,7$  cm. Inedit.

**III.6.** Cute (fig. 5/2). Secțiunea 30/2018, groapa 7/2018, adâncimea 0,20 m de la gura gropii. Confectionată din piatră de râu. Forma – quasi-poligonală.  $H=5,4$  cm,  $L_{\text{max}}=4,0$  cm,  $Gr_{\text{max}}=1,7$  cm. Inedit.

**III.7.** Cute (fig. 11/6). Secțiunea 30/2018, groapa 3/2018, adâncimea 0,30 m de la gura gropii. Confectionată din piatră de râu. Forma – quasi-poligonală.  $H_{\text{max}}=7,9$  cm,  $L_{\text{max}}=6,6$  cm,  $Gr_{\text{max}}=0,7$  cm. Inedit.

**III.8.** Cute (fig. 11/4). Secțiunea 30/2018, groapa 3/2018, adâncimea 0,30 m de la gura gropii. Confectionată din piatră de râu. Forma – quasi-poligonală.  $H_{\text{max}}=4,7$  cm,  $L_{\text{max}}=4,3$  cm,  $Gr_{\text{max}}=2,0$  cm. Inedit.

**III.9.** Cute (fig. 18/6). Secțiunea 31/2019, adâncimea 0,86 m. Confectionată din piatră de gresie. Forma – quasi-elipsoidală.  $H_{\text{max}}=8,8$  cm,  $L_{\text{max}}=5,8$  cm,  $Gr_{\text{max}}=3,1$  cm. Inedit.

**III.10.** Cute (fig. 18/2). Secțiunea 31/2019, adâncimea 1,1 m. Confectionată din piatră de gresie. Forma – quasi-elipsoidală.  $H_{\text{max}}=6,4$  cm,  $L_{\text{max}}=4,0$  cm,  $Gr_{\text{max}}=2,2$  cm. Inedit.

**III.11.** Cute (fig. 15/4). Secțiunea 31/2019, groapa mormântului, adâncimea 0,40 m de la gura gropii. Confectionată din piatră de gresie. Forma – quasi-paralelepipedică.  $H_{\text{max}}=8,8$  cm,  $L_{\text{max}}=6,8$  cm,  $Gr_{\text{max}}=3,3$  cm. Inedit.

**III.12.** Piatră de râșniță, fragment (fig. 15/3). Secțiunea 31/2019, groapa mormântului, adâncimea 0,45 m de la gura gropii. Confectionată din piatră de gresie.  $H_{\max}=12,4$  cm,  $L_{\max}=10,4$  cm,  $Gr_{\max}=6,2$  cm. Inedit.

**III.13.** Lustruitoare (fig. 18/5). Secțiunea 31/2019, adâncimea 0,73 m. Confectionată din piatră de râu. Forma în plan – poligonală cu colțurile rotunjite.  $H_{\max}=3,8$  cm,  $L_{\max}=3,4$  cm,  $Gr_{\max}=2,2$  cm. Inedit.

**III.14.** Lustruitoare (fig. 18/4). Secțiunea 31/2019, adâncimea 0,90 m. Confectionată din piatră de râu. Forma în plan – triunghiulară cu colțurile rotunjite.  $H=4,9$  cm,  $L_b=5,3$  cm,  $Gr_{\max}=2,8$  cm. Inedit.

**III.15.** Lustruitoare (fig. 13/22). Secțiunea 31/2019, groapa 2/2019, adâncimea 1,26 m. Confectionată din piatră de râu. Forma în plan – poligonală cu colțurile rotunjite.  $H_{\max}=7,7$  cm,  $L_{\max}=3,9$  cm,  $Gr_{\max}=2,7$  cm. Inedit.

**III.16.** Rondelă, semifabricat (fig. 11/3). Secțiunea 30/2018, groapa 3/2018, adâncimea 0,50 m de la gura gropii. Confectionată din calcar. Forma – cilindrică.  $H=0,9$  cm,  $D=4,5$  cm. Inedit.

#### **Nivelul traco-getic**

**III.17.** Creuzet, fragment (fig. 30/1). Secțiunea 29/2017, construcția 3/2017-2019, adâncimea 0,67 m. Confectionat din calcar. Forma – elipsoidală.  $H=8,5$  cm,  $L=7$  cm,  $Gr=3,5$  cm. Cavitatea are o adâncime de 2 cm. Inedit.

**III.18.** Piatră de râșniță, fragment (fig. 31/10). Secțiunea 29/2017, construcția 3/2017-2019, adâncimea 0,45 m. Confectionată din piatră de gresie. Forma – poligonală în plan.  $H_{\max}=28,4$  cm,  $L_{\max}=19,5$  cm,  $Gr_{\max}=7,3$  cm. Inedit.

**III.19.** Piatră de râșniță, fragment (fig. 46/1). Secțiunea 31/2019, adâncimea 0,20 m. Confectionată din piatră de gresie. Forma – poligonală în plan.  $H_{\max}=11,7$  cm,  $L_{\max}=10,2$  cm,  $Gr_{\max}=4,7$  cm. Inedit.

**III.20.** Percutor (fig. 21/7). Secțiunea 29/2017, construcția 1/2017-2018, adâncimea 1,41 m. Confectionat din piatră de gresie. Forma – rotundă în plan.  $D=6,5$  cm,  $Gr=3$  cm. Inedit.

**III.21.** Percutor (fig. 46/2). Secțiunea 29/2017, adâncimea 0,50 m. Confectionat din piatră de gresie. Forma – quasi-poligonală în plan.  $H_{\max}=7,1$  cm,  $L_{\max}=4,8$  cm,  $Gr_{\max}=2,8$  cm,  $Gr_{\min}=1$  cm. Inedit.

**III.22.** Percutor, fragment (fig. 30/8). Secțiunea 31/2019, construcția 3/2017-2019, adâncimea 0,60 m. Confectionat din piatră de gresie.

Forma – quasi-elipsoidală.  $H_{\max}=11,2$  cm,  $L_{\text{păstrată}}=4,1$  cm,  $Gr_{\max}=4,9$  cm. Inedit.

**III.23.** Percutor (fig. 30/9). Secțiunea 31/2019, construcția 3/2017-2019, adâncimea 0,60 m. Confectionat din piatră de gresie. Forma în plan – poligonală cu colțurile rotunjite.  $H_{\max}=10,1$  cm,  $L_{\max}=9,8$  cm,  $Gr_{\max}=5,8$  cm. Inedit.

**III.24.** Percutor (fig. 30/7). Secțiunea 31/2019, construcția 3/2017-2019, adâncimea 0,72 m. Confectionat din piatră de gresie. Forma – quasi-elipsoidală.  $H_{\max}=13,7$  cm,  $L_{\max}=9,1$  cm,  $Gr_{\max}=7,9$  cm. Inedit.

**III.25.** Lustruitoare (fig. 21/6). Secțiunea 29/2017, construcția 1/2017-2018, adâncimea 0,75 m. Confectionată din piatră de gresie. Forma – quasi-cilindrică.  $H=1,4$  cm,  $D=3,0$  cm. Inedit.

**III.26.** Lustruitoare (fig. 46/12). Secțiunea 31/2019, adâncimea 0,20 m. Confectionată din piatră de gresie. Forma – quasi-elipsoidală.  $H=4,4$  cm,  $L=3,7$  cm,  $Gr=2,0$  cm. Inedit.

**III.27.** Lustruitoare (fig. 46/3). Secțiunea 31/2019, adâncimea 0,60 m. Confectionată din piatră de râu. Forma în plan – poligonală cu colțurile rotunjite.  $H_{\max}=5,6$  cm,  $L_{\max}=4,0$  cm,  $Gr_{\max}=2,2$  cm. Inedit.

**III.28.** Lustruitoare (fig. 30/4). Secțiunea 29/2017, construcția 3/2017-2019, adâncimea 0,70 m. Confectionată din piatră de râu. Forma – quasi-elipsoidală.  $H_{\max}=4$  cm,  $L_{\max}=3,5$  cm,  $Gr_{\max}=2,5$  cm. Inedit.

**III.29.** Lustruitoare (fig. 30/2). Secțiunea 31/2019, construcția 3/2017-2019, adâncimea 0,56 m. Confectionată din piatră de gresie. Forma – quasi-elipsoidală.  $H=4,3$  cm,  $L=3,4$  cm,  $Gr=2,5$  cm. Inedit.

**III.30.** Lustruitoare (fig. 30/6). Secțiunea 31/2019, construcția 3/2017-2019, adâncimea 0,51 m. Confectionată din piatră de gresie. Forma – quasi-elipsoidală.  $H=5,3$  cm,  $L=4,7$  cm,  $Gr=2,8$  cm. Inedit.

**III.31.** Lustruitoare (fig. 30/3). Secțiunea 31/2019, construcția 3/2017-2019, adâncimea 0,53 m. Confectionată din piatră de gresie. Forma – quasi-elipsoidală.  $H_{\max}=4,0$  cm,  $L_{\max}=3,5$  cm,  $Gr_{\max}=2,5$  cm. Inedit.

**III.32.** Lustruitoare (fig. 30/5). Secțiunea 31/2019, construcția 3/2017-2019, adâncimea 0,53 m. Confectionat din piatră de râu. Forma în plan – poligonală cu colțurile rotunjite.  $H_{\max}=5,3$  cm,  $L_{\max}=3,7$  cm,  $Gr_{\max}=1,8$  cm. Inedit.

**III.33.** Cute (fig. 37/4). Secțiunea 29/2017, groapa 1/2017, adâncimea 0,4 m de la gura gropii. Confectionată din piatră de gresie. Forma – poligonală în plan.  $H_{\max}=5,5$  cm,  $L_{\max}=5,5$  cm,  $Gr_{\max}=4,5$  cm. Inedit.

**III.34.** Cute (fig. 46/17). Secțiunea 29/2017, adâncimea 0,26 m. Confectionată din piatră de râu. Forma – quasi-paralelipipedică.  $H=8,0$  cm,  $L=1,6$  cm,  $Gr=1$  cm. Inedit.

**III.35.** Cute (fig. 46/7). Secțiunea 31/2019, adâncimea 0,25 m. Confectionată din piatră de gresie. Forma – quasi-elipsoidală.  $H_{\max}=6,9$  cm,  $L_{\max}=5,2$  cm,  $Gr_{\max}=3,6$  cm. Inedit.

**III.36.** Cute (fig. 46/8). Secțiunea 31/2019, adâncimea 0,60 m. Confectionată din piatră de gresie. Forma – quasi-elipsoidală.  $H_{\max}=7,3$  cm,  $L_{\max}=5,7$  cm,  $Gr_{\max}=2,0$  cm. Inedit.

**III.37.** Cute (fig. 46/11). Secțiunea 30/2018, adâncimea 0,13 m. Confectionată din piatră de râu. Forma – quasi-elipsoidală.  $H=5,2$  cm,  $L_{\max}=4,1$  cm,  $Gr_{\max}=1,2$  cm. Inedit.

**III.38.** Cute (fig. 46/13). Secțiunea 31/2019, adâncimea 0,16 m. Confectionată din piatră de râu. Forma – quasi-elipsoidală.  $H_{\max}=10,9$  cm,  $L_{\max}=2,9$  cm,  $Gr_{\max}=2,6$  cm. Inedit.

**III.39.** Cute (fig. 46/5). Secțiunea 31/2019, adâncimea 0,32 m. Confectionată din piatră de gresie. Forma – quasi-elipsoidală.  $H_{\max}=9,5$  cm,  $L_{\max}=7,0$  cm,  $Gr_{\max}=4,5$  cm. Inedit.

**III.40.** Cute (fig. 46/14). Secțiunea 30/2018, adâncimea 0,40 m. Confectionată din piatră de râu. Forma – quasi-elipsoidală.  $H=8,4$  cm,  $L_{\max}=3,3$  cm,  $Gr_{\max}=2,1$  cm. Inedit.

**III.41.** Cute (fig. 46/6). Secțiunea 30/2018, adâncimea 0,33 m. Confectionată din piatră de râu. Forma – quasi-poligonală în plan.  $H=8,3$  cm,  $L_{\max}=6,0$  cm,  $Gr_{\max}=4,6$  cm. Inedit.

**III.42.** Cute (fig. 46/10). Secțiunea 30/2018, adâncimea 0,30 m. Confectionată din piatră de râu. Forma – quasi-poligonală în plan.  $H=6,8$  cm,  $L_{\max}=5,7$  cm,  $Gr_{\max}=3,2$  cm. Inedit.

**III.43.** Cute (fig. 46/9). Secțiunea 30/2018, adâncimea 0,45 m. Confectionată din piatră de râu. Forma – quasi-elipsoidală.  $H=6,3$  cm,  $L_{\max}=4,2$  cm,  $Gr_{\max}=2,4$  cm. Inedit.

**III.44.** Cute (fig. 46/16). Secțiunea 30/2018, adâncimea 0,56 m. Confectionată din piatră de râu. Forma – quasi-paralelipipedică.  $H=7,1$  cm,  $L=2,2$  cm,  $Gr=1,7$  cm. Inedit.

**III.45.** Cute (fig. 46/4). Secțiunea 31/2019, adâncimea 0,20 m. Confectionată din piatră de

gresie. Forma – poligonală în plan.  $H_{\max}=10,0$  cm,  $L_{\max}=5,2$  cm,  $Gr_{\max}=2,7$  cm. Inedit.

**III.46.** Cute (fig. 46/15). Secțiunea 31/2019, adâncimea 0,20 m. Confectionată din piatră de gresie. Forma în plan – poligonală cu colțurile rotunjite.  $H_{\max}=7,8$  cm,  $L_{\max}=3,3$  cm,  $Gr_{\max}=2,0$  cm. Inedit.

**III.47.** Cute (fig. 31/1). Secțiunea 29/2017, construcția 3/2017-2019, adâncimea 0,70 m. Confectionată din piatră de râu. Forma – quasi-elipsoidală.  $H_{\max}=10,5$  cm,  $L_{\max}=5,2$  cm,  $Gr_{\max}=3,5$  cm. Inedit.

**III.48.** Cute (fig. 31/2). Secțiunea 29/2017, construcția 3/2017-2019, adâncimea 0,70 m. Confectionată din piatră de râu. Forma – quasi-elipsoidală.  $H_{\max}=8,5$  cm,  $L_{\max}=6$  cm,  $Gr_{\max}=4,5$  cm. Inedit.

**III.49.** Cute (fig. 31/9). Secțiunea 29/2017, construcția 3/2017-2019, adâncimea 0,75 m. Confectionată din piatră de râu. Forma – quasi-elipsoidală.  $H_{\max}=8,2$  cm,  $L_{\max}=6,2$  cm,  $Gr_{\max}=3,5$  cm. Inedit.

**III.50.** Cute (fig. 31/8). Secțiunea 29/2017, construcția 3/2017-2019, adâncimea 0,75 m. Confectionată din piatră de râu. Forma – quasi-elipsoidală.  $H_{\max}=8$  cm,  $L_{\max}=6,5$  cm,  $Gr_{\max}=3,2$  cm. Inedit.

**III.51.** Cute (fig. 31/5). Secțiunea 29/2017, construcția 3/2017-2019, adâncimea 0,80 m. Confectionată din piatră de râu. Forma – quasi-elipsoidală.  $H_{\max}=6,9$  cm,  $L_{\max}=4$  cm,  $Gr_{\max}=3,3$  cm. Inedit.

**III.52.** Cute (fig. 31/4). Secțiunea 30/2018, construcția 3/2017-2019, adâncimea 0,54 m. Confectionată din piatră de râu. Forma – quasi-ovală.  $H=7,2$  cm,  $L_{\max}=6,0$  cm,  $Gr_{\max}=2,8$  cm. Inedit.

**III.53.** Cute (fig. 31/3). Secțiunea 30/2018, construcția 3/2017-2019, adâncimea de 0,70 m. Confectionată din piatră de râu. Forma – quasi-poligonală.  $H=7,9$  cm,  $L_{\max}=7,5$  cm,  $Gr_{\max}=4,2$  cm. Inedit.

**III.54.** Cute (fig. 31/7). Secțiunea 31/2019, construcția 3/2017-2019, adâncimea 0,55 m. Confectionată din piatră de gresie. Forma – quasi-paralelipipedică.  $H_{\max}=9,4$  cm,  $L_{\max}=4,5$  cm,  $Gr_{\max}=3,1$  cm. Inedit.

**III.55.** Cute (fig. 31/6). Secțiunea 31/2019, construcția 3/2017-2019, adâncimea 0,50 m. Confectionată din piatră de gresie. Forma în plan – poligonală cu colțurile rotunjite.  $H_{\max}=5,5$  cm,  $L_{\max}=4,2$  cm,  $Gr_{\max}=2,4$  cm. Inedit.

#### IV. Piese din lut

##### *Nivelul hallstattian timpuriu*

**IV.1.** Fusaiolă (fig. 17/14). Secțiunea 29/2017, adâncimea 0,78 m. Confectionată din pastă de lut în amestec cu șamotă, arderea – neuniformă și incompletă, culoarea variază de la cenușiu-deschis la cenușiu-închis. Forma – bitronconică.  $H=2,5$  cm,  $D_{\max}=3,5$  cm,  $D_b=2$  cm,  $D_{\text{orf}}=0,6$  cm. Inedit.

**IV.2.** Fusaiolă, fragment (fig. 10/15). Secțiunea 29/2017, groapa 8/2017, adâncimea 0,26 m de la gura gropii. Confectionată din pastă de lut în amestec cu șamotă, arderea – neuniformă și incompletă, culoarea variază de la cenușiu-deschis la cenușiu-închis. Forma – bitronconică.  $H=1,6$  cm,  $D_{\max}=2,1$  cm,  $D_b=1,1$  cm,  $D_b=0,7$  cm,  $D_{\text{orf}}=0,5$  cm. Inedit.

**IV.3.** Fusaiolă (fig. 17/13). Secțiunea 29/2017, adâncimea 0,96 m. Confectionată din pastă de lut în amestec cu șamotă, arderea – neuniformă și incompletă, culoarea variază de la cenușiu-închis la negru. Forma – bitronconică.  $H=3,3$  cm,  $D_{\max}=4,4$  cm,  $D_b=1,8$  cm,  $D_b=2,2$  cm,  $D_{\text{orf}}=0,6$  cm. Inedit.

**IV.4.** Fusaiolă (fig. 17/17). Secțiunea 31/2019, adâncimea 1,05 m. Confectionată din pastă de lut în amestec cu șamotă, arderea – neuniformă și incompletă, culoarea variază de la cenușiu la negru. Forma – bitronconică.  $H=1,9$  cm,  $D_{\max}=2,0$  cm,  $D_b=1,1$  cm,  $D_b=1,1$  cm,  $D_{\text{orf}}=0,7$  cm. Inedit.

**IV.5.** Fusaiolă (fig. 17/15). Secțiunea 31/2019, adâncimea 1,35 m. Confectionată din pastă de lut în amestec cu șamotă, arderea – neuniformă și incompletă, culoarea variază de la cenușiu la cafeniu. Suprafața – lustruită. Forma – bitronconică.  $H=3,1$  cm,  $D_{\max}=2,8$  cm,  $D_b=1,5$  cm,  $D_b=1,3$  cm,  $D_{\text{orf}}=0,8$  cm. Inedit.

**IV.6.** Fusaiolă (fig. 17/16). Secțiunea 31/2019, adâncimea 1,36 m. Confectionată din pastă de lut în amestec cu șamotă, arderea – neuniformă și incompletă, culoarea variază de la cărămiziu la cafeniu. Suprafața – lustruită. Forma – bitronconică.  $H=2,4$  cm,  $D_{\max}=2,7$  cm,  $D_b=1,1$  cm,  $D_b=1,1$  cm,  $D_{\text{orf}}=0,6$  cm. Inedit.

**IV.7.** Rondelă (fig. 17/10). Secțiunea 29/2017, adâncimea 0,50 m. Confectionată din peretele unui vas modelat cu mâna din pastă de lut cu degresanți de șamotă, arderea – neuniformă și incompletă, culoarea variază de la cafeniu-deschis la cafeniu-închis. Forma – cilindrică.  $H=1$  cm,  $D_{\max}=3,2$  cm. Inedit.

**IV.8.** Rondelă (fig. 17/11). Secțiunea 31/2019, adâncimea 1,15 m. Confectionată din peretele unui

vas. Suprafața – neagră, lustruită. Forma – cilindrică.  $H=1,2$  cm,  $D=3,4$  cm,  $D_{\text{orf}}=0,7$  cm. Inedit.

**IV.9.** Rondelă, fragment (fig. 17/12). Secțiunea 31/2019, adâncimea 0,80 m. Confectionată din pastă de lut în amestec cu șamotă și calcar pisat, arderea – uniformă și completă, culoarea cărămizie. Forma – cilindrică.  $H=2,6$  cm,  $D=5,7$  cm,  $D_{\text{orf}}=1,0$  cm. Inedit.

##### *Nivelul traco-getic*

**IV.10.** Fusaiolă, fragment (fig. 48/12). Secțiunea 29/2017, adâncimea 0,10 m. Confectionată din pastă de lut în amestec cu șamotă, arderea – neuniformă și incompletă, culoarea variază de la cenușiu-deschis la cafeniu. Forma – sferică neregulată.  $D=2,5$  cm,  $D_{\text{orf}}=0,6$  cm. Inedit.

**IV.11.** Fusaiolă, fragment (fig. 48/10). Secțiunea 29/2017, adâncimea 0,15 m. Confectionată din pastă de lut în amestec cu șamotă, arderea – neuniformă și incompletă, culoarea variază de la cenușiu-deschis la cafeniu. Forma – sferică neregulată.  $D=2,2$  cm,  $D_{\text{orf}}=0,5$  cm. Inedit.

**IV.12.** Fusaiolă (fig. 48/5). Secțiunea 29/2017, adâncimea 0,17 m. Confectionată din pastă de lut în amestec cu șamotă, arderea – neuniformă și incompletă, culoarea variază de la cenușiu-deschis la cafeniu. Forma – tronconică.  $H=2,1$  cm,  $D_b=2,1$  cm,  $D_b=1,8$  cm,  $D_{\text{orf}}=0,5$  cm. Inedit.

**IV.13.** Fusaiolă (fig. 48/4). Secțiunea 29/2017, adâncimea 0,19 m. Confectionată din pastă de lut în amestec cu șamotă, arderea – neuniformă și incompletă, culoarea variază de la cenușiu-deschis la cafeniu. Forma – tronconică.  $H=2,1$  cm,  $D_b=2,4$  cm,  $D_b=1,5$  cm,  $D_{\text{orf}}=0,5$  cm. Inedit.

**IV.14.** Fusaiolă (fig. 48/8). Secțiunea 29/2017, adâncimea 0,20 m. Confectionată din pastă de lut în amestec cu șamotă, arderea – neuniformă și incompletă, culoarea variază de la cenușiu-deschis la cafeniu. Forma – tronconică.  $H=2$  cm,  $D_b=2,5$  cm,  $D_b=1,5$  cm,  $D_{\text{orf}}=0,5$  cm. Inedit.

**IV.15.** Fusaiolă (fig. 48/6). Secțiunea 29/2017, adâncimea 0,20 m. Confectionată din pastă de lut în amestec cu șamotă, arderea – neuniformă și incompletă, culoarea variază de la cafeniu-deschis la cafeniu-închis. Forma – tronconică.  $H=2$  cm,  $D_b=2,2$  cm,  $D_b=1,3$  cm,  $D_{\text{orf}}=0,6$  cm. Inedit.

**IV.16.** Fusaiolă, fragment (fig. 47/6). Secțiunea 29/2017, adâncimea 0,23 m. Confectionată din pastă de lut în amestec cu șamotă, arderea – neuniformă și incompletă, culoarea variază de la cenușiu-închis la cafeniu-închis. Forma – bitronconică.  $H=3$  cm,  $D_{\max}=3,3$  cm,  $D_b=2$  cm,  $D_b=1,4$  cm,  $D_{\text{orf}}=0,6$  cm. Inedit.

**IV.17.** Fusaiolă (fig. 47/7). Secțiunea 29/2017, adâncimea 0,28 m. Confeționată din pastă de lut în amestec cu șamotă, arderea – neuniformă și incompletă, culoarea variază de la cenușiu-închis la cenușiu-închis. Forma – bitronconică.  $H=2$  cm,  $D_{\max}=3,4$  cm,  $D_b=1,8$  cm,  $D_{\text{orf}}=0,8$  cm. Inedit.

**IV.18.** Fusaiolă, fragment (fig. 48/13). Secțiunea 29/2017, adâncimea 0,30 m. Confeționată din pastă de lut în amestec cu șamotă, arderea – neuniformă și incompletă, culoarea variază de la cenușiu-deschis la cafeniu. Pe diametrul maxim a fost aplicat un șir de împunsături. Forma – sferică neregulată.  $D=2,4$  cm,  $D_{\text{orf}}=0,4$  cm. Inedit.

**IV.19.** Fusaiolă, fragment (fig. 47/16). Secțiunea 29/2017, adâncimea 0,30 m. Confeționată din pastă de lut în amestec cu șamotă, arderea – neuniformă și incompletă, culoarea variază de la cenușiu-deschis la cenușiu-închis. Forma – bitronconică.  $H=1,8$  cm,  $D_{\max}=2$  cm,  $D_b=1$  cm,  $D_b=1,1$  cm,  $D_{\text{orf}}=0,6$  cm. Inedit.

**IV.20.** Fusaiolă (fig. 47/17). Secțiunea 29/2017, adâncimea 0,34 m. Confeționată din pastă de lut în amestec cu șamotă, arderea – neuniformă și incompletă, culoarea variază de la cafeniu-deschis la cafeniu-închis. Forma – bitronconică.  $H=1,9$  cm,  $D_{\max}=2$  cm,  $D_b=1,2$  cm,  $D_b=0,8$  cm,  $D_{\text{orf}}=0,5$  cm. Inedit.

**IV.21.** Fusaiolă (fig. 48/15). Secțiunea 29/2017, adâncimea 0,35 m. Confeționată din pastă de lut în amestec cu șamotă, arderea – neuniformă și incompletă, culoarea variază de la cenușiu-deschis la cenușiu-închis. Forma – cilindrică.  $H=2,5$  cm,  $D=3,1$  cm,  $D_{\text{orf}}=0,6$  cm. Inedit.

**IV.22.** Fusaiolă (fig. 47/4). Secțiunea 29/2017, adâncimea 0,35 m. Confeționată din pastă de lut în amestec cu șamotă, arderea – neuniformă și incompletă, culoarea variază de la cafeniu-deschis la cafeniu-închis. Forma – bitronconică.  $H=2,5$  cm,  $D_{\max}=3$  cm,  $D_b=1,5$  cm,  $D_b=1,4$  cm,  $D_{\text{orf}}=0,6$  cm. Inedit.

**IV.23.** Fusaiolă, fragment (fig. 47/8). Secțiunea 29/2017, adâncimea 0,35 m. Confeționată din pastă de lut în amestec cu șamotă, arderea – neuniformă și incompletă, culoarea variază de la cenușiu-deschis la cenușiu-închis. Forma – bitronconică.  $H=2,5$  cm,  $D_{\max}=2,5$  cm,  $D_b=1$  cm,  $D_{\text{orf}}=0,4$  cm. Inedit.

**IV.24.** Fusaiolă, fragment (fig. 48/14). Secțiunea 29/2017, adâncimea 0,36 m. Confeționată din pastă de lut în amestec cu șamotă, arderea – neuniformă și incompletă, culoarea variază de la cenușiu-deschis la cenușiu-închis. Forma – qua-

si-cilindrică.  $H=3,5$  cm,  $D=3,5$  cm,  $D_{\text{orf}}=0,8$  cm. Inedit.

**IV.25.** Fusaiolă (fig. 47/9). Secțiunea 29/2017, adâncimea 0,40 m. Confeționată din pastă de lut în amestec cu șamotă, arderea – neuniformă și incompletă, culoarea variază de la cafeniu-deschis la cafeniu-închis. Forma – bitronconică.  $H=2,8$  cm,  $D_{\max}=2,2$  cm,  $D_b=1$  cm,  $D_b=1,2$  cm,  $D_{\text{orf}}=0,5$  cm. Inedit.

**IV.26.** Fusaiolă (fig. 48/7). Secțiunea 29/2017, adâncimea 0,55 m. Confeționată din pastă de lut în amestec cu șamotă, arderea – neuniformă și incompletă, culoarea variază de la cenușiu-deschis la cafeniu-închis. Forma – tronconică.  $H=2,3$  cm,  $D_b=2$  cm,  $D_b=1$  cm,  $D_{\text{orf}}=0,5$  cm. Inedit.

**IV.27.** Fusaiolă, fragment (fig. 47/2). Secțiunea 29/2017, adâncimea 0,60 m. Confeționată din pastă de lut în amestec cu șamotă, arderea – neuniformă și incompletă, culoarea variază de la cenușiu-deschis la cenușiu-închis. Forma – bitronconică.  $H=2,9$  cm,  $D_{\max}=4$  cm,  $D_b=1,5$  cm,  $D_b=1,3$  cm,  $D_{\text{orf}}=0,9$  cm. Inedit.

**IV.28.** Fusaiolă, fragment (fig. 47/5). Secțiunea 29/2017, adâncimea 0,50 m. Confeționată din pastă de lut în amestec cu șamotă, arderea – neuniformă și incompletă, culoarea variază de la cenușiu-închis la cenușiu-închis. Forma – bitronconică.  $H=3$  cm,  $D_{\max}=3$  cm,  $D_b=1,2$  cm,  $D_b=1,4$  cm,  $D_{\text{orf}}=0,4$  cm. Inedit.

**IV.29.** Fusaiolă (fig. 47/3). Secțiunea 29/2017, adâncimea 0,40 m. Confeționată din pastă de lut în amestec cu șamotă, arderea – neuniformă și incompletă, culoarea variază de la cafeniu-deschis la cafeniu-închis. Forma – bitronconică.  $H=2,7$  cm,  $D_{\max}=3,4$  cm,  $D_b=2$  cm,  $D_{\text{orf}}=0,6$  cm. Inedit.

**IV.30.** Fusaiolă, fragment (fig. 47/1). Secțiunea 30/2018, adâncimea 0,11 m. Confeționată din pastă de lut în amestec cu șamotă, arderea – neuniformă și incompletă, culoarea variază de la cenușiu deschis la negru. Forma – bitronconică.  $H=3,3$  cm,  $D_{\max}=4,7$  cm,  $D_b=2,2$  cm,  $D_{\text{orf}}=1,2$  cm. Inedit.

**IV.31.** Fusaiolă, fragment (fig. 47/14). Secțiunea 30/2018, adâncimea 0,15 m. Confeționată din pastă de lut în amestec cu șamotă, arderea – neuniformă și incompletă, culoarea variază de la cenușiu deschis la negru. Forma – bitronconică.  $H=2,6$  cm,  $D_{\max}=3,2$  cm,  $D_b=1,4$  cm,  $D_{\text{orf}}=0,8$  cm. Inedit.

**IV.32.** Fusaiolă, fragment (fig. 47/15). Secțiunea 30/2018, adâncimea 0,18 m. Confeționată din pastă de lut în amestec cu șamotă, arde-

rea – neuniformă și incompletă, culoarea variază de la cărămiziu la cenușiu. Forma – bitronconică.  $H=2,7$  cm,  $D_{\max}=2,4$  cm,  $D_b=1,7$  cm,  $D_b=1,1$  cm,  $D_{\text{orf}}=0,7$  cm. Inedit.

**IV.33.** Fusaiolă (fig. 47/19). Secțiunea 30/2018, adâncimea 0,13 m. Confecționată din pastă de lut în amestec cu șamotă și nisip, arderea – uniformă și completă, culoarea – cărămizie deschisă. Forma – bitronconică.  $H=2,0$  cm,  $D_{\max}=2,2$  cm,  $D_b=1,2$  cm,  $D_b=1,3$  cm,  $D_{\text{orf}}=0,6$  cm. Inedit.

**IV.34.** Fusaiolă (fig. 48/1). Secțiunea 31/2019, adâncimea 0,77 m. Confecționată din pastă de lut în amestec cu șamotă, arderea – uniformă și completă, culoarea cărămizie. Forma – tronconică.  $H=2,5$  cm,  $D_b=2,8$  cm,  $D_b=1,6$  cm,  $D_{\text{orf}}=0,4$  cm. Baza mare a fusaiolei este decorată cu patru linii incizate, dispuse în formă de cruce. Inedit.

**IV.35.** Fusaiolă, fragment (fig. 47/11). Secțiunea 30/2018, adâncimea 0,35 m. Confecționată din pastă de lut în amestec cu șamotă, arderea – neuniformă și incompletă, culoarea variază de la cenușiu deschis la cenușiu. Forma – bitronconică.  $H=2,1$  cm,  $D_{\max}=3,8$  cm,  $D_b=2$  cm,  $D_{\text{orf}}=0,8 \times 1,0$  cm. Inedit.

**IV.36.** Fusaiolă (fig. 48/16). Secțiunea 30/2018, adâncimea 0,55 m. Confecționată din o pastă de lut în amestec cu șamotă, arderea neuniformă și incompletă, culoarea variază de la cafeniu deschis la cenușiu închis. Forma – cilindrică.  $H=1,4$  cm,  $D=2,0$  cm,  $D_{\text{orf}}=0,5$  cm. Inedit.

**IV.37.** Fusaiolă (fig. 47/12). Secțiunea 30/2018, adâncimea 0,42 m. Confecționată din pastă de lut în amestec cu șamotă pisată mărunț, arderea – neuniformă și incompletă, culoarea variază de la cărămiziu deschis la cenușiu. Forma – bitronconică.  $H=2,6$  cm,  $D_{\max}=3,2$  cm,  $D_b=1,3$  cm,  $D_{\text{orf}}=0,6$  cm. Inedit.

**IV.38.** Fusaiolă (fig. 48/9). Secțiunea 30/2018, adâncimea 0,46 m. Confecționată din pastă de lut în amestec cu șamotă, arderea-neuniformă și incompletă, culoarea variază de la cărămiziu deschis la cenușiu. Forma – tronconică.  $H=2,7$  cm,  $D_b=2,3$  cm,  $D_b=1,4$  cm,  $D_{\text{orf}}=0,5$  cm. Inedit.

**IV.39.** Fusaiolă (fig. 48/3). Secțiunea 31/2019, adâncimea 0,15 m. Confecționată din pastă de lut în amestec cu șamotă, arderea – neuniformă și incompletă, culoarea variază de la cărămiziu la cafeniu. Forma – tronconică.  $H=3,0$  cm,  $D_b=2,9$  cm,  $D_b=1,8$  cm,  $D_{\text{orf}}=0,6$  cm. Inedit.

**IV.40.** Fusaiolă, fragment (fig. 48/11). Secțiunea 31/2019, adâncimea 0,15 m. Confecționată din pastă de lut în amestec cu șamotă, arderea – ne-

uniformă și incompletă, culoarea variază de la cenușiu la cafeniu. Forma – cilindrică.  $H=2,2$  cm,  $D=2,7$  cm,  $D_{\text{orf}}=0,5$  cm. Inedit.

**IV.41.** Fusaiolă (fig. 47/20). Secțiunea 31/2019, adâncimea 0,20 m. Confecționată din pastă de lut în amestec cu șamotă, arderea – neuniformă și incompletă, culoarea variază de la cenușiu-deschis la cărămiziu. Forma – bitronconică.  $H=1,8$  cm,  $D_{\max}=2,1$  cm,  $D_b=1,2$  cm,  $D_b=1,1$  cm,  $D_{\text{orf}}=0,5$  cm. Inedit.

**IV.42.** Fusaiolă (fig. 47/13). Secțiunea 31/2019, adâncimea 0,50 m. Confecționată din pastă de lut în amestec cu șamotă, arderea – neuniformă și incompletă, culoarea variază de la cărămiziu la cafeniu. Forma – bitronconică.  $H=2,6$  cm,  $D_{\max}=2,7$  cm,  $D_b=1,9$  cm,  $D_b=1,7$  cm,  $D_{\text{orf}}=1,0$  cm. Inedit.

**IV.43.** Fusaiolă (fig. 47/10). Secțiunea 31/2019, adâncimea 0,58 m. Confecționată din pastă de lut în amestec cu șamotă, arderea – neuniformă și incompletă, culoarea variază de la cenușiu-închis la negru. Forma – bitronconică.  $H=2,8$  cm,  $D_{\max}=3,0$  cm,  $D_b=1,6$  cm,  $D_b=1,1$  cm,  $D_{\text{orf}}=0,6$  cm. Inedit.

**IV.44.** Fusaiolă (fig. 47/18). Secțiunea 31/2019, adâncimea 0,48 m. Confecționată din pastă de lut în amestec cu șamotă, arderea – neuniformă și incompletă, culoarea variază de la cărămiziu la cafeniu. Forma – bitronconică.  $H=2,4$  cm,  $D_{\max}=2,5$  cm,  $D_b=1,0$  cm,  $D_b=0,8$  cm,  $D_{\text{orf}}=0,6$  cm. Inedit.

**IV.45.** Fusaiolă (fig. 48/2). Secțiunea 31/2019, adâncimea 0,93 m. Confecționată din pastă de lut în amestec cu șamotă, arderea – neuniformă și incompletă, culoarea variază de la cenușiu la cărămiziu. Forma – tronconică. Suprafața este decorată cu un șir de puncte imprimare, dispuse vertical.  $H=2,7$  cm,  $D_b=2,6$  cm,  $D_b=2,2$  cm,  $D_{\text{orf}}=0,7$  cm. Inedit.

**IV.46.** Fusaiolă (fig. 38/3). Secțiunea 29/2017, groapa 7/2017, adâncimea 0,26 m de la gura gropii. Confecționată din pastă de lut în amestec cu șamotă, arderea – neuniformă și incompletă, culoarea variază de la cenușiu-deschis la cafeniu. Forma – bitronconică.  $H=2$  cm,  $D_{\max}=2,8$  cm,  $D_b=1,1$  cm,  $D_b=1$  cm,  $D_{\text{orf}}=0,5$  cm. Inedit.

**IV.47.** Fusaiolă (fig. 21/5). Secțiunea 29/2017, construcția 1/2017-2018, adâncimea 0,78 m. Confecționată din pastă de lut în amestec cu șamotă, arderea – neuniformă și incompletă, culoarea variază de la cenușiu-deschis la cenușiu-închis. Forma – bitronconică.  $H=1,1$  cm,  $D_{\max}=4,5$  cm,  $D_b=3,5$  cm,  $D_b=3,7$  cm,  $D_{\text{orf}}=1,1$  cm. Inedit.

**IV.48.** Fusaiolă (fig. 25/5). Secțiunea 29/2017, construcția 2/2017, adâncimea 1,2 m. Confecționată din pastă de lut în amestec cu șamotă, arderea – neuniformă și incompletă, culoarea variază de la cenușiu-deschis la cenușiu-închis. Forma – sferică neregulată.  $D=3$  cm,  $D_{\text{orf}}=0,6$  cm. Inedit.

**IV.49.** Fusaiolă, fragment (fig. 39/3). Secțiunea 30/2018, groapa 1/2018, adâncimea 0,36 m de la gura gropii. Confecționată din pastă de lut în amestec cu șamotă mărunț pisată și nisip, culoarea variază de la cărămiziu la cenușiu. Forma – bitronconică cu umbo la bază.  $H=2,5$  cm,  $D_{\text{max}}=4,2$  cm,  $D_b=2,6$  cm,  $D_b=1,3$  cm,  $H_{\text{umbo}}=0,6$  cm,  $D_{\text{orf}}=0,5$  cm. Inedit.

**IV.50.** Fusaiolă (fig. 32/2). Secțiunea 29/2017, construcția 3/2017-2019, adâncimea 0,52 m. Confecționată din pastă de lut în amestec cu șamotă, arderea – neuniformă și incompletă, culoarea variază de la cafeniu-deschis la cafeniu-închis. Forma – tronconică.  $H=2,9$  cm,  $D_b=2,6$  cm,  $D_b=1$  cm,  $D_{\text{orf}}=0,6$  cm. În orificiu s-au păstrat fragmente de la tija din lemn. Inedit.

**IV.51.** Fusaiolă (fig. 32/8). Secțiunea 29/2017, construcția 3/2017-2019, adâncimea 0,60 m. Confecționată din pastă de lut în amestec cu șamotă, arderea – neuniformă și incompletă, culoarea variază de la cenușiu-deschis la cafeniu-deschis. Forma – bitronconică.  $H=2,3$  cm,  $D_{\text{max}}=2,6$  cm,  $D_b=1,4$  cm,  $D_b=1,5$  cm,  $D_{\text{orf}}=0,4$  cm. Inedit.

**IV.52.** Fusaiolă, fragment (fig. 32/5). Secțiunea 29/2017, construcția 3/2017-2019, adâncimea 0,60 m. Confecționată din pastă de lut în amestec cu șamotă, arderea – neuniformă și incompletă, culoarea variază de la cenușiu-închis la negru. Forma – bitronconică.  $H=2,3$  cm,  $D_{\text{max}}=4,4$  cm,  $D_b=1,4$  cm,  $D_b=1$  cm,  $D_{\text{orf}}=0,9$  cm. Inedit.

**IV.53.** Fusaiolă (fig. 32/7). Secțiunea 31/2019, construcția 3/2017-2019, adâncimea 0,46 m. Confecționată din pastă de lut în amestec cu șamotă, arderea – neuniformă și incompletă, culoarea variază de la cenușiu-închis la negru. Forma – bitronconică.  $H=2,2$  cm,  $D_{\text{max}}=3,1$  cm,  $D_b=1,3$  cm,  $D_b=1,5$  cm,  $D_{\text{orf}}=0,6$  cm. Inedit.

**IV.54.** Fusaiolă, fragment (fig. 32/4). Secțiunea 31/2019, construcția 3/2017-2019, adâncimea 0,46 m. Confecționată din pastă de lut în amestec cu șamotă, arderea – neuniformă și incompletă, culoarea variază de la cenușiu-închis la negru. Forma – sferică neregulată.  $H=3,5$  cm,  $D_b=3,2$  cm,  $D_b=2,0$  cm,  $D_{\text{orf}}=0,7$  cm. Inedit.

**IV.55.** Fusaiolă (fig. 32/3). Secțiunea 31/2019, construcția 3/2017-2019, adâncimea 0,46 m. Confecționată din pastă de lut în amestec cu șamotă, arderea – neuniformă și incompletă, culoarea variază de la cenușiu-deschis la cărămiziu. Forma – tronconică.  $H=2,4$  cm,  $D_b=2,8$  cm,  $D_b=1,3$  cm,  $D_{\text{orf}}=0,4$  cm. Inedit.

**IV.56.** Fusaiolă, fragment (fig. 32/9). Secțiunea 31/2019, construcția 3/2017-2019, adâncimea 0,37 m. Confecționată din pastă de lut în amestec cu șamotă, arderea – neuniformă și incompletă, culoarea variază de la cenușiu-deschis la cărămiziu. Forma – bitronconică.  $H=2,1$  cm,  $D_{\text{max}}=2,6$  cm,  $D_b=1,7$  cm,  $D_b=1,7$  cm,  $D_{\text{orf}}=0,5$  cm. Inedit.

**IV.57.** Fusaiolă (fig. 32/10). Secțiunea 31/2019, construcția 3/2017-2019, adâncimea 0,50 m. Confecționată din pastă de lut în amestec cu șamotă, arderea – neuniformă și incompletă, culoarea variază de la cărămiziu la cafeniu. Forma – bitronconică.  $H=2,7$  cm,  $D_{\text{max}}=2,8$  cm,  $D_b=1,3$  cm,  $D_b=1,3$  cm,  $D_{\text{orf}}=0,6$  cm. Inedit.

**IV.58.** Fusaiolă, fragment (fig. 32/6). Secțiunea 31/2019, construcția 3/2017-2019, adâncimea 0,60 m. Confecționată din pastă de lut în amestec cu șamotă, arderea – neuniformă și incompletă, culoarea variază de la cărămiziu la cafeniu. Forma – bitronconică.  $H=1,6$  cm,  $D_{\text{max}}=2,7$  cm,  $D_b=1,5$  cm,  $D_b=1,4$  cm,  $D_{\text{orf}}=0,6$  cm. Inedit.

**IV.59.** Fusaiolă, fragment (fig. 32/11). Secțiunea 31/2019, construcția 3/2017-2019, adâncimea 0,56 m. Confecționată din pastă de lut în amestec cu șamotă, arderea – neuniformă și incompletă, culoarea variază de la cenușiu la cafeniu. Forma – bitronconică.  $H=2,8$  cm,  $D_{\text{max}}=4,2$  cm,  $D_b=1,9$  cm,  $D_b=1,4$  cm,  $D_{\text{orf}}=0,9$  cm. Inedit.

**IV.60.** Fusaiolă (fig. 32/1). Secțiunea 31/2019, construcția 3/2017-2019, adâncimea 0,90 m. Confecționată din pastă de lut în amestec cu șamotă, arderea – neuniformă și incompletă, culoarea variază de la cenușiu la cărămiziu. Forma – tronconică.  $H=2,5$  cm,  $D_b=3,1$  cm,  $D_b=1,8$  cm,  $D_{\text{orf}}=0,5$  cm. Baza mare a fusaiolei este decorată cu patru linii incizate, dispuse în formă de cruce. Inedit.

**IV.61.** Creuzet (?), fragment (fig. 48/17). Secțiunea 30/2018, adâncimea 0,36 m. Confecționată din pastă de lut în amestec cu degresanți de șamotă, arderea – neuniformă și incompletă, culoarea variază de la cărămiziu închis la cenușiu închis.  $H_{\text{max}}=2,6$  cm,  $L_{\text{max}}=3,5$  cm. Suprafața piesei este vitrificată. Inedit.



**IV.62.** Lustruitoare (fig. 48/20). Secțiunea 31/2019, adâncimea 0,60 m. Confectionată dintr-un fragment de toartă de amforă grecească. H=9,8 cm, D=4,2×2,9 cm. Inedit.

**IV.63.** Lustruitoare (fig. 48/18). Secțiunea 29/2017, adâncimea 0,18 m. Confectionată din peretele unei amfore, lucrate din pastă de lut cu degresanți de nisip. Arderea – completă și uniformă, culoarea – cărămizie. Forma – quasi-paralelipipedică. H=5,5 cm, L=3,4 cm, Gr=1 cm. Inedit.

**IV.64.** Lustruitoare (fig. 48/19). Secțiunea 29/2017, adâncimea 0,18 m. Confectionată din

peretele unui vas modelat cu mâna din pastă de lut cu degresanți de șamotă, arderea – neuniformă și incompletă, culoarea variază de la cafeiniu-deschis la cafeiniu-închis. Forma – cilindrică. H=1 cm,  $D_{\max}=3,4$  cm. Inedit.

#### **V. Piese din pastă sticloasă**

**V.1.** Mărgică (fig. 21/3). Secțiunea 29/2017, construcția 1/2017-2018, adâncimea 1,62 m. Confectionată din pastă sticloasă de culoare albastră. Forma – bitronconică. H=0,8 cm,  $D_{\max}=1,1$  cm,  $D_b=0,2$  cm,  $D_{\text{orf}}=0,1,5$  cm. Inedit.

### **Bibliografie**

- Arnăut 2003:** T. Arnăut, Vestigii ale sec. VII-III a. Chr. în spațiul de la răsărit de Carpați (Chișinău 2003).
- Bazarciuc 1983:** V.V. Bazarciuc, Cetatea geto-dacică de la Bunești, jud. Vaslui. SCIVA 34, 3, 1983, 249-273.
- Băț 2017:** M. Băț, Așezarea din prima epocă a fierului de la Țahnăuți, raionul Rezina. Tyragetia s.n. XI/1, 2017, 137-163.
- Haheu 1998:** V. Haheu, Cercetări arheologice la cetatea traco-getică Alcedar – La Cordon din raionul Șoldănești. Revista Arheologică 2, 1998, 111-135.
- Iconomu 1981-1982:** C. Iconomu, Cercetările arheologice de la Curteni-Dealul Viei și Dealul Pietrărie (jud. Vaslui). Cercetări Istorice XII-XIII, 1981-1982, 127-192.
- Iconomu 1996:** C. Iconomu, Cercetările arheologice din cetatea hallstattiană de la Pocreaca – Iași. ArhMold XIX, 1996, 21-56.
- Kașuba 2014:** M. Kașuba, Necropola Saharna I (Țiglău) și locul ei în studierea practicilor funerare ale comunităților culturii Saharna (în baza rezultatelor cercetărilor efectuate de G.D. Smirnov și G.P. Sergheev în anul 1950). In: I. Niculiță, A. Niciu, Așezarea și necropola din prima epocă a fierului Saharna-Țiglău (Chișinău 2014), 127-156, 399-422.
- Kașuba, Haheu, Levițki 2000:** M. Kașuba, V. Haheu, O. Levițki, Vestigii traco-getice pe Nistrul Mijlociu (București 2000).
- Levițki 1994:** O. Levițki, Grupul Holercani-Hansca. Aspectul pruto-nistean al complexului hallstattian timpuriu cu ceramică incizată. In: Relation thraco-illyro-helleniques (București 1994), 219-256.
- Niculiță, Matveev, Niciu 2019:** I. Niculiță, S. Matveev, A. Niciu, Cercetările sitului arheologic Potârca din Rezervația Cultural-Naturală Orheiul Vechi (Chișinău 2019).
- Niculiță, Matveev, Potângă 1999:** I. Niculiță, S. Matveev, Ed. Potângă, Cetatea traco-getică Potârca. In: Cercetări arheologice în aria nord-tracă, vol. III (București 1999), 279-343.
- Niculiță, Niciu 2011:** I. Niculiță, A. Niciu, Practici funerare în situl din prima epocă a fierului de la Saharna-Dealul Mănăstirii. Tyragetia s.n. V/1, 2011, 225-235.
- Niculiță, Niciu 2014:** I. Niculiță, A. Niciu, Așezarea și necropola din prima epocă a fierului Saharna-Țiglău (Chișinău 2014).
- Niculiță, Teodor, Zanoci 2002:** I. Niculiță, S. Teodor, A. Zanoci, Butuceni. Monografie arheologică (București 2002).
- Niculiță, Zanoci, Arnăut 2007:** I. Niculiță, A. Zanoci, T. Arnăut, Sistemul defensiv al cetății din epoca fierului – Saharna Mare. Tyragetia s.n. I/1, 2007, 27-62.
- Niculiță, Zanoci, Arnăut 2008:** I. Niculiță, A. Zanoci, T. Arnăut, Habitatul din mileniul I a. Chr. în regiunea Nistrului Mijlociu (siturile din zona Saharna) (Chișinău 2008).
- Niculiță, Zanoci, Băț 2011:** I. Niculiță, A. Zanoci, M. Băț, Die frühhallstattzeitliche Befestigung von Saharna, Rajon Rezina, Republik Moldova. In: (Hrsgs. Sava, E., Govedarica, B., Hänsel, B.) Der Schwarzmeerraum von Äneolithikum bis in die Früheisenzeit (5000-500 v. Chr.). Prähistorische Archäologie in Südosteuropa, Band 27 (Rahden/Westf. 2011), 226-236.
- Niculiță, Zanoci, Băț 2013:** I. Niculiță, A. Zanoci, M. Băț, Siturile de pe interfluviul Saharna Mare (sfârșitul sec. XII - sec. III a. Chr.). In: (Eds. S-C. Ailincăi, A. Țârlea, C. Micu) Din preistoria Dunării de Jos. 50 de ani de la începutul cercetărilor arheologice la Babadag (1962-2012). Actele conferinței „Lower Danube Prehistory. 50 years of excavations at Babadag”, Tulcea, 20-22 septembrie 2012) (Brăila 2013), 351-372.

- Niculiță, Zanoci, Băț 2016:** I. Niculiță, A. Zanoci, M. Băț, Evoluția habitatului din microzona Saharna în epoca fierului (Chișinău 2016).
- Niculiță et al. 2012:** I. Niculiță, A. Zanoci, M. Băț, S. Matveev, Investigațiile arheologice la situl Saharna Mare (2009-2011) (I). Tyragetia s.n. VI/1, 2012, 111-167.
- Niculiță et al. 2013:** I. Niculiță, A. Zanoci, M. Băț, S. Matveev, Investigațiile arheologice la situl Saharna Mare (2009-2012) (II). Tyragetia s.n. VII/1, 2013, 219-292.
- Niculiță et al. 2018:** I. Niculiță, A. Zanoci, M. Băț, V. Dulgher, Rezultate preliminare ale cercetărilor arheologice în situl Saharna Mare (campania 2017). In: Cercetări arheologice în Republica Moldova: Campania 2017. Sesiunea Națională de Rapoarte, 18 aprilie 2018: Program. Rezumatele comunicărilor (Chișinău 2018), 43-45.
- Niculiță et al. 2019:** I. Niculiță, A. Zanoci, M. Băț, V. Dulgher, Cercetări arheologice la situl Saharna Mare (campania 2018). In: Cercetări arheologice în Republica Moldova: Campania 2018. Sesiunea Națională de Rapoarte, 18 aprilie 2019: Program. Rezumatele comunicărilor (Chișinău 2019), 49-50.
- Sîrbu, Arnăuț 1995:** V. Sîrbu, T. Arnăuț, Incinta fortificată de la Stolniceni, raionul Hâncești, Rep. Moldova. In: Cercetări arheologice în aria nord-tracă, vol. I (București 1995), 378-400.
- Teodor 1999:** S. Teodor, Regiunile est-carpătice ale României în secolele V-II î. Hr. Considerații generale și repertoriu arheologic (București 1999).
- Ursachi 1995:** V. Ursachi, Zargidava. Cetatea dacică de la Brad (București 1995).
- Zanoci 1998:** A. Zanoci, Fortificațiile geto-dacice din spațiul extracarpatic în secolele VII-III a. Chr. (București 1998).
- Zanoci 2004:** A. Zanoci, Traco-geții din bazinul Răutului Inferior. Cetatea Măscăuți „Dealul cel Mare”. In: Thracians and circumpontics world. Proceedings of the Ninth International Congress of Thracology, Chișinău-Vadul lui Vodă, 6-11 september 2004, II (Chișinău 2004), 45-81.
- Гольцева, Кашуба 1995:** Н. Гольцева, М. Кашуба, Глиняный II. Многослойный памятник Среднего Поднепровья (Тирасполь 1995).
- Кашуба 2000:** М. Кашуба, Раннее железо в лесостепи между Днестром и Сиретом (культура Козия-Сахарна). Stratum plus 3, 2000, 241-488.
- Лапушнян, Никулицэ, Романовская 1974:** В.Л. Лапушнян, И.Т. Никулицэ, М.А. Романовская, Памятники раннего железного века. АКМ, вып. 4 (Кишинев 1974).
- Никулицэ 1985:** И.Т. Никулицэ, Изучение северофракийских поселений в Ханском микрорайоне. В сб.: АИМ в 1981 г. (Кишинев 1985), 95-117.
- Никулицэ 1987:** И.Т. Никулицэ, Северные фракийцы в VI-I вв. до н.э. (Кишинев 1987).
- Смирнов 1949:** Г.Д. Смирнов, Скифское городище и селище «Большая Сахарна». КСИИМК 26, 1949, 93-96.
- Смирнов 1953:** Г.Д. Смирнов, Отчетные материалы по археологическим исследованиям Молдавии за 1946-1953 годы (Кишинев 1953). Arhiva MNIM, inv. nr. 507.
- Тереножкин 1961:** А.И. Тереножкин, Предскифский период на днепровском Правобережье (Киев 1961).

### Archaeological investigations at the Saharna Mare site / „Dealul Mănăstirii”, Rezina district (2017-2019)

*Keywords:* Middle Dniester region, iron age, Holercani-Hansca culture, Cozia-Saharna culture, Thracians-Getae, structures, pits, burial in settlement.

*Abstract:* The archaeological research conducted in 2017-2019 was concentrated in the southwest part of the site, where as a result of the geomagnetic measurements a positive anomaly was attested that denotes the presence of burned structures.

Following the archaeological excavations (256 m<sup>2</sup>) in this part of the settlement, three layers of living were identified: Holercani-Hansca, Cozia-Saharna and Thracian-Getae.

It was discovered a pit (7/2018) belonging to the Holercani-Hansca horizon whose filling contained ceramics characteristic of this culture.

For the Cozia-Saharna layer was found a structure (4/2017-2019), 12 pits, a burial, and various archaeological inventory represented by work tools, weapons and ceramics ornamented with incised and stamped ornaments.

In the Thracian-Getae layer were uncovered three structures, 13 pits and a rich archaeological findings. Among the inventory items are tools and utensils made of different raw materials – iron, bronze, bone and horn, stone and burnt clay. From this layer come several weapons, in particular, tips of bronze arrows, as well as pieces of jewelry, represented by fibulae, bracelets, rings etc. Also, from the Thracian-Getae layer was recovered a significant amount of local ceramics and Greek imports.

*List of illustrations:*

- Fig. 1. Location of the Saharna Mare / “Dealul Mănăstirii” site (photo by M. Chumash).
- Fig. 2. Topographic plan and magnetometric map of the Saharna Mare / “Dealul Mănăstirii” site with indication of sections from 2017-2019.
- Fig. 3. Extract from the magnetometric map with the indication of the researched anomaly.
- Fig. 4. Plans of the researched area in 2017-2019 (a. burned soil; b. clay soil mixed with ash and burnt clay; c. debris/smear clay from the structure; d. stones; e. contour of structures).
- Fig. 5. Pit 7/2018 (Legend: a. gray soil; b. contour of pit; c. sterile layer).
- Fig. 6. Structure 4/2017-2018; 1 - plan and profile; 2-6 - remains of the structure (Legend: a. gray soil; b. fire/hearth installation; c. stones; d. wood charcoal/beams; e. ash; f. contour of pits; g. sterile layer; h. excavation boundary).
- Fig. 7. Structure 4/2017-2018: 1-26 - pottery sherds; 27-29 - daub fragments with imprints.
- Fig. 8. Structure 4/2017-2018. Fragments of bowls.
- Fig. 9. Structure 4/2017-2018. Fragments of pots.
- Fig. 10. Early Iron Age pits: 1, 7-14 - pit 3/2017; 2 - pit 5/2017; 3 - pit 6/2017; 4, 15-18 - pit 8/2017; 5, 19-21 - pit 10/2017; 6, 22-24 - pit 11/2017 (Legend: a. gray soil; b. burned soil; c. clay soil; d. contour of pits; e. sterile layer).
- Fig. 11. Pit 3/2018 (Legend: a. brown soil; b. contour of pit; c. sterile layer).
- Fig. 12. Early Iron Age pits: 1, 4-16 - pit 4/2018; 2, 17-21 - pit 5/2018; 3, 22-27 - pit 11/2018 (Legend: a. gray soil; b. brown soil; c. clay soil; d. fragments of burnt clay; e. wood charcoal; f. ash; g. stones; h. contour of pits; i. excavation boundary; j. sterile layer).
- Fig. 13. Early Iron Age pits: 1, 3-12 - pit 12/2018; 2, 13-22 - pit 2/2019 (Legend: a. gray soil; b. brown soil; c. clay soil; d. stones; e. contour of pits; f. sterile layer).
- Fig. 14. Early Iron Age grave: 1 - plan and profile (Legend: a. gray soil; b - clay soil; c. wood charcoal; d. contour of pits; e. sterile layer); 2 - general view over the burial pit; 3 - view of the catacomb.
- Fig. 15. 1-2 - Funerary inventory deposited in the catacomb; 3-6 - artifacts discovered in the burial pit.
- Fig. 16. Pottery sherds discovered in the funerary structure: 1-9 - catacomb; 10-18 - burial pit.
- Fig. 17. Early Iron Age artifacts (1-5 - iron; 6, 8, 9 - bone; 7 - horn; 10-17 - burnt clay).
- Fig. 18. Early Iron Age stone artifacts.
- Fig. 19. Structure 1/2017-2018. Plan and stratigraphic profiles (Legend: a. clay soil mixed with ash and burnt clay; b. debris/smear clay from the structure; c. stones; d. contour of pits; e. sterile layer; f. excavation boundary).
- Fig. 20. Structure 1/2017-2018: 1 - ruins of the structure; 2, 3 - pit house; 4 - post-hole (VI); 5 - wood charcoal from a post-hole (VI)
- Fig. 21. Artifacts found in the structure 1/2017-2018 (1 - iron; 2- bronze; 3 - glass; 4 - bone; 5 - burnt clay; 6, 7 - river stone).
- Fig. 22. Pottery sherds discovered in the structure 1/2017-2018.
- Fig. 23. Pottery sherds discovered in the structure 1/2017-2018.
- Fig. 24. Structure 2/2017: 1 - plan and profile (Legend: a. gray soil; b. clay soil mixed with ash and burnt clay; c. burnt soil; d. daub fragments; e. stones; f. contour of structure; g. sterile layer; h. excavation boundary); 2-3 - remains of the structure.
- Fig. 25. Inventory of structure 2/2017.
- Fig. 26. Inventory of structure 2/2017.
- Fig. 27. Structure 3/2017-2019: 1 - plan and profile; 2-8 - structure ruins.
- Fig. 28. Structure 3/2017-2019: 1 - human femur in situ; 2, 4, 7 - pottery in situ among the ruins of the structure; 3 - agglomeration of animal bones, pottery sherds and stones at the level of the floor; 5, 6 - post-hole (III); 8 - external features; 9 - urn, detail.
- Fig. 29. Structure 3/2017-2019. Artifacts (1-8, 11, 12 - bronze; 9, 10, 13, 14 - iron; 15, 16 - bone; 17 - shell).
- Fig. 30. Structure 3/2017-2019. Artifacts (1 - limestone; 2-8 - river stone).
- Fig. 31. Structure 3/2017-2019: 1-9 - grindstone; 10 - grinding stone.
- Fig. 32. Structure 3/2017-2019. Spindles.
- Fig. 33. Structure 3/2017-2019. Pottery sherds.
- Fig. 34. Structure 3/2017-2019. Fragments of bowls.
- Fig. 35. Structure 3/2017-2019: 1-8 - fragments of pots; 9, 10 - daub fragments with imprints.
- Fig. 36. Structure 3/2017-2019. Fragments of pots.

- Fig. 37. Pits from the Thracian-Getae period: 1, 4-7 - pit 1/2017; 2, 8-15 - pit 2/2017; 3, 16-24 - pit 4/2017 (Legend: a. gray soil; b. burnt soil; c. stones; d. contour of pits; e. excavation boundary; f. sterile layer).
- Fig. 38. Pits from the Thracian-Getae period: 1, 3-7 - pit 7/2017; 2, 8-14 - pit 9/2017 (Legend: a. gray soil; b. brown soil; c. clay soil; d. contour of pits; e. excavation boundary; f. sterile layer).
- Fig. 39. Pit 1/2018 (Legend: a. gray soil; b. stones; c. contour of pit; d. sterile layer).
- Fig. 40. Pits from the Thracian-Getae period: 1, 5-8 - pit 2/2018; 2 - pit 6/2018; 3, 9, 10 - pit 8/2018; 4, 11-19 - pit 10/2018 (Legend: a. gray soil; b. brown soil; c. fragments of hearth; d. stones; e. contour of pits; f. excavation boundary; g. sterile layer).
- Fig. 41. Pit 9/2018 (Legend: a. gray soil; b. contour of pit).
- Fig. 42. Pit 1/2019 (Legend: a. gray soil; b. clay soil; c. stones; d. contour of pit).
- Fig. 43. Pit 4/2019 (Legend: a. gray soil; b. wood charcoal; c. contour of pit; d. excavation boundary; e. sterile layer).
- Fig. 44. Metal artifacts from the Thracian-Getae layer (1-12, 15-17 - iron; 13, 14 - bronze).
- Fig. 45. Bone (1-4) and horn (5) artifacts from the Thracian-Getae layer.
- Fig. 46. Stone artifacts from the Thracian-Getae layer (1 - sand stone; 2-17 - river stone).
- Fig. 47. Spindles from the Thracian-Getae layer.
- Fig. 48. Clay artifacts from the Thracian-Getae layer.
- Fig. 49. Greek centers of production: 1 - Lesbos; 2 - Peparethos; 3 - Chios; 4 - Thasos; 5 - Mediterranean center; 6 - Mende (?); 7 - Heraclea Pontica; 8 - Thasos circle; 9 - Knidos; 14, 15 - Sinope; 10-13 - unknown centers.

### Археологические исследования на памятнике Сахарна Маре / «Дялул Мэнэстирий», Резинский район (2017-2019)

*Ключевые слова:* Среднее Поднестровье, железный век, культура Холеркань-Ханска, культура Козия-Сахарна, фрако-геты, сооружения, ямы, захоронение на территории поселения.

*Резюме:* Археологические исследования 2017-2019 годов были сосредоточены в юго-западной части памятника, где в результате геомагнитных разведок была обнаружена положительная аномалия, свидетельствующая о наличии сгоревших строительных сооружений.

Археологические исследования (256 м<sup>2</sup>) в этой части поселения показали наличие трех культурных слоев: Холеркань-Ханска, Козия-Сахарна и фрако-гетского.

Так, к горизонту Холеркань-Ханска относится яма (7/2018), в заполнении которой находилась керамика, характерная для этой культуры.

К слою Козия-Сахарна относится постройка (4/2017-2019), 12 ям, захоронение, а также разнообразный археологический инвентарь, представленный орудиями труда, оружием и керамикой с резным и штампованным орнаментом.

Фрако-гетский культурный слой включает: три постройки, 13 ям и богатый археологический инвентарь. Среди находок – орудия труда, изготовленные из разного сырья – железа, бронзы, кости и рога, камня и обожженной глины. Также в этом слое обнаружены предметы оружия, в частности бронзовые наконечники стрел, а также украшения, представленные фибулами, браслетами, кольцами и т. д. Кроме того, в фрако-гетском слое было найдено значительное количество местной керамики, а также греческой импортной.

#### *Список иллюстраций:*

Рис. 1. Расположение памятника Сахарна Маре / «Дялул Мэнэстирий» (фото М. Чумаш).

Рис. 2. Топографический план и магнитометрическая карта памятника Сахарна Маре / «Дялул Мэнэстирий» с обозначением раскопов 2017-2019 гг.

Рис. 3. Часть магнитометрической карты с обозначением исследуемой аномалии.

Рис. 4. Планы участка, исследованного в 2017-2019 гг. (Легенда: а. сгоревшая почва; б. глинистая почва, смешанная с золой и фрагментами обожженной глины; с. обломки/обмазка сооружения; д. камни; е. контур сооружения).

Рис. 5. Яма 7/2018 (Легенда: а. серая почва; б. контур ямы; с. стерильный слой).

Рис. 6. Сооружение 4/2017-2018; 1 - план и разрез; 2-6 - остатки сооружения (Легенда: а. серая почва; б. устройство для разведения огня/очаг; с. камни; д. фрагменты обгоревшего дерева/бревен; е. зола; ф. контур ям; г. стерильный слой; h. граница раскопа).

Рис. 7. Сооружение 4/2017-2018: 1-26 - керамические фрагменты; 27-29 - фрагменты обожженной глины со следами прутьев.

Рис. 8. Сооружение 4/2017-2018. Фрагменты мисок.

Рис. 9. Сооружение 4/2017-2018. Фрагменты горшков.

- Рис. 10. Ямы периода раннего железа: 1, 7-14 - яма 3/2017; 2 - яма 5/2017; 3 - яма 6/2017; 4, 15-18 - яма 8/2017; 5, 19-21 - яма 10/2017; 6, 22-24 - яма 11/2017 (Легенда: а. серая почва; б. сгоревшая почва; с. глинистая почва; d. контур ям; е. стерильный слой).
- Рис. 11. Яма 3/2018 (Легенда: а. каштановая почва; б. контур ямы; с. стерильный слой).
- Рис. 12. Ямы периода раннего железа: 1, 4-16 - яма 4/2018; 2, 17-21 - яма 5/2018; 3, 22-27 - яма 11/2018 (Легенда: а. серая почва; б. каштановая почва; с. глинистая почва; d. фрагменты обожженной глины; е. фрагменты обгоревшего дерева; f. зола; g. камни; h. контур ям; i. граница раскопа; j. стерильный слой).
- Рис. 13. Ямы периода раннего железа: 1, 3-12 - яма 12/2018; 2, 13-22 - яма 2/2019 (Легенда: а. серая почва; б. каштановая почва; с. глинистая почва; d. камни; е. контур ям; f. стерильный слой).
- Рис. 14. Погребение периода раннего железа: 1 - план и разрез (Легенда: а. серая почва; б. глинистая почва; с. фрагменты обгоревшего дерева; d. контур ям; е. стерильный слой); 2 - общий вид погребения; 3 - вид катакомбы.
- Рис. 15. 1-2 - Погребальный инвентарь из катакомбы; 3-6 - предметы, обнаруженные в могильной яме.
- Рис. 16. Фрагменты керамики, обнаруженные в погребальном сооружении: 1-9 - катакомба погребения; 10-18 - могильная яма.
- Рис. 17. Предметы раннего железного века (1-5 - железо; 6, 8, 9 - кость; 7 - рог; 10-17 - обожженная глина).
- Рис. 18. Предметы из камня, относящиеся к раннему железному веку.
- Рис. 19. Сооружение 1/2017-2018. План и профили слоев (Легенда: а. глинистая почва, смешанная с золой и фрагментами обожженной глины; б. обломки/обмазка сооружения; с. камни; d. контур ям; е. стерильный слой; f. граница раскопа).
- Рис. 20. Сооружение 1/2017-2018: 1 - развалины сооружения; 2, 3 - яма землянки; 4 - яма от бревна (VI); 5 - фрагменты дерева из ямы от бревна (VI).
- Рис. 21. Предметы из сооружения 1/2017-2018 (1 - железо; 2- бронза; 3 - стекло; 4 - кость; 5 - обожженная глина; 6, 7 - речной камень).
- Рис. 22. Керамические фрагменты, обнаруженные в сооружении 1/2017-2018.
- Рис. 23. Керамические фрагменты, обнаруженные в сооружении 1/2017-2018.
- Рис. 24. Сооружение 2/2017: 1 - план и разрез (Легенда: а. серая почва; б. глинистая почва, смешанная с золой и фрагментами обожженной глины; с. сгоревшая почва; d. обмазка; е. камни; f. контур сооружения; g. стерильный слой; h. граница раскопа); 2-3 - остатки сооружения.
- Рис. 25. Инвентарь сооружения 2/2017.
- Рис. 26. Инвентарь сооружения 2/2017.
- Рис. 27. Сооружение 3/2017-2019: 1 - план и разрез; 2-6 - остатки сооружения.
- Рис. 28. Остатки сооружения 3/2017-2019: 1 - бедренная кость человека *in situ*; 2, 4, 7 - сосуды, обнаруженные *in situ* среди остатков сооружения; 3 - скопление костей животных, керамики и камней на уровне пола сооружения; 5, 6 - яма от бревна (III); 8 - внешние элементы сооружения; 9 - сосуд-урна, деталь.
- Рис. 29. Сооружение 3/2017-2019. Предметы инвентаря (1-8, 11, 12 - бронза; 9, 10, 13, 14 - железо; 15, 16 - кость; 17 - ракушка).
- Рис. 30. Сооружение 3/2017-2019. Предметы инвентаря (1 - известняк; 2-8 - речной камень).
- Рис. 31. Сооружение 3/2017-2019: 1-9 - точило; 10 - зернотерка.
- Рис. 32. Сооружение 3/2017-2019. Пряслица.
- Рис. 33. Сооружение 3/2017-2019: 1- фрагменты керамических сосудов; 9, 10 - фрагменты обожженной глины со следами прутьев.
- Рис. 34. Сооружение 3/2017-2019. Фрагменты мисок.
- Рис. 35. Сооружение 3/2017-2019. Фрагменты горшков.
- Рис. 36. Сооружение 3/2017-2019. Фрагменты горшков.
- Рис. 37. Ямы гето-фракийского периода: 1, 4-7 - яма 1/2017; 2, 8-15 - яма 2/2017; 3, 16-24 - яма 4/2017 (Легенда: а. серая почва; б. сгоревшая почва; с. камни; d. контур ям; е. граница раскопа; f. стерильный слой).
- Рис. 38. Ямы гето-фракийского периода: 1, 3-7 - яма 7/2017; 2, 8-14 - яма 9/2017 (Легенда: а. серая почва; б. каштановая почва; с. глинистая почва; d. контур ям; е. граница раскопа; f. стерильный слой).
- Рис. 39. Яма 1/2018 (Легенда: а. серая почва; б. камни; с. контур ямы; d. стерильный слой).
- Рис. 40. Ямы гето-фракийского периода: 1, 5-8 - яма 2/2018; 2 - яма 6/2018; 3, 9, 10 - яма 8/2018; 4, 11-19 - яма 10/2018 (Легенда: а. серая почва; б. каштановая почва; с. фрагменты очага; d. камни; е. контур ям; f. граница раскопа; g. стерильный слой).
- Рис. 41. Яма 9/2018 (Легенда: а. серая почва; б. контур ямы).

Рис. 42. Яма 1/2019 (Легенда: а. серая почва; b. глинистая почва; с. камни; d. контур ямы).

Рис. 43. Яма 4/2019 (Легенда: а. серая почва; b. фрагменты обожженного дерева; с. контур ямы; d граница раскопа; e. стерильный слой).

Рис. 44. Металлические предметы из фрако-гетского слоя (1-12, 15-17 - железо; 13, 14 - бронза).

Рис. 45. Предметы из кости (1-4) и рога (5) из фрако-гетского слоя.

Рис. 46. Каменные предметы из фрако-гетского слоя (1 - песчаник; 2-17 - речной камень).

Рис. 47. Пряслица из фрако-гетского слоя.

Рис. 48. Глиняные предметы из фрако-гетского слоя.

Рис. 49. Греческие производственные центры: 1 - Лесбос; 2 - Пепарет; 3 - Хиос; 4 - Фасос; 5 - средиземноморский центр; 6 - Менда (?); 7 - Гераклея Понтийская; 8 - круг Фасоса; 9 - Книд; 14, 15 - Синопа; 10-13 - неизвестные центры.

11.11.2019

*Dr. hab. Ion Niculiță*, Universitatea de Stat din Moldova, str. A. Mateevici, 60, MD-2009 Chișinău, Republica Moldova

*Dr. Aurel Zanoci*, Universitatea de Stat din Moldova, str. A. Mateevici, 60, MD-2009 Chișinău, Republica Moldova, <https://orcid.org/0000-0002-3236-7582>, e-mail: [azanoci@gmail.com](mailto:azanoci@gmail.com)

*Mihail Băț*, Universitatea de Stat din Moldova, str. A. Mateevici, 60, MD-2009 Chișinău, Republica Moldova, <https://orcid.org/0000-0001-6642-2888>, e-mail: [mb\\_usm@yahoo.com](mailto:mb_usm@yahoo.com)

*Victor Dulgher*, Universitatea de Stat din Moldova, str. A. Mateevici, 60, MD-2009 Chișinău, Republica Moldova, <https://orcid.org/0000-0002-9024-4599>, e-mail: [dulghervictor@gmail.com](mailto:dulghervictor@gmail.com)